

Title	金属錯体および関連系の光電子移動と電荷分離 : ナ ノ・ピコ秒レーザーホトリシスによる研究		
Author(s)	塩山, 洋		
Citation	大阪大学, 1985, 博士論文		
Version Type	VoR		
URL	https://hdl.handle.net/11094/1119		
rights			
Note			

The University of Osaka Institutional Knowledge Archive : OUKA

https://ir.library.osaka-u.ac.jp/

The University of Osaka

金属錯体および関連系の光電子移動と電荷分離

ナノ・ピコ秒レーザー ホトリシスによる研究

1985年2月

塩 山 洋

第	1	章.	序	清	page 1
崭	2	幸			4
				試薬	
				分子集合体及が溶媒	
		2-3		測定装置	
崩	3	章	加加	起CT錯体の超高速失活過程	15
		3 - 1		はしめに	
		£ - E		強いCT錯体の光付ン解離収率	
		3 - 3		ヒ・コオケレーザーホトリシス	
		3-4		付い解離と基底状態への失活過程	
鴇	4	章	励力	已金属錯体-消光剤系のうジルは成り率	27
				はじめに	
		4-2		電子移動消光及応	
		4-3		うジカル解離の絶対似率の測定	
		4-4		各消光剤添加系のラジカル解離収率の決定	
		4-5		各種を属錯体系のラジカル解惑的大率の決定	
		4-6		ラジカル解離収率	
		4-7		Os(bpy)ず、消光剤系のじつおかれりには結果	
衛	5	章	励力	己芳香族炭化水素の金属付シによる消光の撲構	54
		5-1		はしめに	
		5-2		けい光消光の速度定数	
:		5-3		窒素レーザーホトリシス結果	
		5-4		ヒーコオケレーザーホトリシス結果	
		5-5	-	無けい光性錯体形成による消光の機構	

第6章	正	リガデンクラスターの励起状能	69
	6-1	1 b 1 b1 c	
	6-2	Modelia の最低励起状態	
	6-3	電子物動消光	
當7章	Eı	u(fod)3 発光の消光機構	77
	7-1	131-81=	
	7-2	励起 Eu(fod)g と消光剤との相互作用	
	7-3	エキサイプレックスを経る失活過程	
第8章		(bpy)3*-カイオン性消光剂系の 4集合体中にかける電子物動消光	86
	8.1	はしめに	
		PVSK添加水溶液中にかけるRullpyが発光のMV2tによるギ	判、
		その他の系になける Rulbpy3+発光の消光	, –
		分子集合体中での Rulbpy3 発光の減衰曲線	
		包美しザーホリシス	
		PVSK添加系に於ける Rulbpy) of 発光の塩効果	
すとか)		99
纷芳文	cifit'		101
参考言	施工		105
謝 -	辞		106

第 1 章 序論

光により励起された分子が他の分子と相互作用をしてたどる緩和過程を調べると、化学反応の機構を解明する上での有益な情報を得る事ができる。その際の測定法の「つである Norrish と Porter によって開発されたフラッシュホトリシス法は、励起光線がフラッシュランでからナノ粉レーがー、ピコ粉レーザーへと進歩するに従い、重要性が増しつつある。例えばこのレーザーホリス法により、有機芳香酸化合物の励起状態が、他の化合物とエネルギー動動や電子動動反応 あるいは エキサイプレックス形成といった種々特異な緩和過程をたどっている事を時間分割吸収及び 発光スペケルを測定して、より直接的に追跡することが可能である。

一方,太陽エネルギーの化学的変換法として,太陽電池による方法の他に,太陽光によるて励起された配合物を用いて電荷分離をかき起こし,最終的には水を水素と酸素に分解する方法がある。後若の方法に関して,用いる化合物は劣化に対する安定性等の理由から,金属錯体が有利であると考えられている。

しかしこの場合,励起分子や電子伝達系の種類を換え疑例太陽光を照射した場合に発生する水素の量に関いてはよく研究されているが、光を吸収して生いた金属錯体の励起状態についての物理化学的な定量的研究は非常に少ない。 きたこれらの金属錯体に関する基礎研究は、金属を含まない有機化合物の励起状態の挙動との類似点や相違点を検討するという点に

旅でも大変興味深いと思われる。

以上の事も踏すえ、 著者は レザーホトリシスの手法を用い、種々の金属錯体の励起状態の 溶液中での緩和過程 — 特に電子機動及応とうジカル解離過程 — も研究し、有機芳香族化合物の場合と比較した。

第2章では使用した試薬の合成法や製精去並びに測定に用いた装置について述べる。

第3章では 金属錯体と比較する意味で芳香族化合物の励起一重項状態 — 特に可視領域に吸収帯を持つ強い CT錯体系を中心として — からの緩和過程について 述べる。

すた第4年では、太陽エネルギー変換のphotosensitizerとしてよく用いられている Ru(bpy)が、あるいは異なった中心を属や配位子を持つ金属錯体の励起状態と 消光剂分子が相互作用して電荷分離が起こる過程について 茶蜜する。

更に第5章では、消光剤としての金属イオンの性質を調べた。即ち、励起芳香族炭化水素を閉殻重金属イヤで消光し、消光機構が無けい光性儲体の形成とそれにひき続く早い三重項の性成過程である事を見い出した。

第6章では、より複雑な構造も有するモリアデンクラスターの励起状態の性質について述べる。 すた 第7章では 希土類 金属である ユーロピらんの錯体が 電子供与性消光剤と 一種のエキサイプレックス を形成する事に関して報告する。 エキサイプレックス ぞ光の観測は 金属錯体の光化学を応初期過程に関する限り、大変 まれな例であると考えられる。

また Ru(bpy)がはカイオンであり、良い発光でローでとして使える事から、SLSミセルや DHP べらかル等(SLS、DHP 等の略称は第2章参照)のアニオン性分子集合体と 水溶液との 界面に ついての知見を得る事ができた。この事に関しては最後の第6章で考察する。

本論文の構成はおおよそ別上の様は内容である。細かい相違は認められるものの、金属も有する化合物の光化学及応初期過程は有機芳香族化合物系のそれと類似の茶え方で解釈が可能である事がわれた。

第 2 章 案 賬

実験に用いた試薬、溶媒の合成法並がに精製法について述べる。 すた必要と思めれる化合物については構造する添えてなく。

2-1 試藥

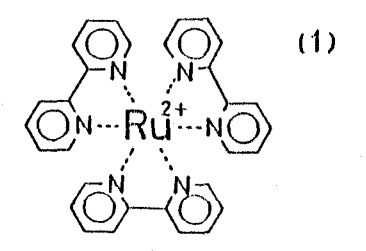
(1) Ru (bpy)3+

文献(1)の方法に従い塩化ルテニらム(II)三水和物(三和化学)と2.2-ビレリジン(東京ル成G.R.)を水:141-ル(1:19)中で72時間還流して合成し、水からの再結晶を4回くり返して精製した。

(2) Ru (phen)3+

上記の Ru(bpy)3 と同様の方法で 2.2'-ビビリジンの代かりに 1.10-フェナントロリン (東京水成 G.R.)を用いて 合成・精製した。

北、スの他のルテニウム儲存は東京工業大学田附研究室でた成及が精観されたよのもいただいた。(表4.3参照)







(3) Os (bpy)3+

濃塩酸にヒドラジン塩酸塩(半井 G.R.) とOsOg(メルケ)をとかして、乾燥するまで加温し、これに 2,2-ビビリジルをませて栽皆し 2170° C で 1時間 加温して合成した。2) 再結晶は 水より あこなった。 吸収・突光は文献と一致した。3)

(4) Os (phen) 3+

OsO₄ と HBr も 2 時間 選流 は後 NH₄Br (料 G.R.) を加え 冷却(て無水エケ)-ルを加えると 黒色沈殿 (NH₄)₂[O₅Br₆] が得られる。これを かり セロール中で 加温 (てとかし、1,10・フェナルロリン を加えて 250~270° C で約 20 分間処理にた後 100° C まで冷却(て 湯を加え HCl, KI を加えると 黒色沈殿 O₅(phen)₃I₂ が 得られる。⁴⁾ 精製は セファデックス LH 20 を用いて ゲル 沪過する事により 行り、た。 吸し、 変光は 文献と一致。

(5) Cr (bpy)3+

大阪大学理学部野松研古江博士からいただいた。5),6)

(6) Ir (5,6. Mezphen), Cl2+

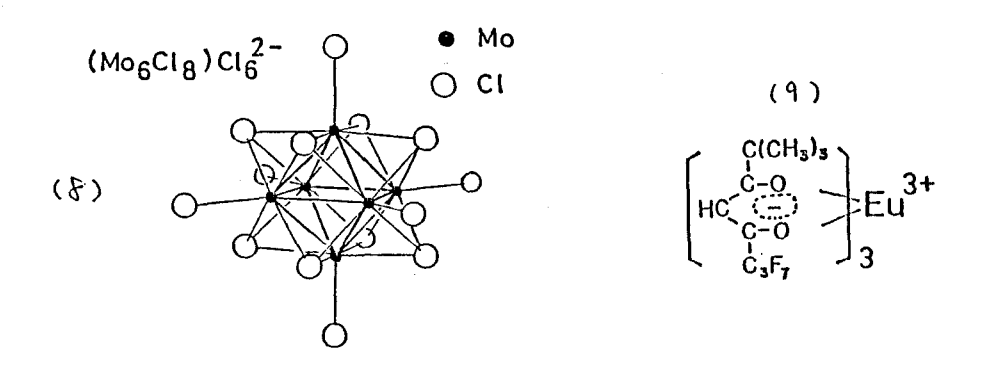
6塩化付きらん(田)ナトリらん(Mashada)(キング化ら)と 56・ジメルルフナントロリン(東京化成 G.R.)とも めのうにゅう ばちも用いて細かく粉砕にてきせ、真空中で封 にた後 220°C で 4時間処理にて合成した。 セファデックス LH20によるかいが過法で精製し た。 吸収・発光スペケルは主献と一致、たらり、1)

(7) Ir (4,4'-Mezbpy), dit

K3 IrCl6 (三和化管) ヒ 4,4'・シ*4ルビビュリジン (Fluka p.a.) とも めのう にゅうけちを 用いて 粉砕して 320° c で 4時間

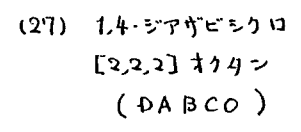
処理(て合成にた。?) またセファデックス LH20で かしが過する事により精製した。 吸収及び 発光は文献値と一致した。?)

- (8) モリブデンクラスター (H3O)。 [(M06 Cls) Cl6]·6 H2O 大阪大学基礎工学部 斎藤 研究室で 合成 並びに 精製されたものを いたたでいた。10)
- (9) Eu(fod)3 1.1.1.2.2.3.3- へかりついオロ・ファ・ジャイル・4.6-オリケンジオナトユーロビらん。 メルク社のものもそのする使用。すた五酸化リンも乾燥剤として 減圧中で保存。
- (10) Ag Cl O4 三津和化学 G.R. を真空うんで 減圧転慢にた 後使用によ。
- (11) Pb(QO4)₂ 半井化学 G.R. を真空ラインで 滅圧 軟燥 た後使用した。
- (12) TI NO3 三津和化学 G.R. も 真空ラんで 滅圧 軟燥 は後使用にた。
- (13) CuCl₂·2H₂O 半井化学 G.R. も そのする使用。



- (14) ピレン 和光純薬 Q.R. をエリールで 再結晶の後, 真宝 昇華により 精製して使用した。
- (15) 1・ピレスルホン酸 文献に示す方法(11),12) により ピレンを スルホン 化して合成した。
- (16) N・エイルカルバゾール 又賀研究室で精製され、保存されていたものを使用した。
- (19) ピロハト酸=無水物 和光純藥 G.R. をエチルアセテート から 再結晶 (PM DA) は後, 真空昇華 する事により 精製した。
- (作) NN-ジメイル-44- メイルビオローゲン(MV2+)と略称 ビビリジニウムジクロライド 東京化成のR. もエケノールで再結晶して使用した。
- (19) つかいしじなーケン 大阪大学理学部野神研究室 古江博士にいた スルホネート (PVS°) だいた。
- (20) ベングキノン
 又質研究室で精製され、存存されていたすのを使用した。

- (21) N,N,N,N'- 引う14ル-p- 塩酸塩 (東京化成 G.R.) も水にとかし、アンモニアフェニンジアミン で free amine も沈剧させ、それも真空昇華 (TMPD) して精製した。
- (29) N.N.N.ハイテトラメイルベンジン 半井心は G.R. も エケノールで 再結晶後 真宝昇 (TMB) 華いて精製した。
- (23) N.N·ジスニルーP・ 東京ル成 G.R もエタリールで 再結晶(た後に使 フェニレンジアシン 用(た。 (DPPD)
- (24) 3.3-51/411人でプラン 和光純菜 G.R. も エタトルで 再結晶の後, 真 (DMB) 空昇華して 精製した。
- (25) N.N.N.ハーテトラノ4ル 大政大学工学部野上隆博士よりいただいた。
- (26) フェノイアシン 半井化管 E.P. も その計使用。



東京化成一級試薬を アセトン: M·ハキサン (1:4) で再結晶の後, アセトン: M・ハキサン (1:9) で 2回 再結晶にて精製した。

又質研究室で精製され、保存されているものを用いた。

(29) B-ナフ4ルアミン

半井化学 G.R. もりかいんで 2度再結晶の後,真空昇草(たものも用いた。

(30) N,N.5744L7=177 (DMA)

半井化学 G.R. を無水 酢酸で 前処理後、KOHで 脱水し、減圧蒸留の後 真空基留 て 精製 た。

- (31) いエイレアミン
- (32) ジフェニルアミン
- (33) りりなっしアミン

(34) P-シリトキシベンゼン

~いずれも 又質研究室で 精製され、保存されているものを使用した。

(38)

129

(30)

$$N \bigcirc N$$

MeO-O-NH2

(O) NH

⊙-N^{Me}

(32)

(33)

(34)

 $(c_2H_5 + \frac{1}{3}N$

MeO-{O}-OMe

2-2 分子集合体 及び 溶媒

- (36) かりビニル硫酸から 牛井化学 G.R. を そのする使用。 (PVSK)
- (37) たりビニルアルコール 半井化学一級試薬をそのする使用。 (PVA)
- (38) ポリメタケリル酸ナトリカム Polysciences, Inc. のものをそのきま使用。
 (PMAS)
- (39) ジハキサデシルりン酸 文献 (3) に示す方法で合成した DHPも IA1-ル サリラム 中で NaOH と 反応エセス NaDHPも得た。 (NaDHP) ベシケルを形成させる為に、水溶媒に NaDHPも 添加し、60°C で 30分間 Branson Model 185 sonifierset で 超音液処理した。

(35) (36) (37)
$$CH_{3}(CH_{2})_{11}SO_{4}^{-}Na^{+} + \begin{pmatrix} C - C \\ H & SO_{4}^{-} \end{pmatrix}_{K^{+}} + \begin{pmatrix} H & H \\ C - C \\ H & OH \end{pmatrix}_{n}$$

- (40) アセトニトリル 和光純薬スペ外に用試薬をその対使用した。
- (42) 水 付っ交換水を単立留の後、更に非為点法に対 茎田して精製したものを使用した。
- (43) ベンゼン 和光純薬スペパル用試薬もその対使用。
- 44) エチルアセラート メルク社スペリル用試薬もそのする使用ける
- (45) 計ラビドロフラン 和光純菜スペリル用試薬をそのすき使用。
- (46) アセトン 和光純菜スペリル用試薬もそのする使用。

試料溶液は凍結融解法による脱気あかけ20分以上の窒素置換を行るった。

北測定試料は測定当日に調整を行れた。

2-3 測定装置

(1) 吸収スペケトルの測定 日本分光 UVIDEC・1型 分光光度計 並びに 馬津 自記分光光度計 UV・260 を用いて 測定、た。

- (2) 発光スペクトルの測定 Aminco Bowman Spectrophotometer 並かに 850型 日立分光 けい光光度計を用いて測定した
- (3) ピコ科時間領域の過渡吸収スペルルの測定 モードロック Nd³+: YAG レーザー (FWHM~25p科)の第2高調液 (532mm) 及び第3高調液(355mm)を励起光源として用いた。 プロー丁光には 重水に基本波を集光して得5小3 ピコ科 自色光を用い, MCPD・マイクロコンピューター測定システムにより データ処理した。 このホトリシス装置のプロックダイヤグラムを Fig. 2·1 に示す。

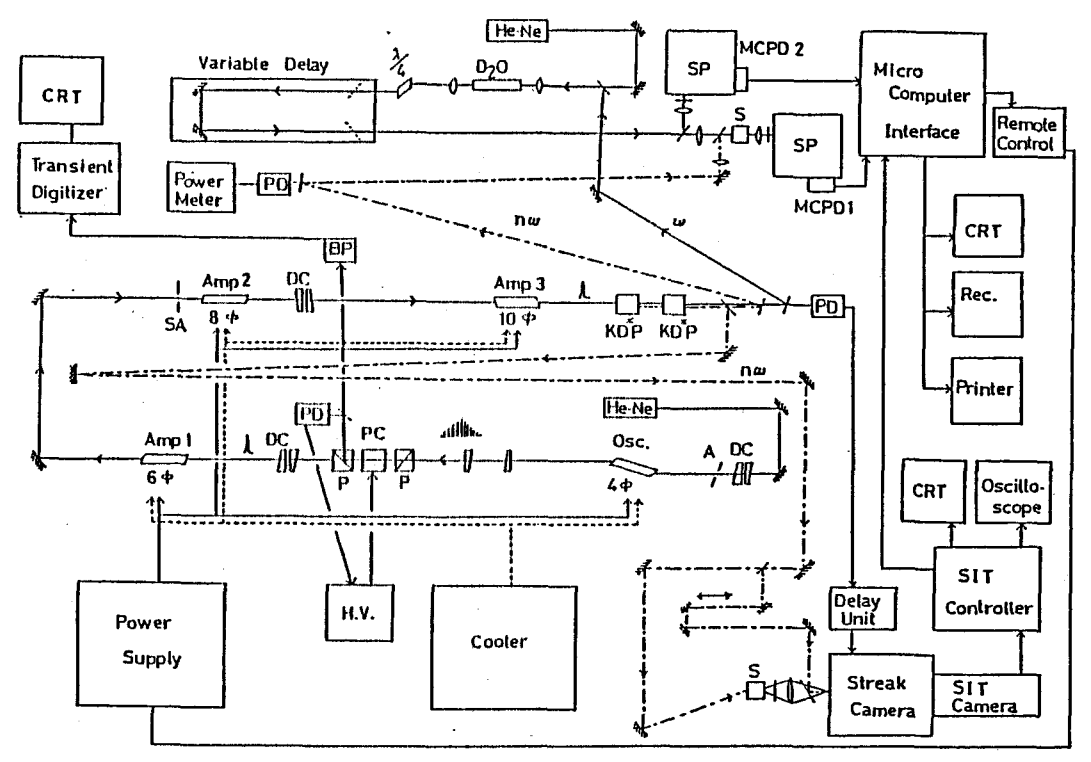
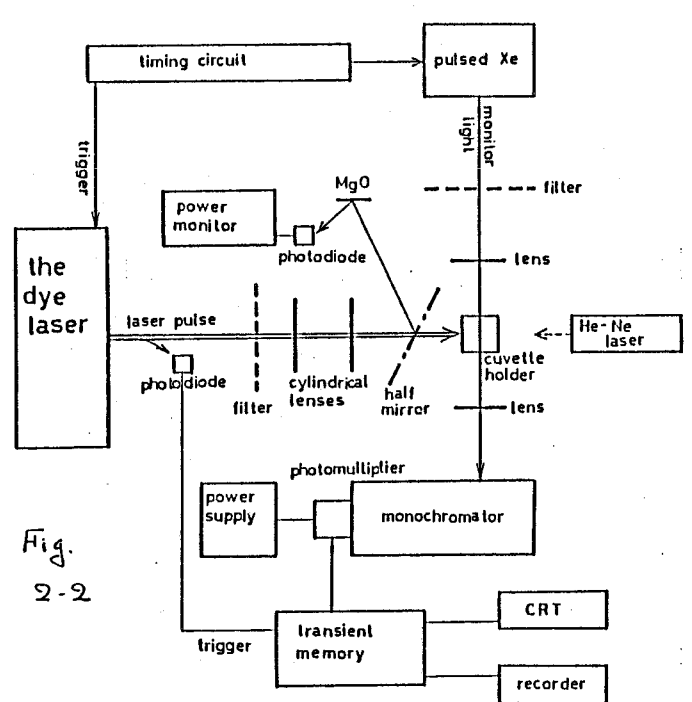


Fig. 2-1 Schematic diagram of the microcomputer-controlled picosecond laser photolysis system. DC, dye cell; A, aperture; P, polarizer; PC, Pockels cell; PD, photodiode; SA, soft aperture; BP, biplanar photodiode; SP, spectrograph; S, sample; Rec., recoder.

- (4) ナノ利時間領域の過渡吸収スペかしの測定. 大阪大学 税養部の Qスから Nd3+: YAG レーザー (FWHM 10 m利)を励起光源としたホトリシス装置を お借りして 測定、た。 モニター光は パルス動作 Xe ランプで、データ 処理は マイクロコンピューターを 用いて行り、た。
- (5) マイクロ 村 時間領域の過渡吸収スペルルの測定。同軸型フラッシュラーで 励起 色素レーザーを用いた ホルシス装置のブロックが付からんを Fig 2·2 に示す。発掘させた色素は Phase-R 社製の Green 4 (503 mm, 35 mJ)と Violet 2 (423 mm, 5 mJ)で それぞれのレーザール・ルスの FWHM は ~ 300 m 村 であれる。 パルス 動作させた Xeランでを モニター 光に 用い, それを 浜松ホトニクス製 光 園子 増倍管 R406 並びに 川崎エレクトロニカ (株) 社製M·50E型トランジェント メモリー の 測定系を用いて観測した。



必要な励起光の波電が紫外領域である場合は、TEA型 ML-ザーホリシュシテム(5)を 用いた。

またエキシューレザー(XeF, 35/mm) も励起光源とするホリシス装 置す, 強い10の一の 励起光 が必要な場合に使用した。

(6) 毫光寿命の測定

励起光源は必要に応いて上記のモードロックル31:YAGレーザー、フラッシュランプ励起色素レザーの他、ピコ科ルビーレザーの第2高調波(347nm)を用いた。

観測は 通常の場合 光電子増倍性 1 p 2 を 、 すた数+ + 1 秒の時間 オーダーの観測については マルイチャンネルプレート (MCP)型光電子増倍管 (浜松木)=カス R-1194UX)を用い ストレージ オシロスコープ に 発光減衰を記録し写真に 撮、て 解析(た。 また マイクロ 利 オーダーの 減衰に関いては、光電子増倍管 R-406 - トランジェントメモリー の測定系を用いた。

第3章 励起CT錯体的超高速失活過程

3-1 はじめに

2種類の化合物を混合すると、これらの分子の間に相互作用が働き分子化合物が形成されるという現象は19世紀から知られていた。 その後 Mulliken が量子力学的手法を用いて、この相互作用の原因は電子供与体と電子資客体との間の電荷機動である事を解明した。16) この理論がき、かけとなり、近年外くの電荷機動(CT)錯体に関する研究がなまれている。17) 例えば電子供与体(ドナー)分子の付い化かテンシャルが小さい程 社電子優容体(アクセプター)分子の電子親和力の大きい程、電荷機動吸収スペリルは長波長に存在するというのはよく知られた事実である。

また日夏らは(4) CT 錯体も 柳性溶媒中で光励起した際に、光付っ解離の起こる 収率は (1) 供与体上受容体の化学的性質によって決すり (2) 同い様な 化学的性質を持つ一連の錯体系の場合 使与体の付っ化 かテンシルの減りあるいは 受容体の 雹子親 乱力の増大に伴い 収率 が 小さくなるという事も見い出した。

ピロメリト酸二無米物(PMDA)と付かんポテンショルの充分低い供与体分子との間で形成される CT 錯体は、電荷粉動吸収帯が可視部に存在するので、程色あるいは赤色であり、また上記の議論から付か解離収率も低いと干視される。本章ではこの様な 電荷物動錯体の 光励起状態での挙動について観測し、一般の芳香族化合物の励起一重項状態や三重項状態 ちるいは 本論えの第4年 川隣に述べる 金属錯体

の励起状態がの光付い解離過程と比較する。

尚本幸では付っ解離という語句を使用しているが、これは第4章で用いたうジカル解離と同い意味である。
もた第4章では問題にしている金属錯体が最初から電荷を持っ付ってある事から、電子物動した後に起こる解離をラジカル解離と呼ぶ事にした。

3-2 強い CT 錯体の光付ン解離 収率.

Fig. 3-1に TCNBやPMDAを電子受容体に用いた一連のCT錯体の光付つ解離収率を示す。この図から電子供与体の付っ化がランシャレ(Ip)が減りするに従い解離収率が減りしているのがわかる。 更に今回 PMDAと 付っ

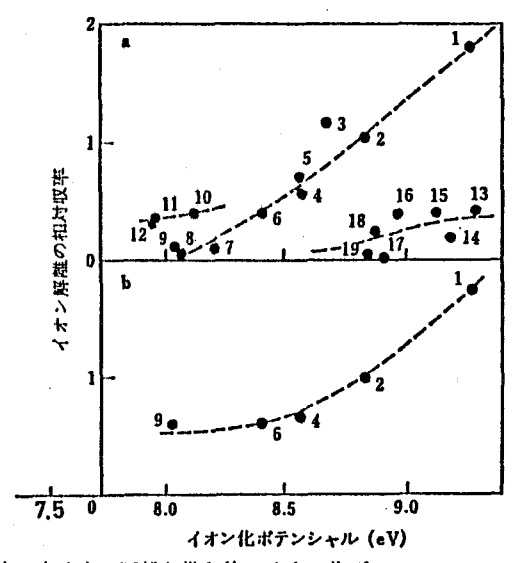


Fig. 3-1 錯体の光イオン解離と供与体のイオン化ポテンシャルとの関係。(a) TCNB 錯体。(b) PMDA 錯体。1: ペンゼン。2: トルエン。3: n-ブチルペンゼン。4: m-キシレン。5: n-キシレン。6: メシチレン。7: アニソール。8: n-メチルアニソール。 9: デュレン。10: ナフタレン。11: n-メチルナフタレン。12: n-メチルナフタレン。13: ビリジン。14: n-パージメチルホルムアミド。15: n-メチルピリジン。16: 3, 5-ジメチルピリジン。17: フラン。18: チオフェン。19: DMSO。 寝様:マキキャル

化ポテンショルのより小さい電子供与体とで形成される,所謂強い電荷物動錯体に関いて光付ン解離を測定した。

測定にた CT錯体の電子供与体 Bが 兄の付かれたサンシャル等のデータを表3-1に、すた、電荷粉動吸収スペクトルを PMDA・ピレン系を例にとり Fig.3-2に示す。

これらの CT 錯体系に関して フラッシュランプ 励起色素レガー ($\lambda_{ex} = 503$ mm, 35 mJ) を励起光源に用いて レーザーホトリシス を行なったが, 液長 665 mm に特徴的な 吸収 ピークのある 過渡 吸収スペリル ($PMDA^-$) は 全く観測されず,光付ン解離収率が 大変低い事が 明らかとなった。

Fig. 3-2 アセトニトリル溶膜中に於ける PMPA・ピレン 糸の面荷粉動吸収 スペルル

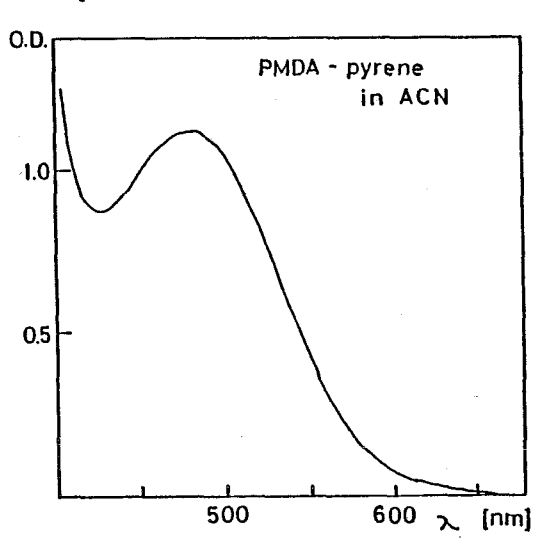


表 3-1

electron acceptor	electron donor	Ip(D) [eV]	入 _{max} [nm]
PMDA	pyrene	7.55	475
	1.2-benzanthracene 7.45	7.45	470
	N - ethylcarbazole	7.4	490 shoulder
	N,N'- dimethylaniline	7.14	510

光付ン解離収率は一般に, 励起状態に於て電荷 分離する及応と無輻射失活する反応のそれぞれの速度を 数の比で決定でかる。つまり光付か解離が観測でき なか、たという事から、付い解離の速度定数に比べ失るの速 度定数が非常に大きい事が予想でする。この速い無輻 射失活の過程を調べる為に強い電荷物動錯体である PMDA·ピレン系を例にとり、モードロック Nd3+: YAG レーザーの第 2高調波を励起光源として じつ利時間領域の過渡吸収 スペかしを観測した。

尚海媒は無極性溶媒 である べっセンから、松性溶性のアト ニトリルまで、誘電率の異なったち種類 の鴉腹を用いた。

Fig. 3-3 には べっぜっも溶 媒といて用いた時得られた週渡吸収 スペグルを示す。 スペグルは励起直 後から減衰して消失するすで同し 特徴的な形状であり、これはピレンか ら PMDAに電子が 粉動 1て得られる 電子物動状態の呼吸である事がらか る。そしてこの過渡吸収は 電荷粉動 錯体が励起される事によってほした 励起 CT状態のものであると思り 43。

また同しくPMDA·ピレン系 に関して溶性にエチレアセラト、ラトラ ヒドロフラン、アセトン、アセトニトリル

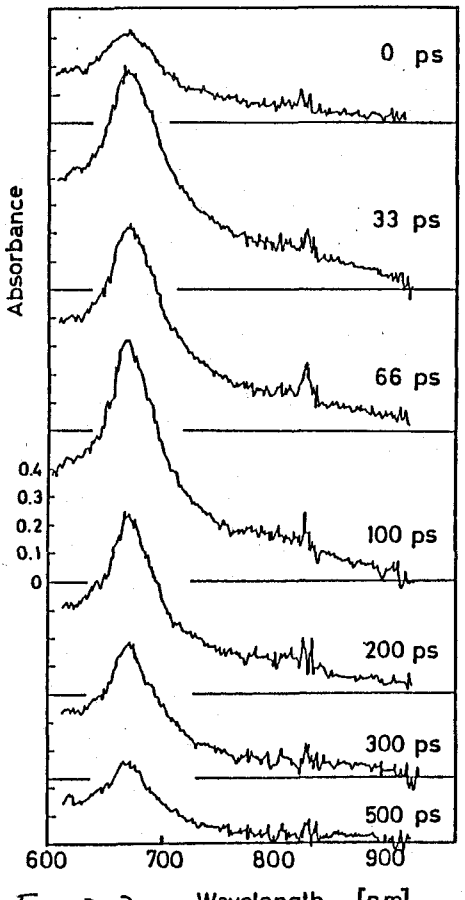
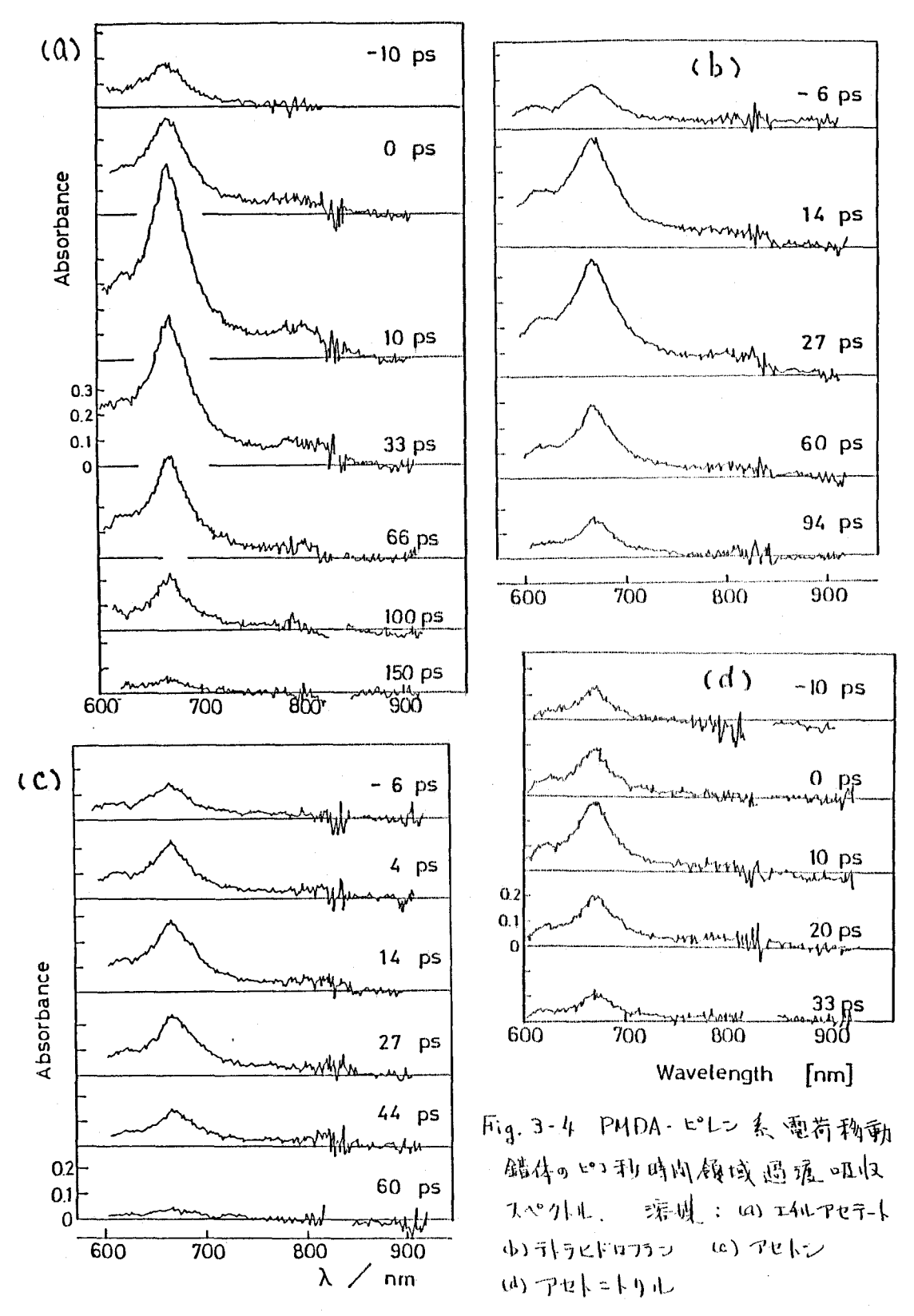
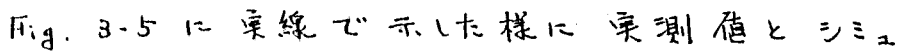


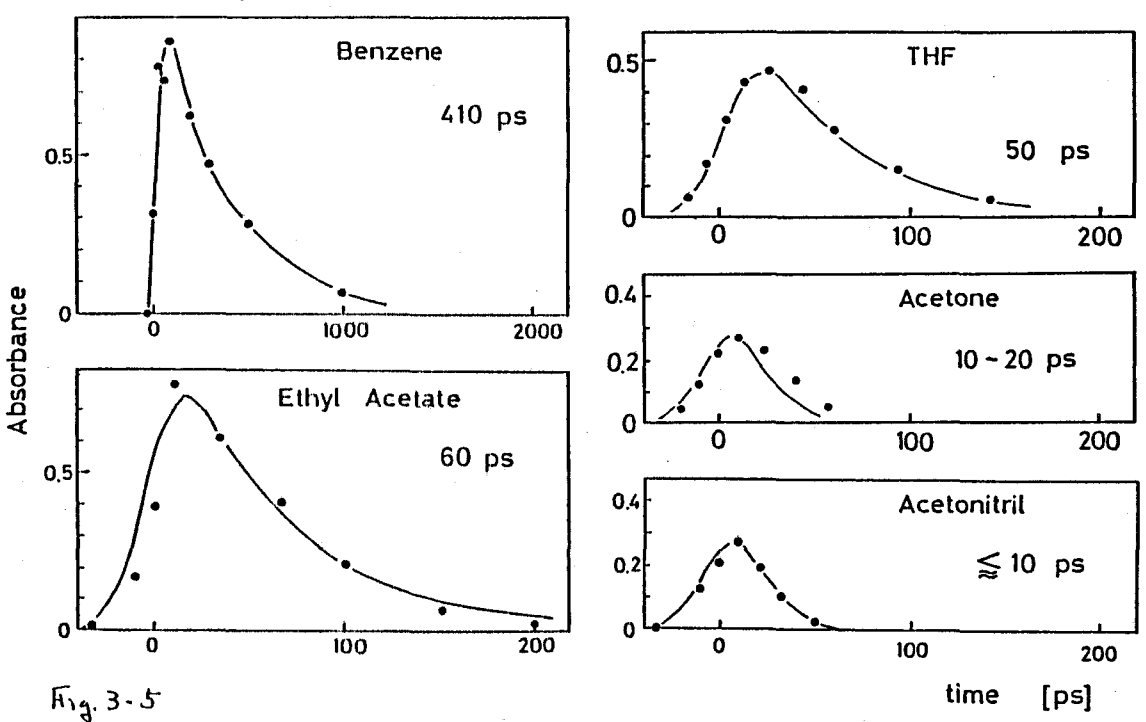
Fig. 3-3 Wavelength [nm]PMAA - tolo / べっぜつ



を用いた場合についても、 べっぜつの場合に得られたのと同様の過渡吸収が得られた。 (Fig. 3-4)

これらら種類の溶媒で得られた、PMDA アニかの過渡吸収スペケルの性成及が減衰を Fig. 3-5 に示した。そして更にこの実測値に最も良い一致が得られる様に、ピコ科 レーザーの励起光のパルス幅(26 ps)及び プローブ光として用いた 白色連続光のパルス幅(24 ps)を苦慮に入れたシミュレーションによるカーブスッティングを行ない、励起 CT状態の寿命をむめた。





各溶媒中に於ける PMDA アニオンの 生成減衰曲線

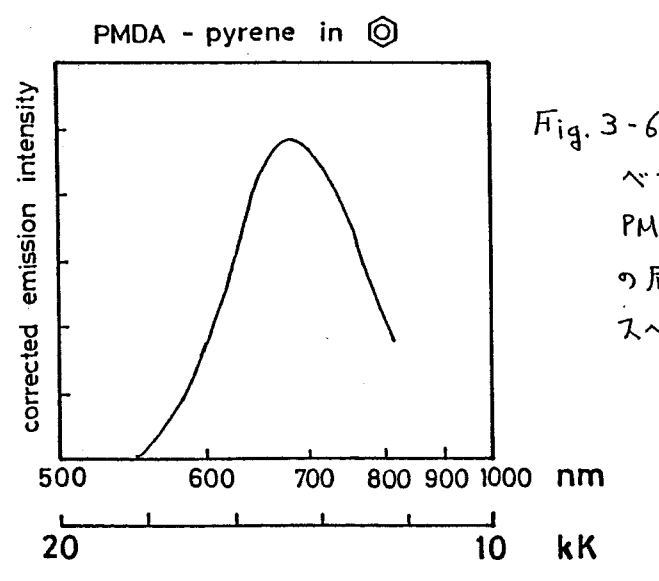
•: Fig 3-3,3.4 で得られた過渡吸光度

--: シミュレション (see Text) により得られた 生成 減衰曲線. (アロトン, アロトニトリルの 団には、中間体寿命を 10 ps とした場合に得られた曲線を示す。 レーションで得られたかかは良い一致を示し、その際に得られた寿命は図中に添えてある。

また それぞれの溶媒中での励起CT状態の寿命と溶媒の誘電率をとを表 3-2 にまとめた。この表からは溶媒の極性が大きくなるに従って寿命が明らかに滅かしているのが読みとれる。

エチルアセテトより極性の高い溶媒では観測できなか、たが、ベンセン溶媒中に於てこのPMDA・ピレンCT館体は Fig.3-6に示す様な 発光を示す。この発光収率は、可視領域の発光収率測定に Juference としてよく用い

表 3-2	solvent	ε	T _{absorption}	T emission
	benzene	2.3	410 ps	400 ps
	ethyl acetate	6.0	60	-
	THF	7.4	50	•••
	acetone	20.7	10 - 20	-
	acetonitril	37.5	≤10	***



べいぜい溶媒中で得られる PMDA-ピレン系電荷粉動錯体 の励起 CT 状能 からの 深光

スペクトル

5れる Ru(bpy)。 からの発光を利用して求めてみると20), 10-4~10-5のオーゲーである事がわか。た。 また他の極性溶媒中では、850型日立分光け、光光度計による 発光の測定が困難であった事から 発光収率は 10-6~10-7 より小さい事が 予想できる。

また ベンゼン溶液中での発光の寿命をストリークカメラを用いて測定すると、400 P秒の単一指数関数に従い失活しているのがわかれた。この寿命は PMDA アニオンの過渡吸収の測定で得られた寿命と非常に良い一致を示した。

3-4 イオン解離と基底状態への失活過程

ひとの結果はスキーム3·1に基づき、励起CT状態のエネルギーレベルを考えると全てうすく解釈する事ができる。

けい解離の収率は、励起CT状態(Dt. A.)からのイヤンへ解離する速度定数 根d と基底状態へ失活する速度定数 根m とによって決定される。

$$(D^{\dagger}, A^{-}) \xrightarrow{kd} D^{\dagger} + A^{-}$$

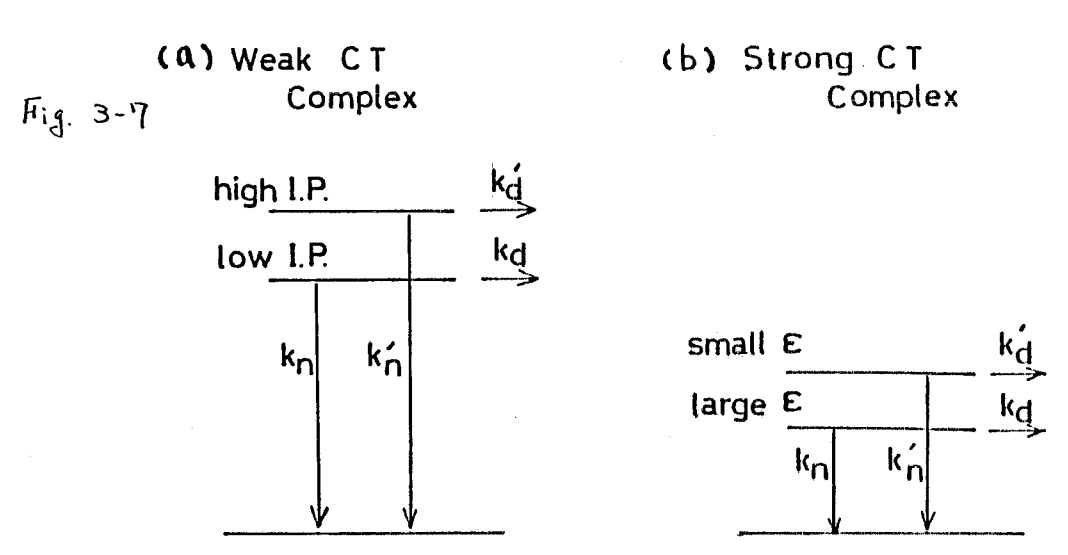
$$\downarrow k_{n} \uparrow h \nu$$

$$D + A \Longrightarrow (D ... A)$$

$$\eta = \frac{k_d}{k_n + k_d}$$

Fig. 3-1 に示は様な比較的弱いCT錯体系の場合,電子受容体を一定には時には、電子供与体の付か化かテンシャル(Ip)が低くなると付か解離収率は小さくなる。
Fig. 3-7 (a) に概略団で示した様に、電子供与体にIpの低いん合物を用いた場合 励起 CT 状態のエヌルギーしべれは高いIpの使与体を用いた CT 錯体のそれに吐べ低くなる。従って基限状態のエヌルギーしべれとの差は 低いIpの電子供与体で形成される CT 錯体の方が小さく、 Energy gap law より失活の速度定数 長れの値が、高いIpの場合の長がより大きくなる。一方 付か解離の起こる速度定数は電子供与体のIpに 依存しないので、従って もり(長れりで表わされる イナン解離収率りは 低いIpの電子供与体で形成されている CT 錯体の方が小さいと共気る事ができる。

また今回測定にた,表3-1に示した様な低いIpを持つ所謂強いCT錯体系では,励起CT北悠のエネ



(a):弱、CT錯体の励起状態の電子使与体依存性

(b): 強いCT錯体の励起状態にかける 溶媒初性 低存性

ルギーレベルは 充分低い。徒、て基底状態への失活の速度定数はたいへん 大きくな、て イオン解離が観測できなか、たと思える。

しかし基底状態への失活の速度はイオン解離の速度に比べ、大変はやいとは言うものの、励起CT状態は存在し、これが与種類の溶媒中で観測されたとうわ時間領域の過渡吸収スペクトルに相当する。それて用いた溶媒の極性が高い程、励起CT状態の寿命が短いのは、所は3-7 (b)に基がいて次の様に説明できる。即ち、溶媒の極性が高くなる程、電荷科動が起こっているために極性の強くなって次の耐起CT状態は安定化され、基底状態との間のエスルギー間隔は狭くなる。従って、生程と同様に Energy gap law を 適用すると、失活の速度がより早くなり、従って 励起 CT状態の寿命がより短くなる事が 容易に理解できる。

尚にで 誘電車 E なる 溶媒中で 安定化された 励起 CT 状態のエヌルギーは、 Dを電子供与体 Aを受容体けると $G(D_s^*-A_s^*) = E(P_0^*) - E(A_A^*) - \frac{e^2}{ER} + \frac{e^2}{2} \left(\frac{1}{R_1} + \frac{1}{R_2}\right) \left(\frac{1}{E} - \frac{1}{37.5}\right)$

E(P/Dt) : P/Dt 系にかける標準酸化還元電化 } Peh=Nylle E(A/A) : A/A 系にかける標準酸化還元電化 } vs. SCE

R=R++R_: Ds, As の半径の和 (中心・中心距離) で与えられる。この式に E(いンといけ)=1,20eV²¹), E(PMDA)=-0.55eV (標準酸化還元型位の値は実験的に測定できないので代わりに半液 型位を使用した。本論文では以下十同樣。), また R+=R_= 3.5Å の各値を用いて計算すると、 べっせひ, エチルアセテート、 THF, アセトンなが アセトニトリル の名 溶媒中での 励起 CT 状態の エヌルギーは それぞれ順に 2.60、1.94 、1.74 、1.70 eV であった。

この様に 光付ン解離の収率は、付い解離する速度定数と無輻射失活に代表されるろれ以外の失活過程の速度定数との相対的な大きなのちがいによって決定される事がわかった。その際 本章で議論している CT 錯体系の場合、イオン解離 及び 基底状態への失活が起こる 励起 CT 状態のエネルギーレベル が、液長に換算すると 紫外領域に相当する 比較的高いエネルギーを持っなら 失活の速度定数はイオン解離の速度定数と同じ オーゲー であり、光付ン解離は 観測される。 一方 液長に換算して可視領域に 相当する様な低い エネルギーレベルを持つ 励起 CT 錯体では、失活の速度定数 が 大きく 付い解離が 起こらない。

ピレン・DMA, ピレン・TEA あるいは ピレン・DCNB といった エキサイプレックス系の極性溶媒中での付か解離収率が高い²³⁾のも, 以上と同じ芳え方で イオン解離が起こる 先駆体である 溶媒和付か対状態のエネルギーレベルが高いからである。 きた ポルフィリン類の励起一重項状態と電子受容性消光剤である キノン類との間の電子科動相互作用に於て イオン解離が 起こらないのも, 同様に 溶媒和付か対状態のエネルギーレベル が低い為と思われる。

一方 渡樓和イヤン対状態のエネルギーレベルが低くても、ホースリン三重項・キノン系がや 色素三重項・消光削系がかり 砂塊 機中に於ける解離収率は 非常に高い。また次章で述べる 励起金属錯体・消光削系の場合も、ラジカルペアの エネルギーレベル が低いにも かかめらず ラジカル解離が 観測はれる。これらは いずれも photosensitizer の光励起状態が 三重項状態であるので、 消光剤 と 反応(て 生成する溶媒和イオン対状態も triplet の性質を有している。 役ってこの状態から 基底状態 への失活は、エスルギーギャップは小さいければも スピン禁制であり、その為に 失活の 速度定

数はイオン解離(ラジカル解離)の速度定数をリルセンなり、解離収率が高くなったと解釈できる。しかしいずれたせる解離と失活の各速度定数の相対的な大きなの比によって解離収率が決定されている事に違いはない。

第4章 励起金属錯体・消光剤系のラジカル生成収率

4-1 41-61

Ru(bpy)計りの光励起電子物動反応は太陽光エヌルギーの化学的変換のモデル系の実験によく使われているが、そのメカニズムの詳しい研究はすだあすりなされていない。

本章では Ru(bpy)ます 及び その 関連化合物の光励起状態が, 電子供与性 あるいは 受容性 消光剂 と相互作用して起こる ラジカル解離の収率と そのメカニでん を, マイクロ 秒 時間 領域に かける 週渡 吸収 スペリルを 測定する事によ、て 求め、 その 結果を 有機芳香 旅化合物の 場合と比較・検討する。

尚今回用いた金属儲体はいずれし可視部に吸収があり、また室温溶液中で可視部に発光が見られるという非常に稀な化合物である。しかし Ru(lpy)がに関して見ると、その励起状態の性質は比較的よく研究なれている20,30~32)

4-9 電子科動消光反応

Balzani らは 以前から Ru(bpy)37 及が関連化合物の電子粉動消光を研究してかり、消光速度定数 程と電子粉動なたの4Gの関係が RehmとWellerによって 初めて有機 芳香族系で 認められた関係33)と同様である事を1978年に 報告している34)

尚 電子粉動な応における自由エネルギー変化 AGは金属

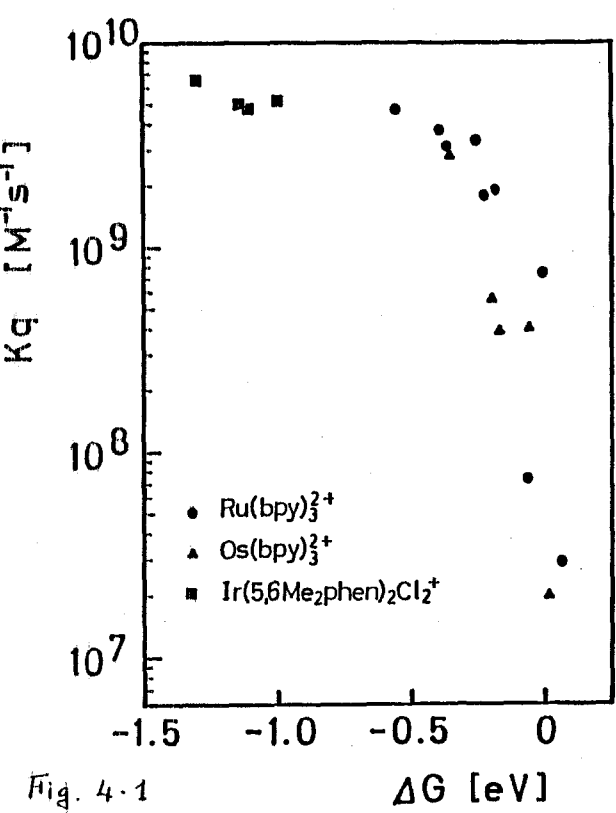
錯体(M)の励起状態を電子供与体(D)及び電子受容体(A)で消光した場合それぞれ

$$\Delta G = E(P/D^{\dagger}) - E(M/M) - \Delta E_{0.0}(M^{*}) \pm \frac{m e_{0}^{2}}{E \alpha}$$

$$\Delta G = E(M/M^{\dagger}) - E(A/A) - \Delta E_{0.0}(M^{*}) \pm \frac{m e_{0}^{2}}{E \alpha}$$

で与えられる。ここで各式の第一項、第二項は標準酸化還元型位(実際の計算には半液型位の数値を使用)を、第三項は金属錯体の励起状態と基底状態のエスルギー 差を表わす。 計最後の項はイオン対のケーロンエスルギーによる今定化(あるいは不今定化)に対する補正項を示す。

筆若が東陛に測 定作,金属储体·电子供 与性消光剂の水なるのとす の関係を Fig 4-1に示す。 こ Balzani in 報告上全人同 様の結果が得られている。 非更に詳しく見ると, △G=0 の場合に長値は拡散律 建値計 2桁 以上小は なってかり、ほぼ1桁小さ wtito Rehm & Weller 12 & り報告されたものもりむしろ 色素三重項の消光反応によ り得られる関係35)に似て ~3. = 11 13 Ru (bpy)3+ 4 Os(bpy)計の発光状態が色 素と同様に 三重項であ るという毒東かりによるもの であろう。



Ru(lpy)31 ない関連化合物の励起状態の電子供与性消光剤による消光速度定数 長と電不動動な応の AG との関係

また フラッシュランで励起色素レーザーを励起光源として用いた ホリシスにより得られる Ru(bpy)まー消光剤 系の マイクロ 村時間領域の過渡吸収スで外ルを Fig. 4・2 Rび Fig. 4・3に示す。 消光剤に 電子受容体 (アクセプター) である MVさを用いた場合には Ru(bpy)まりの励起状態 から電子を受けとり ラジカル解離して 性成する フリーの MV! 吸収が 観測された。 また 電子供与体(トナー)を用いた場合は、それぞれの アシンカイナン吸収と 520 nm 附近に 吸収極大 がみられる Ru(bpy)まの吸収と 520 nm 附近に 吸収極大 がみられる Ru(bpy)まの吸収を 現成 吸収 スで外ルが 得られる。 またこれらの過渡吸収の消失は 2次の反応速度式に従う事が過渡吸光度の逆数を時間に対しつのかけると 直線関係が得られる事から判断できる。

尚以上の及応を Ru(bpy)3tを M , 消光剤を Q として スキーム 4-1 にすとめた。

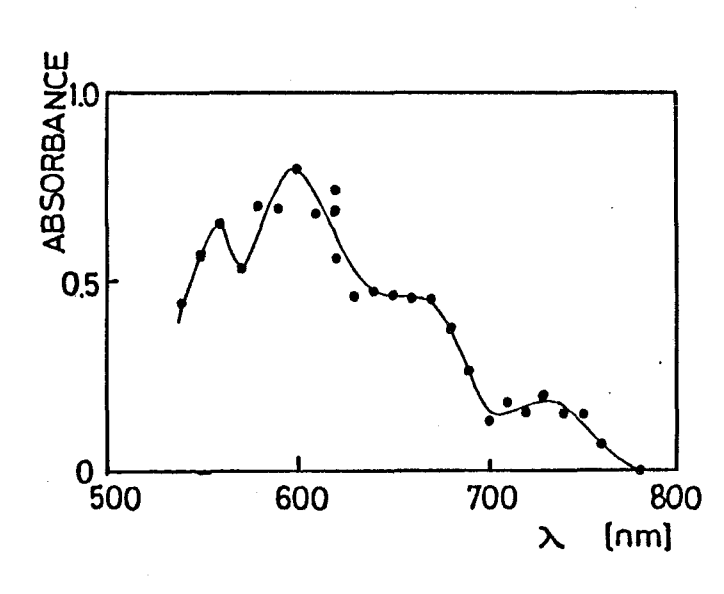
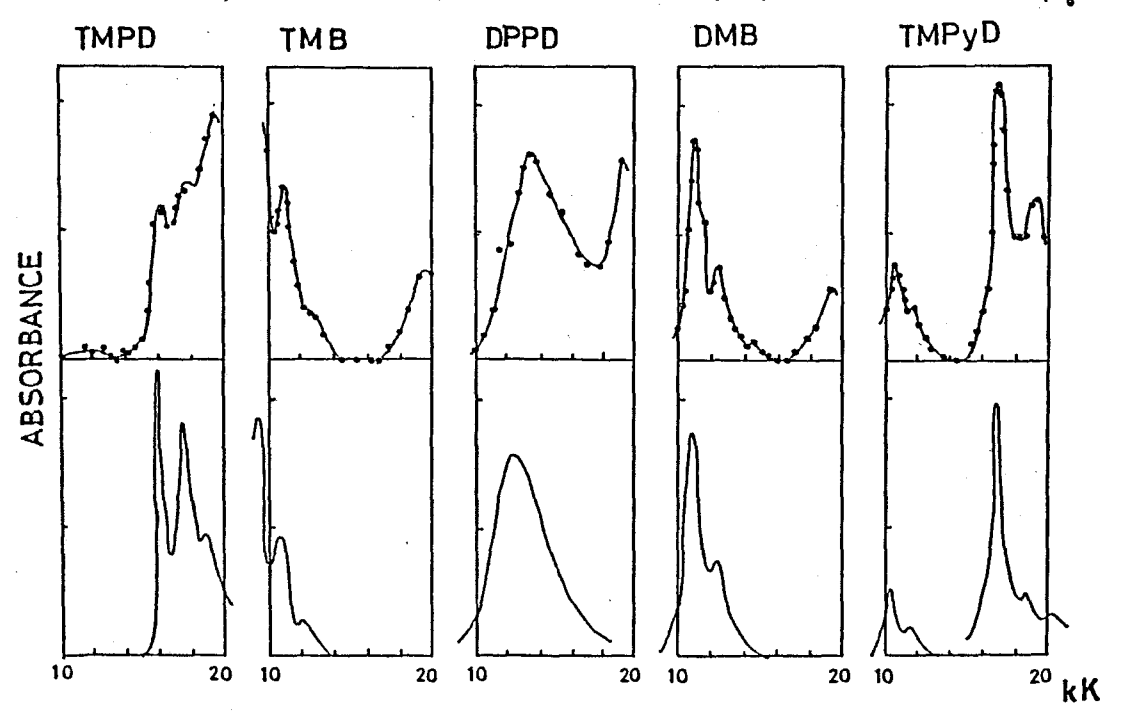


Fig. 4 - 2

水溶液中で得られた, Ru(bpy)3¹-MV²¹ 系の過渡 吸収スペルル。(励起後 1/45) 励起には フラッシュランプ 励起色素レーザー (503 nnm) を用いた。 Fig. 4-3 上段 DMF 溶媒中で得られた Ru(bpy)3+-ドナー 系の過渡 吸収スペクトル (励起後 1 μs)

下段 77ドでと線照射により得られたドナーカイオンの吸収スペ外ル

ドナーには左かる、 N.N,N',N'・テトラ 141L-P-フェニレンジアミン , N.N,N',N'・テトラ 141L-P-フェニレンジアミン , N.N,N',N'・デトラ 141L-P・フェニレンジアミン , 3.3'・ジメ4ル ベンジジン , N.N,N',N'・テトラ 141L-1.6-ヒ°レンジアミン の各アミンを使用。



渡海中に 3.4×10⁻⁵ M の Ru(bpy)^{3†} を溶かすと、Ru(bpy)^{3†} の吸収スペクトル 極大 強長 452 mm の O.D. は 1 cm のサニつのルセルでは O.5 になる。このサニフのルを 色素 レーザー で 励起すると、Fig. 4-4 に 示す様な bleaching が観測された。これらの結果を 452 mm に於ける Ru(bpy)^{3†} Rが Ru(bpy)^{3†} の それぞれの E値を用いて解析すると、レーザー 照射によって生する Ru(bpy)^{2+*} の 濃度を見積る事ができる。

一方電子供与性消光剂を添加した時性する Ru(bpy)。 の濃度は, Ru(bpy)。すの吸の 520 mm に 於ける過渡 吸光度から 判断 する事ができる。 その際 ドナーには 520 mm に ドナー カケオン吸収のない 3.3-ジ/4ルベンジジン (以下 DMB と略称)を用いた。

 $R_u(bpy)_3^{**}$ の濃度が写し、月た写し、10°ワーのレザー 10°ルスで 励起した場合に ひ上の方法で 消光剤である DMB を添加しない時とした時に得られる $R_u(bpy)_3^{**}$ と $R_u(bpy)_3^{**}$ の濃度を求めた。これらを用いると 求めたい ラジカル解離の 絶対収率は $\eta = \frac{\Gamma R_u(bpy)_3^{**}}{\Gamma R_u(bpy)_3^{**}}$ で与えられる。

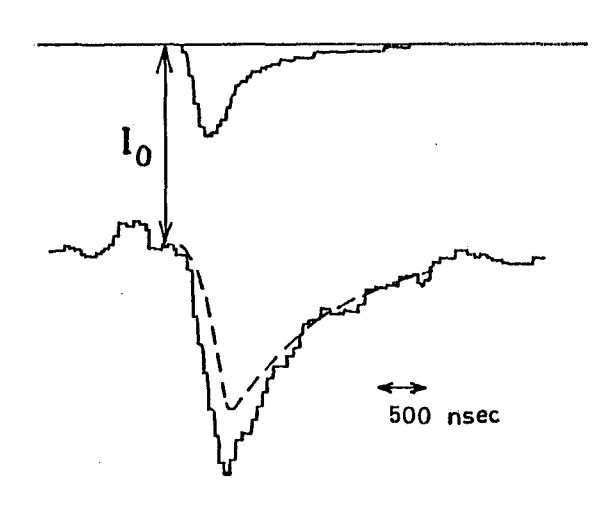


Fig. 4-4

452 mm で観測した Ru(bpy)ますの色素レザー照射による bleaching。 To はレザー照射前のサニア・ル 透過モニー 光の強度。 破線はレーザー迷光 (図の上部にテオ)の補正を施したまの。 bleachingの目復は 励起 Ru(bpy)ますの寿命に一致している。

尚以上の計算では,各分子吸光係数(E)の数値として,

$$\mathcal{E}_{452} \left(\text{Ru(bpy)}_{3}^{2+} \right) = 14700$$

$$\mathcal{E}_{452} \left(\text{Ru(bpy)}_{3}^{2+*} \right) = 4500^{36}, 37)$$

$$\mathcal{E}_{520} \left(\text{Ru(bpy)}_{3}^{+} \right) = 12000^{36}, 39)$$

$$\mathcal{E}_{520} \left(\text{Ru(bpy)}_{3}^{2+} \right) = 1300$$

を用いる。

また 電子寝客性 消光剤 MV²⁺による ラジカル解離 収率は、 $\eta = \frac{\Gamma MV^{+}J}{\Gamma Ru(bpy)^{3+*}J}$ によって 求めた。ここで MV^{+} の濃度は、 603_{mm} で得られた MV^{+} の過渡 収光度が $E = 12000^{40}$ を 用いて 見積った。

一般にスキーム4・1の様な反応にがて、ラジル解離の収率りはたして、カー「Ru(bpy)」がある。そして実験的には上でも述べた様にり=[Ru(bpy)」がある。そして実験的には上でも述べた様にり=[Ru(bpy)」がでは「M*] なが「Ru(bpy)」ができまする。「M*」なが「M*」なが「M*」なが「M*」なが「Q*」の値としては M*の全ての分子を Qと反応させ 「M*」=[(M* Q*)]という条件にした時のものを採用する必要がある。しかしこの様な条件を与えるには非常に高濃度のQを添加しなければならけい。 また M*の寿命が非常に短くなるから、レーザールのよの時間幅内に複数回 M が励起される 不都会は現象が起こる。

性成する [Ht] 及が [Qt]は ラジカルペアの濃度 [(Mt.Qt.)]に比例し、また更にこれは M*の消光%に

比例する。 従って消光剤を添加したサンプルの消光%を観測する事により、そのサンプルを用いて測定した過渡吸光度の値から、M*が100%消光され[M*]=[(M*Q*)]という条件になった場合の仮想的な[M*] あるいは[Q*]の値を計算で求める事ができる。

本節のラジカル解離収率を求める式 [Ru(bpy)す] なび [MV:] [Ru(bpy)ず本] の分子には当然の事ながらこの様な方法で求めたラジカル濃度を使用している。 また本論文中では全て、同様の若え方に基がいてラジカル解離収率を求めている。

以上の方法により得られたうジカル解離収率を表41に示す。 消光剤に電子供与性のアミンを用いた時は ÐMF 溶棋中で収率が ≈1に、 また電子受容性の MV2 を用いた時は水溶液中で ≈0.4 になった。 こめらの値は 溶媒を炒ノールに統一した時もほとんど変化がなく、溶媒のちがいが原因ではない事がわかる。

Radical yield of Ru(bpy) $_3^{2+}$ -DMB and -MV $^{2+}$ systems. $\stackrel{?}{\underset{?}{\cancel{1}}}$ 4-1

Quenchers	DM	В	MV ²⁺	÷
Solvents	DMF	methanol	H20	methanol
η ^{a)}	1.06	1.04	0.4 ₂ b)	0.5

a) The error is ± 0.1 .

b) This yield is very close to that reported previously.

(ref. 41)

Ru(bpy)ずと電子供与性及が電子資容性各1種類の消光剤との相互作用による光ラジカル解離の絶対収率が求められたが、更に消光剤を異なったものに変えた系の収率の決定法について述べる。

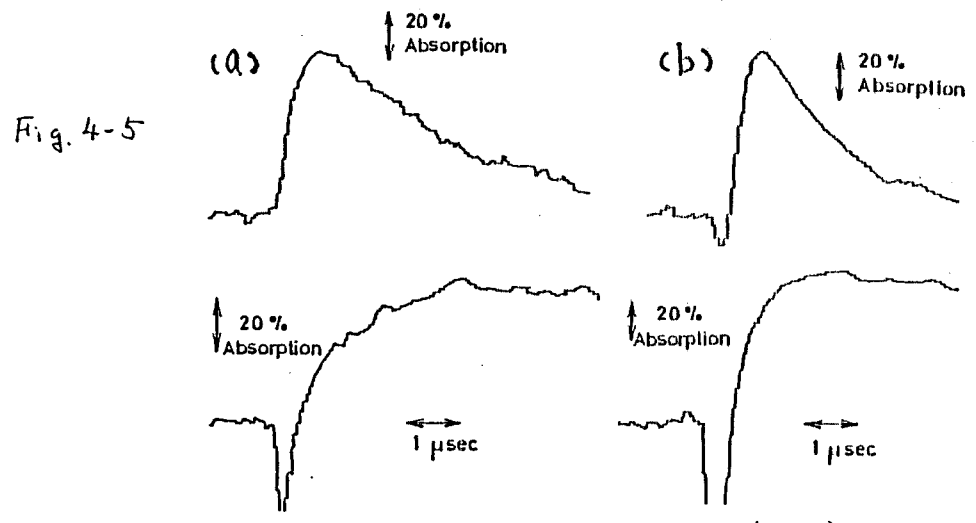
Ru(bpy)ず・ドナー系の場合、Fig.4・3に示されている様なドナーカイナンの過渡吸収を利用して、各消光剤を加えた等しい Ru(bpy)ず濃度のサンプルに 等しい10ワーのレザー光を照射して得られる過渡吸光度からそれぞれのカイナンの分子吸光係数をの値を考慮に入れて 比較すれば 良い訳だが、残念ながら室温溶液中での各カイナンのを値はわからない。そこで次の反応式に示す様に、Ru(bpy)ずのサニアルに

 $Ru(bpy)_3^{2+*} + D + TMPD \longrightarrow Ru(bpy)_3^+ + D^+ + TMPD$ $\longrightarrow Ru(bpy)_3^+ + D + TMPD^+$

旧季を求めたいドナー(も)及び、Ru(bpy)3** 発光の消光は無視できるが Ru(bpy)3**が Dと相互作用にて住いた D* からのホールを全て受け取るには 充分な 濃度の TMPDを添加し、620 nmに 吸収極大のある TMPD*の過渡 吸光度を比較する方法により 収率を決定した。 この方法は TMPDのイナン化 ホーンシャル(Ip)が他のドナーに 比べ 低いので ホールトランスアー が起こる事を利用して かり、 すたこの方法によると D*の吸収が可視部に存在しない場合でも 収率を決定する事ができる。このホール 種面の 例を Fig. 4.5 に示す。 TMB*の decay が TMPD*の rise によく 対応し、ホール 動気には TMB*が起こ、ている事がわかる。尚このホール 種面及応は TMB*

の O.D. の対数値を時間に対しからりすると直線関係が得られ 擬-次 である。 また 兄の速度定数は (2.5±0.5) × 109 M-15-1 と 見積られる。

このホール 柳動 の方法により うごかし解離収率を 測定し、得られた結果を表4-2の Ru(bpy)37の欄に示す。



920 mm で観測した TMB⁺の decay(上위)と 620 mm で観測した TMPA⁺の rise(下段)

名アミンの濃度は (a) [TMB] = 1×10²M [TMPD] = 2×10⁴M (b) [TMB] = 1×10²M [TMPD] = 4×10⁴M

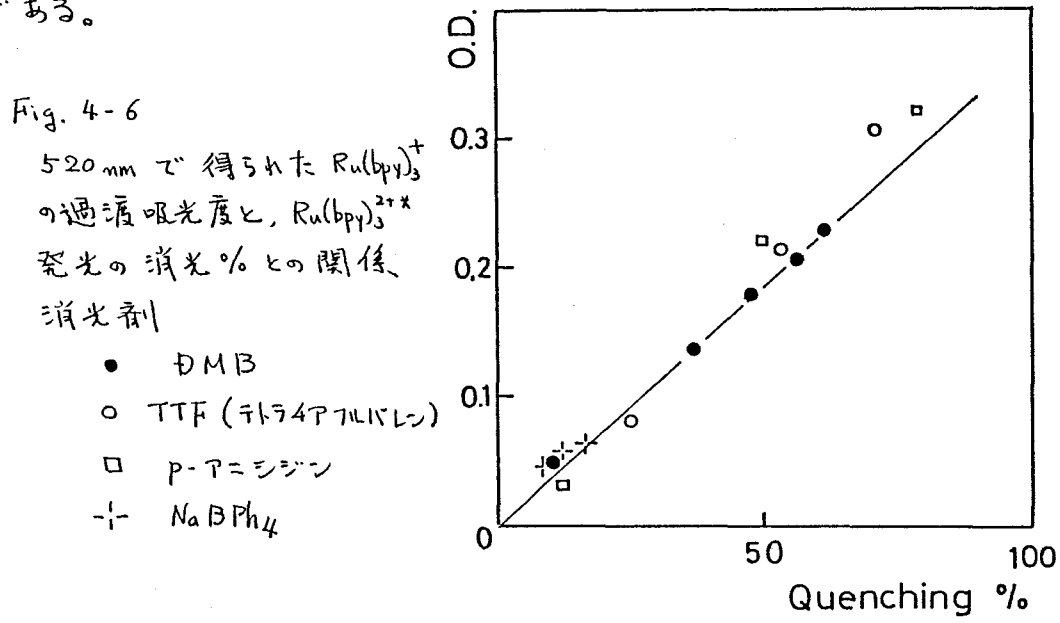
また Fig. 4-6 には 520 mm にドナーカインの明しがないいくつかの消光剤を用いた場合に得られる、Ru(bpy)ますの過渡吸光度と Ru(bpy)ませ 発光の消光%との関係を示す。回からわかる様に O.わ、と消光%との関係はいずれの消光剤系の場合です Oを通るほぼ同じ直線に乗る事から、収率はいずれずほぼ 1 である事がわかった。

この方法では、Ru(bpy)がの濃度を写くし、励起光のハウーを写しくした場合得られる Ru(bpy)がののか、をreferenceであるもMB系とは較する事によりうジャル解離

表 4-2		Ru(bpy);	≀u(phen)3	Os(bpy)3+	os(phen)3+ 1r(4	lr(5 ,4'Me₂bpy	,6Me2pher)2Cl2 ⁺	n) ₂ Cl ₂ ⁺ Cr(bpy) ₃ ³⁺
excited sta		MLCT	MLCT	MLCT	MLCT	MLCT	LC	MC
$^{\Delta \mathbf{E}}\mathbf{o}\mathbf{-o}$	/eV	2.1	2.2	1.85	1.95	2.65	2.6	1.7
$^{t}_{0}$	/nsec.	850	550	49 ^b)	183 ^{b)}	1050	900	75000
$E_{1/2}(M^{n+}/_{M}(n-1)v)$)+) s.SCE/V	-1.35 ^{c)}	-1.41 ^d) _{-1.24} e)	-1.25 ^{e)}		-1.16 ^f)-0.26 ^g)
Quencher	E%(D/D+)		Radio	cal Yiel	d			
Me ₂ N NMe ₂	0.16	1.08	0.97	0.38	0.28	0.13	0.28	0.80
Me ₂ NO-ONMe ₂	0.32	1.11	0.88	0.35	0.22	0.13	0.27	0.35
Ø-N-Ø-N-Ø	0.35	1.11	0.92	0.35	0.24	0.14	0.30	0.56
HZNO-O-NH2	O. 46	1.06	0.88	0.35	0.26	0.12	0.28	0.31
Me ₂ N (0,0) NM e 2	0.49	1.00	-	-	-	-	· ·	-
	0.53	1.12	0.95	0.35	0.28	0.14	0.29	0.16
NN	0.57	1.14	0.88		_	0.11	0.28	0.06
©©NH ₂	0.64	1.07	0.91		-	0.14	0.28	0.07
H ₂ NOOMe	0.71	1.12	1.02		-	0.11	0.24	0.16
⊘ NMe 2	0.7B	1.06	1.02	-	_	0.17	0.28	0.09
⊘ -\$- ⊘	0.83	_		-		0.16	0.33	0.07
(⊘) ₃ N	0.86	_	-	-	-	0.24	0.64	0.07
(C ₂ H ₅) ₃ N	0.96	_	***	*****	-	0.04	0.04	0
MeO(O)OMe	1.34	,		-	-	0.06	0.25	0
M V H	_	0.42	0.42	0.34	0.31	-	_	_
PVS°	-	0.30	0.16	0.17	0.13	-	-	-

a)	ref.42			
	MLCT : metal to ligand	charge transfer t	transition	
	LC : ligand centered	transition	Solvent	
	MC : metal centered	transition	Sorvenc	
b)	ref.43 e)	ref.46	$Cr(bpy)_3^{3+}$	ACN
c)	ref.44 f)	ref.34 and 47	acceptor	Н2О
d)	ref.45 g)	ref. 6 and 48	others	Z DMF

収率が求められ、ホール物動の方法に比べ より直接的な方法である。



4-5 各種金属錯体系のラジカル解離収率の決定

金属錯体を Ru(bpy)3^t 以外の Ru(phen)3^t, Os(bpy)3^t, Os(phen)3^t, Ir(4.4^t-Mezbpy)2 Cl2^t, Ir(5,6-Mezphen)2 Cl2^t, Cr(bpy)3^tの各消光剤に変えた場合については 次の様ね方法で収率を決定した。

まず問題にしている金属錯体と代表的なアミンとの系で色素レザーホトリシスを行ない、電子を受容した状態の金属錯体には600~1000 mmの範囲には吸収がない事を確認する。次にレーザー励起液長での金属錯体の吸光度をreferenceであるRu(bpy)など等しくし、両者に同じアミンを添加しホトリシスを行なった。得られたアミンカチオンの過渡吸光度をreferenceのRu(bpy)なが系と比較すると、ラジカに解離収率が求まる。

尚 L-ガーの発振液長は Ru(phen) なび Os 錯体の 場合は 503 mm に、また Ir Rが Cr 錯体の場合は 423 mm にした。

例と17 Fig. 4-7 には Ir(5.6-Mezphen)2(1, - 各消光剂系 で得られた過渡吸収スペケルを、すた ディチャには 消光 利に DMBを用いた場合に、Ru(bpy)3t と比較して得られる In(5,6·Me, phun), cl, 系の DMB+過渡吸光度と消光%との関 係を示す。これから Ir(5,6·Mez phen)2Clt - DMB系では ラジカル

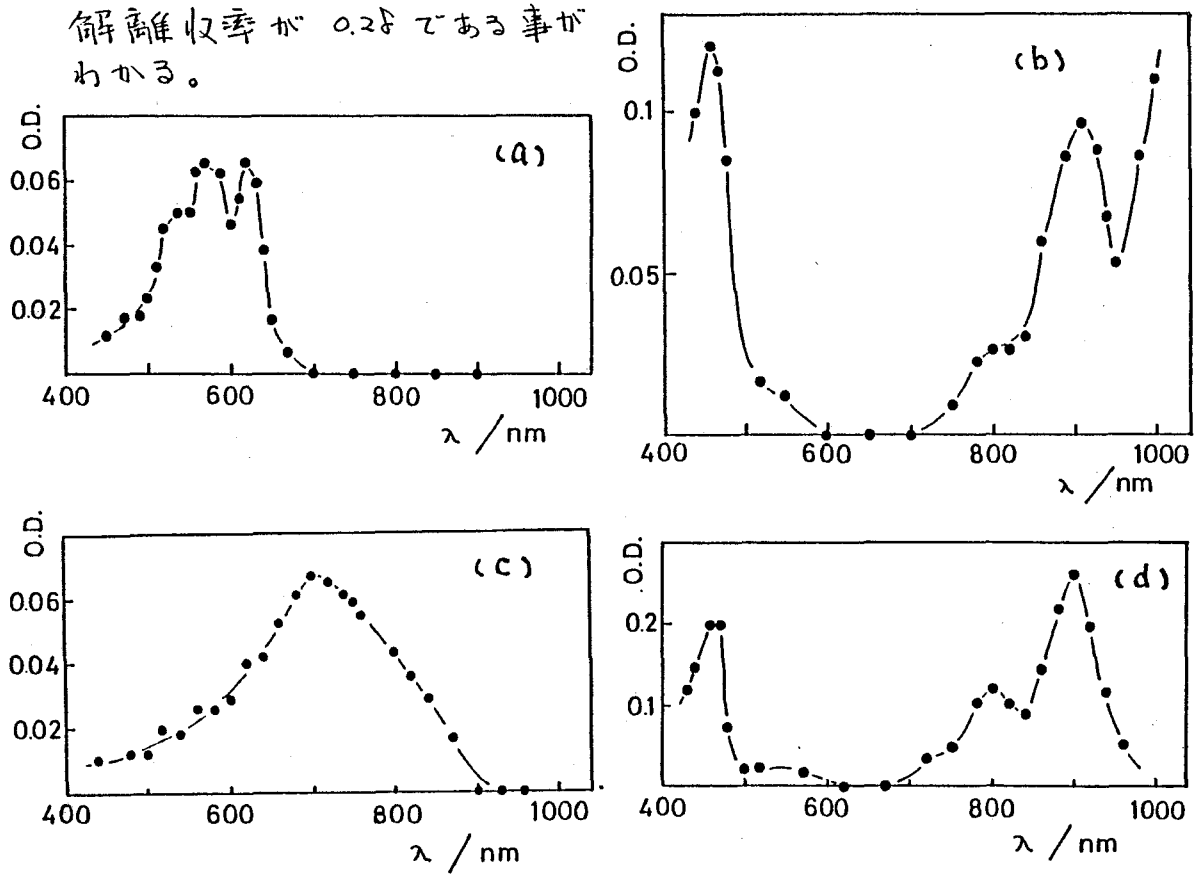


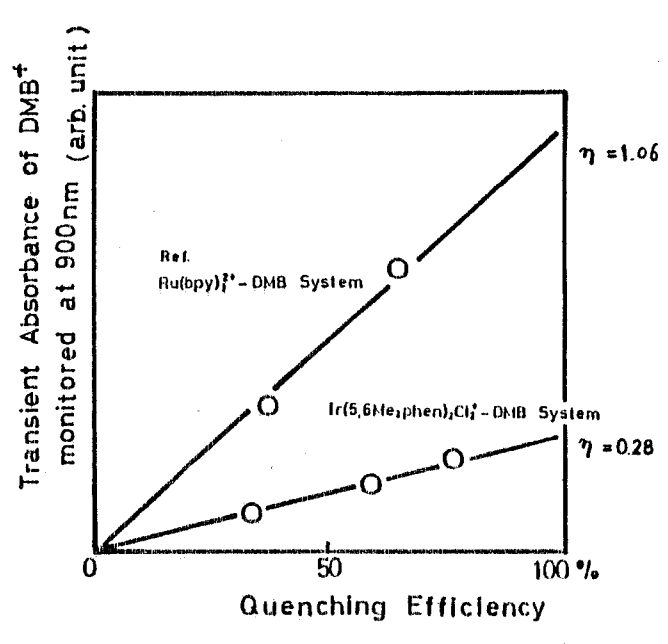
Fig. 4-7 色素レーザーホトリシスで得られた, DMF溶解、中での Ir(5.6-Mezphen), Cl. *- 消光剂 系の過渡吸収 スペケル

- 消光剂: (a) TMPD
- (励赴後 1µs) (b) TMB
- G99G (c)
- DMB (d)

Fig. 4-F EMF溶媒中における Ir(5,6·Mezplen)zCl;-DMB 系のラジカル解離収率 の決定法。 reference には Ru(bpy);

を利用.

(see Text)

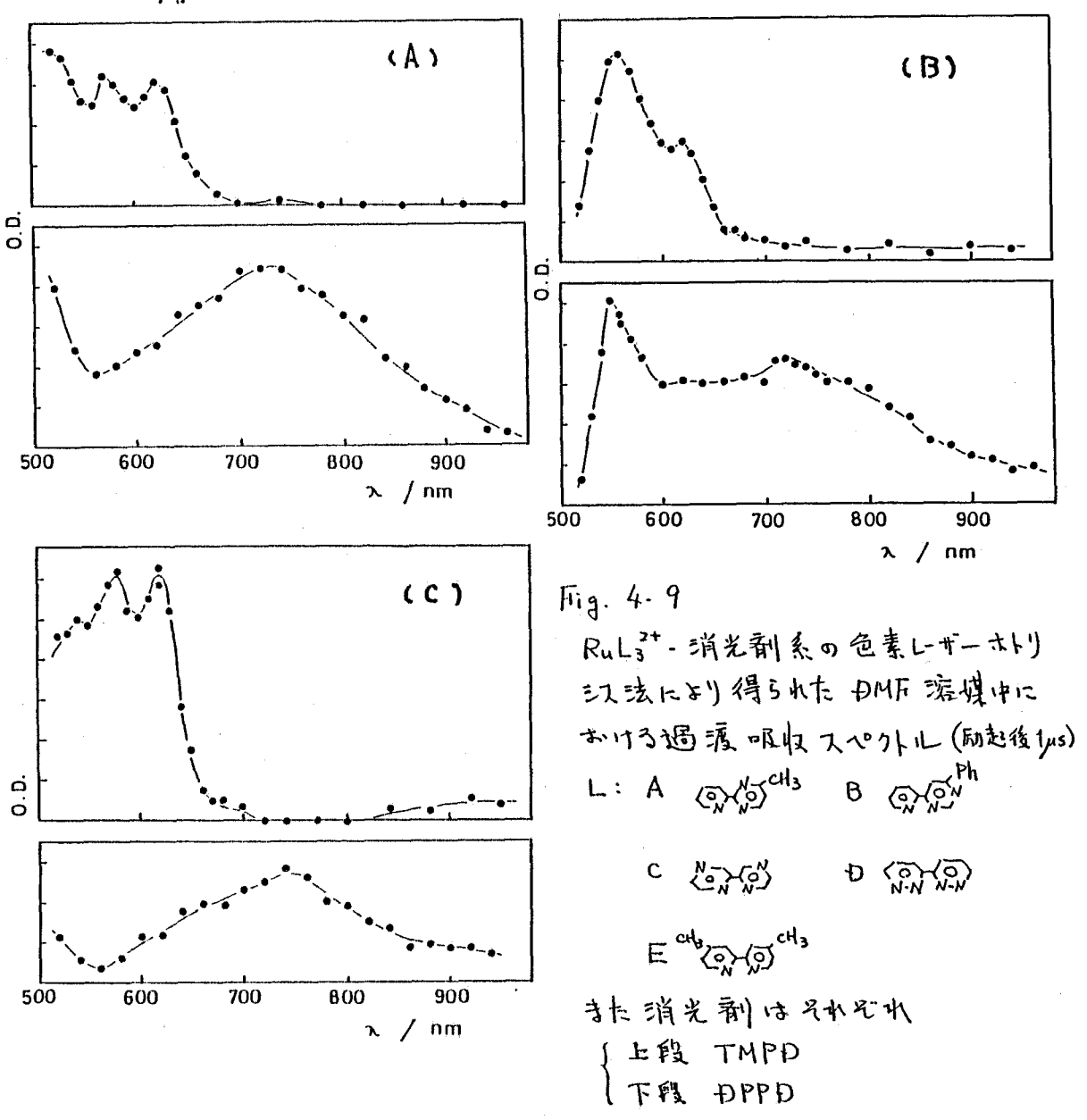


尚 Os 錯体に関いては,基底状態のOs 錯体自身の吸収が, アミンカイオンの観測液長領域に存在するので, 実際の収率決定の際にはこの補正を行か、た(4)

以上の方法で 各金属儲体 それぞれに関し最低一種類の 消光剤について Ru(bpy)がとの比較によりラジカル解離収率を決定した後は、4-4 節で述べたホール物動の方法により、問題としている 金属錯体と名ドナーとのそれぞれの組み合わせに関してラジカル解離収率を決定した。得られた結果は表4-2にまとめた。

また Ru 錯体に関いて、配位子に bpy や phen 以外のものを用いた場合についても測定を行むった。 Fig. 4.9 には異なった 配位子 がついた か種類の Ru 錯体の わMF 溶液に消光剤として TMPD や DPPD を添加した場合に得られる過渡吸収スペルルを示す。 いずれの Ru 錯体の場合でも 740 mm には Ru Lat の 吸収は存在しないか 若しくは

無視できる程度であ事がTMPD添加系のスペクトルから判断できる。 そこで DPPD添加の場合について ラジカル解離収率を 1740mm モニターで DPPD を観測し、過渡収光度を比較する方法により求めた。 結果を表 4-3に示す。



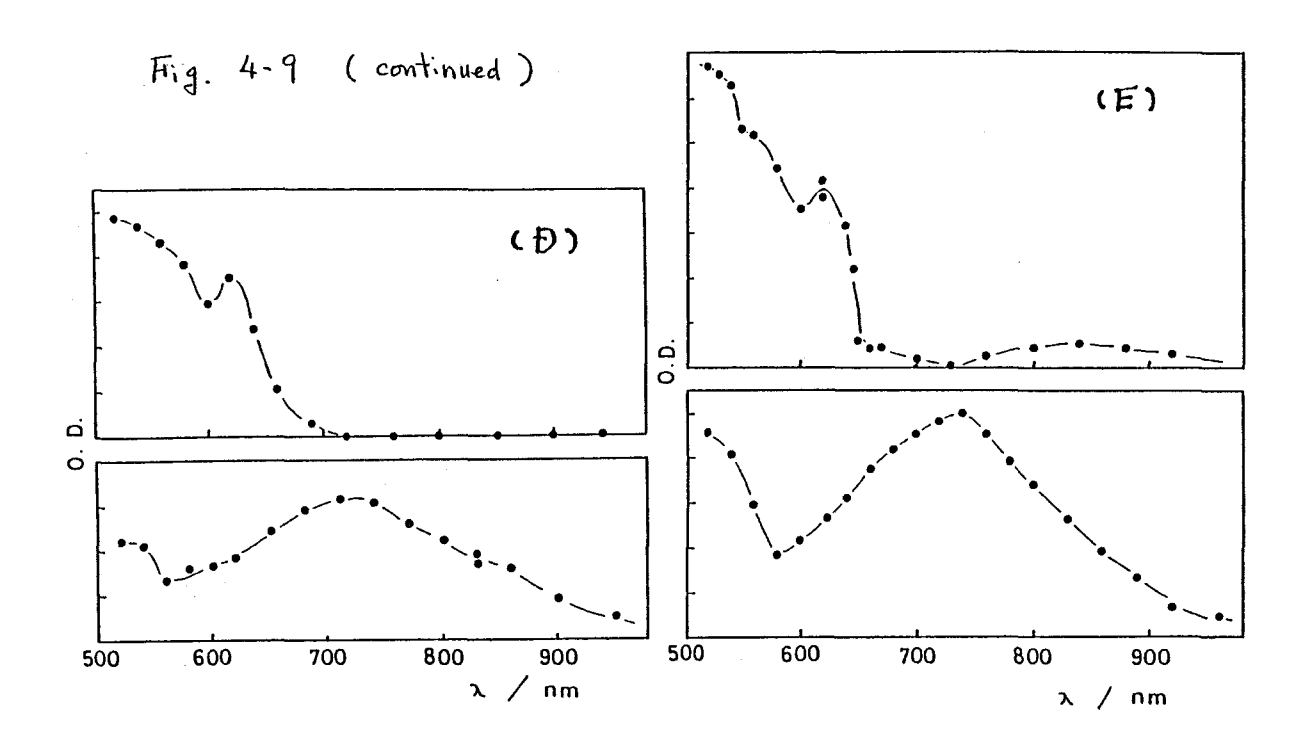


表 4-3 Rulit - DPPD 糸のラジカル解離収率 (海棋 PMF)

L bpy phen のがいのでかいのがいのでいる
Yield a) 1.11 0.13 1.15 1.29b) 0.99 1.10 1.29b)

- a) 誤差 ±10%
- b) Rulitの吸収がめずかに740mmに存在するので 若干大きな値になったと思われる。 (cf. Fig. 4-9)

電子受容性のMV+ 及がPVs。も消光剤に用いた系については、うがカル解離収率が 0.42 である Ru(bpy)計・MV+ /H2の 系の場合と比較しておめた。つまりまめたい 金属錯体の励起 波長での 0.0. を Ru(bpy)計の0.0. と等しくし、等しい パワーのレーザー光を照射した時に得られる 603 mm でのMV+ の過渡吸光度を比較して、Fig.4-6 に示すのと同様の方法で行わった。

尚 PVS°に電子が1つ粉り生する PVSでの吸収スペクトル 及がεは MVt と全く等しい⁵⁰⁾ので PVS°によるういかに解離収率の決定す MV²⁺の場合と同い方法で求める事ができた。

得られた結果は表4-2の下欄にきとめた。水や刈り一儿溶媒中では「小錯体が発光せず、従って「小錯体・電子資客性消光剤系のラジカル解離収率は測定できなか。た。またMV²⁺類では Cr(bpy)計発光を消光する事ができなか。た。これは、電子粉動消光及応の自由エネルギー変化が AG ≈ +0.5 eV となり、反応が起こりにくいという予想と一致する。

4-6 ラジカル解離り率.

以上の方法でおめた。励起金属錯体-消光剂系の極性溶媒中に於けるうがカル解離収率は表4-2にまとめられている。

電子供与性の消光剤を用いた場合 ラジル解離収率は、次の3つに大きく分類できる。

- (1) ルテニウム錯体系では、収率 1でラジル解離が起こっている。これは表4.3に示す様な種類の異なった配位子を持つ錯体の場合でも同様であった。
- (2) オスミウム 錯体 及びイリジウム 錯体では、消光剤の種類に依存せず、解離収率は 1より小さい ある数値で一定であった。尚標準酸化還元電位が正で高い消光剤の場合ロかし差異が認められた。
- (3) クロム錯体では消光剤の標準酸化還元型位が増加するに

従い、うざれに解離収率が減少(たが) 以上の事から、主として金属錯体の中心金属の種類によって うシカル解離収率が1になるか、1より小さい数値で一定 になるか、あるいは消光剤の標準酸化還元電化に依存す るかが決定されている事がわかる。しかしその機構の詳細は現程階では明らかでない。

消光剤に電子受容性のMV2+を用いた場合は消光剤が 電子供与体の場合とは消光の限の電子動動の向きが逆なので、ラジカル解離収率も実力、た値をとろと思われる。事実 Ru 錯体 Wi Os 錯体系のラジカル解離収率は O3 への4 であった。 すた消光剤に MV2+の誘導体である中性の PVS°を用いると、解離収率は小さくなる。 金属錯体-MV2+系において 電子動動して生する ラジカルへのでの +3 とけの電荷を持ったなうごカル (例えば Ru(bpy)また MV+) は 互発し、他方 金属錯体-PVS°系の場合では +3 と -1 の電荷を持つので引力が 衝く (例えば Ru(bpy)また - PVSで)。 従ってスキーム 4-1 に がける ラジカル へで (Mt. QF.) から カーム イン Mt. + QF. 人と 別れていく割合は MV2+ 消光剤 系の方が PV S°消光剤 系の場合より 木まく なると 子根は似、ラジカル解離収率が大きいと 思りれる。

このうジカル解離してかく化学種間の静電引力及が反発力が解離収率を決定するという考え方は、Rullpyが-MV²+系のうジカル解離収率がの4±0.1であるのに対し、Ru(bpy)3+-キノン系では く0.01になるという実験結果に関しても Kalyanasundaram らにより採用されている。41)しかしクーロンカが解離収率を解釈する際の判断基準になるのはMV²+と PV5°の様に同種の消光剤を比較した場合に限られ、キノン類の様な種類の異な、た消光剤の場合は別の雰囲が強く作用しているのではないかと思われる。

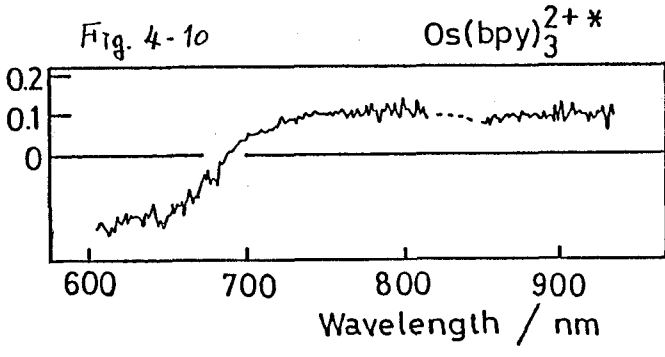
その他 励起 Ru(bpy)計の電子粉動消光反応にかけるラジカル解離収率の測定に際し、消光剤として電子供与性のフェノール報が2)や電子受容性の金属付し(e.g. Cu²+, Fe³+)53) 等を用いた場合の報告例が若干あるが、いずれの場合に於てす系統的な説明はななれていない。

更に一般的な場合である有機芳香族化合物の光励起状態からのうジカル解離収率について芳えても、収率が電子利動消光反応のAGの増加に伴い減少(は)、53)、55)する系や、逆にAGの増加に伴い境加24)、53)、55)する系が供に存在している。従って金属錯体の場合と同様に、うジカル解離収率に関する大局的な解釈はまだなされていない。

しかし ラジョル解離収率は、第3章の章未で述べた様に ラジョルペアから解離してゆく速度(長d)と基度状態へ失活する速度(長m)との関係で決すってかり、金属錯体-消光剤系の場合は スピン禁制の為 長州値が小士く役、て 比較的 大きな解離収率が得るれたものと思り引る。

4-17 Os(bpy)3+ 消光利系のピコ科ないりシス結果

以上の様に金属館体・電子供与性消光剂系のラジョル解離収率は、主に金属館体の種類によって決まっている事が明らかとなった。それではどの段階でどの様にして解離収率が決定されるのであろうか。これらの点を解明するために、モードロック Nd³t: YAG レーザーの第2高調液を励起光源に用いて Os(bpy)3°t - 消光剂系のピコ科時間分割吸収スペ外ルを測定した。



DMF 溶媒中にかけののかがのモードロック Nn31: YAG レーザーによる ホリシスで得るれた過落吸収 スペクルル。 スペクルは 励起 直後から 5 m 秒後まで同してあった。

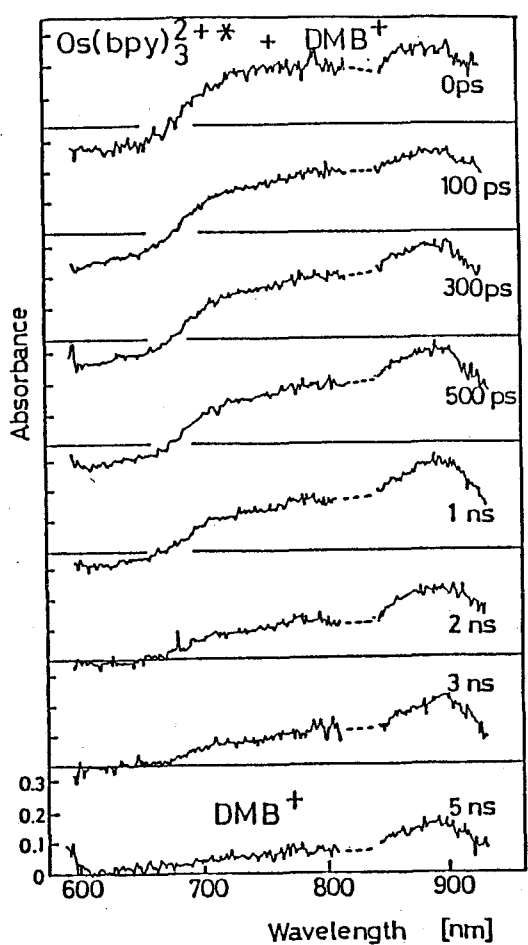


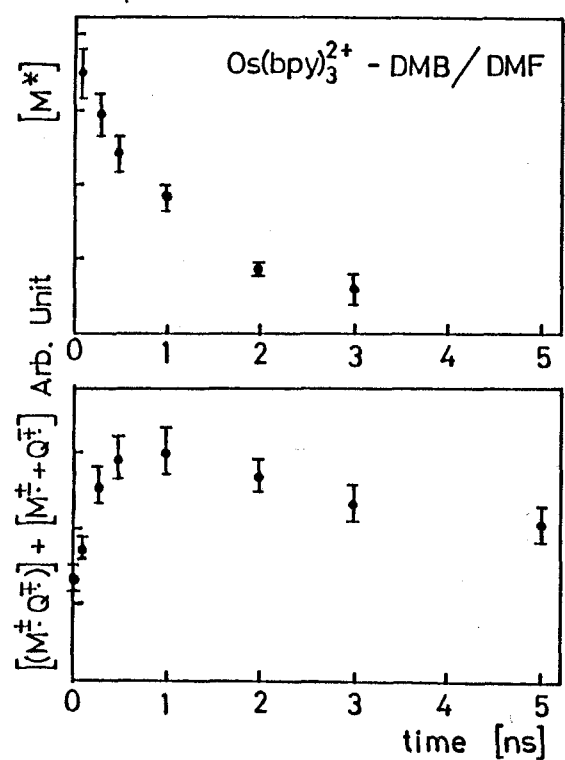
Fig. 4-11 DMF 溶媒中の Os(bpy)3[†] -DMB 系で得られた過渡吸収 スペルル [DMB] = 1.35 M

Fig. 4-10 には消光剤を加え ない Os(bpy) すのみの過渡吸収スや かしを、また Fig. 4-11 には消光 剤として ÐMB も添加した場合 の過渡吸収スや外儿を示す。こ の国が消光剂添加系の励起 直後に得られる 吸収スペパル が消光剤のない系でのスペット ルに類似しており, 時間と比に 色素レザーホトリシスにより得ら れたのと同し、DMB+の吸収へ 麦化しているのがわかる。 そこで 各進延時間での過渡吸収入 へかれを Os(bpy)3t の励起状 熊とDMB+の各吸収にスペか ル分解すると Fig. 4-12の様に なった。

ここで スキーム 4-1に於て うジカル解離 する前の状態である ラジカルペア (Mt QF.) もうジ か 解離して 生いた ツーな QF. と同様にもMB⁺の吸収入や かれを与えると考えられる。役 って Fig.4-12の下段に示す のMB⁺の時間変化はこの両者 の和を観測している事になる と思われる。

尚このスキーム4・2に

Fig. 4-12 Os(bpy)3⁺- PMB系で得 られた 名遅延時間での過渡吸 収を スペクトル分解して得られた Os(bpy)3^{+*}と PMB⁺ 吼巾の時間変 化。



基がくと、M*は 亡。+ た。[a]なる速度定数で失活するのがわかる。 すたルートエとルートエのそれぞれの生成ルート別

に老えると、(Mt Qt.)及びQt. の名濃度の時間依存性は次式で与えられる。

route I

$$[(M^{\sharp}Q^{\sharp})] = \frac{k_{q}[Q][M^{*}]_{0}}{k_{M}-k_{p}} \left[\exp(-k_{p}t) - \exp(-k_{M}t) \right]$$

$$[Q^{\sharp}] = \frac{k_{d}k_{q}[Q][M^{*}]_{0}}{k_{M}k_{p}(k_{M}-k_{p})} \left[k_{p}\exp(-k_{M}t) - k_{M}\exp(-k_{p}t) \right] + \frac{k_{d}k_{q}[Q][M^{*}]_{0}}{k_{M}k_{p}}$$

route II

$$[(M^{\frac{1}{2}}, Q^{\frac{1}{2}})] = \exp(-k_{p}t)$$

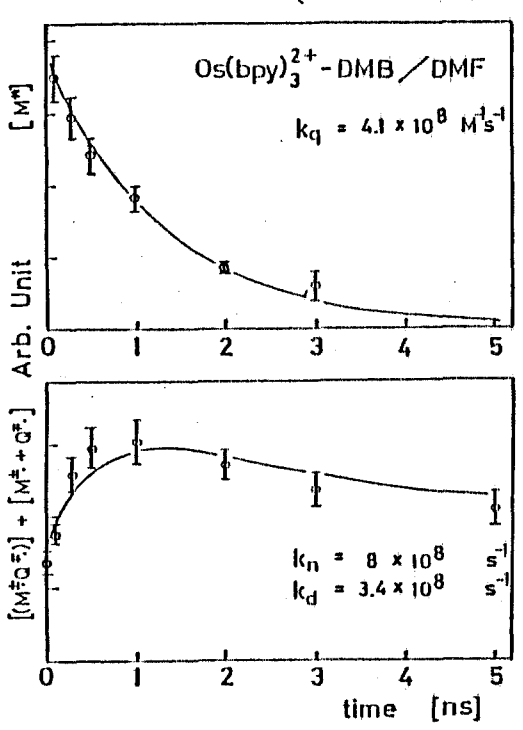
$$= -\frac{k_{d}}{k_{p}} \exp(-k_{p}t) + \frac{k_{d}}{k_{p}}$$

從ってこれら4式の和が DMB* 吸収強度の時間依存性を表わすと考えられる。

ここで励起がルートエとルートエで起こっている比(上式では「M*Jo:1)と根ののったいラメータとしてコニピューターションにより下ig.4-12に示すのs(lpy)デザともMB[†]の各吸収の時間依存性それぞれに対し一致する様にカーでフィッティングを行なった。尚希やての数値は測定により得られてかり、また根の値すれるが決まればりが既知であるので決定できる。

得られた最本良くフィッティングする結果を Fig. 4-13に示す。実測値と計算値がかなり良い一致を示す事から、以上のスキームが妥当である事がわかり きた ちゅんん

Fig. 4-13 コンピューリーシミュレーション によるリーでなりティングも行りい最 す良い一致が得られた結果 (see Text)



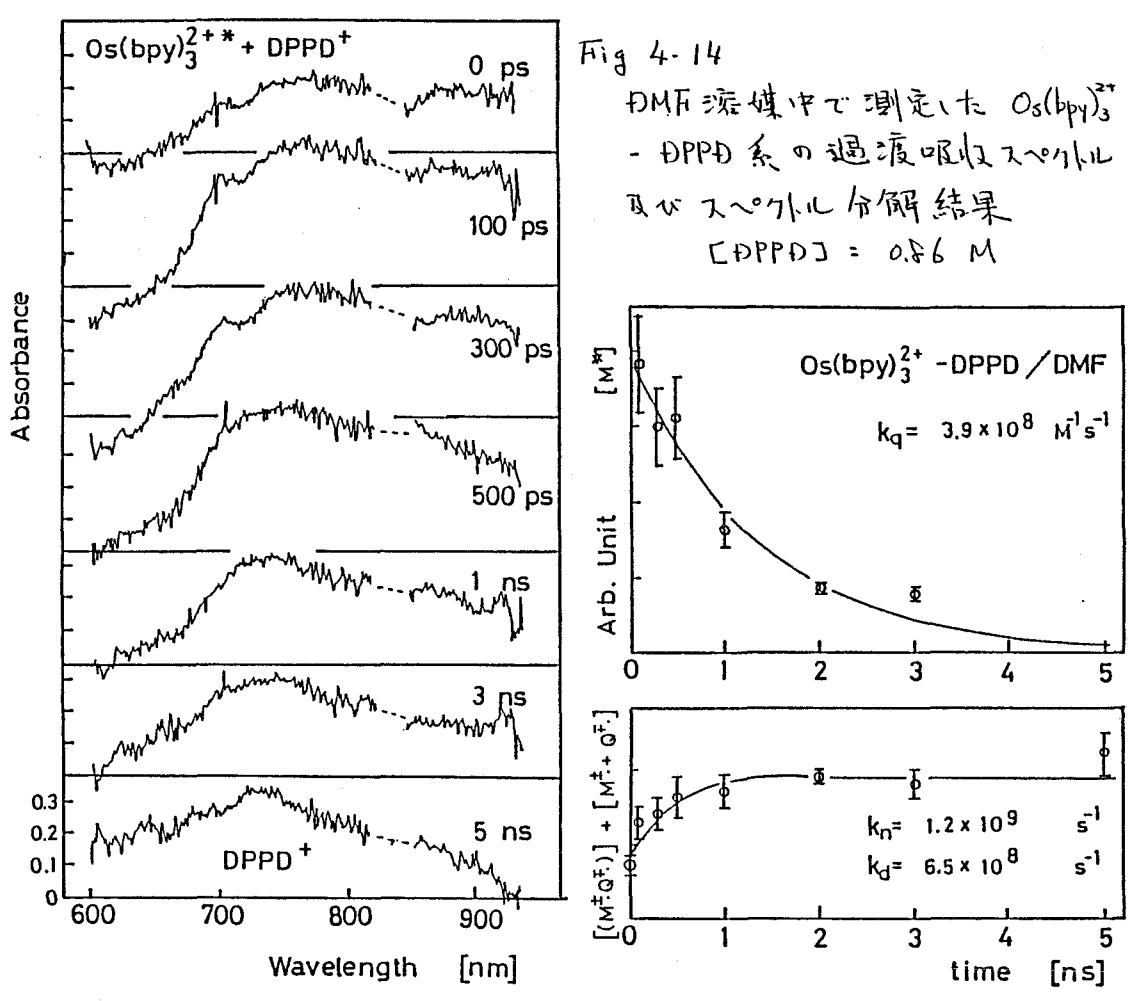
の値を得る事ができた。

Os(bpy)3+*の消失速度 長Mは添加消光剂濃度から to+ tq[a]で 下根 生れる値より 木式 はっている。これは基底状態での錯体形成には至らないが Os 錯体近傍に濃縮せれて存在している消光剂が原因かと思かれるが、詳細はわからない。 今回の計算では 干担値 かり 実験値を採用は、

すた Fig. 4-13の下段に示す DMB+吸収が 励起後1 かわかる 3 かわにかけて一部減少している。これはラジルペア (Mt. Qt.) が基底状態に無輻射失法 する事により生いた現象であり、3 かわ ひよの遅延時

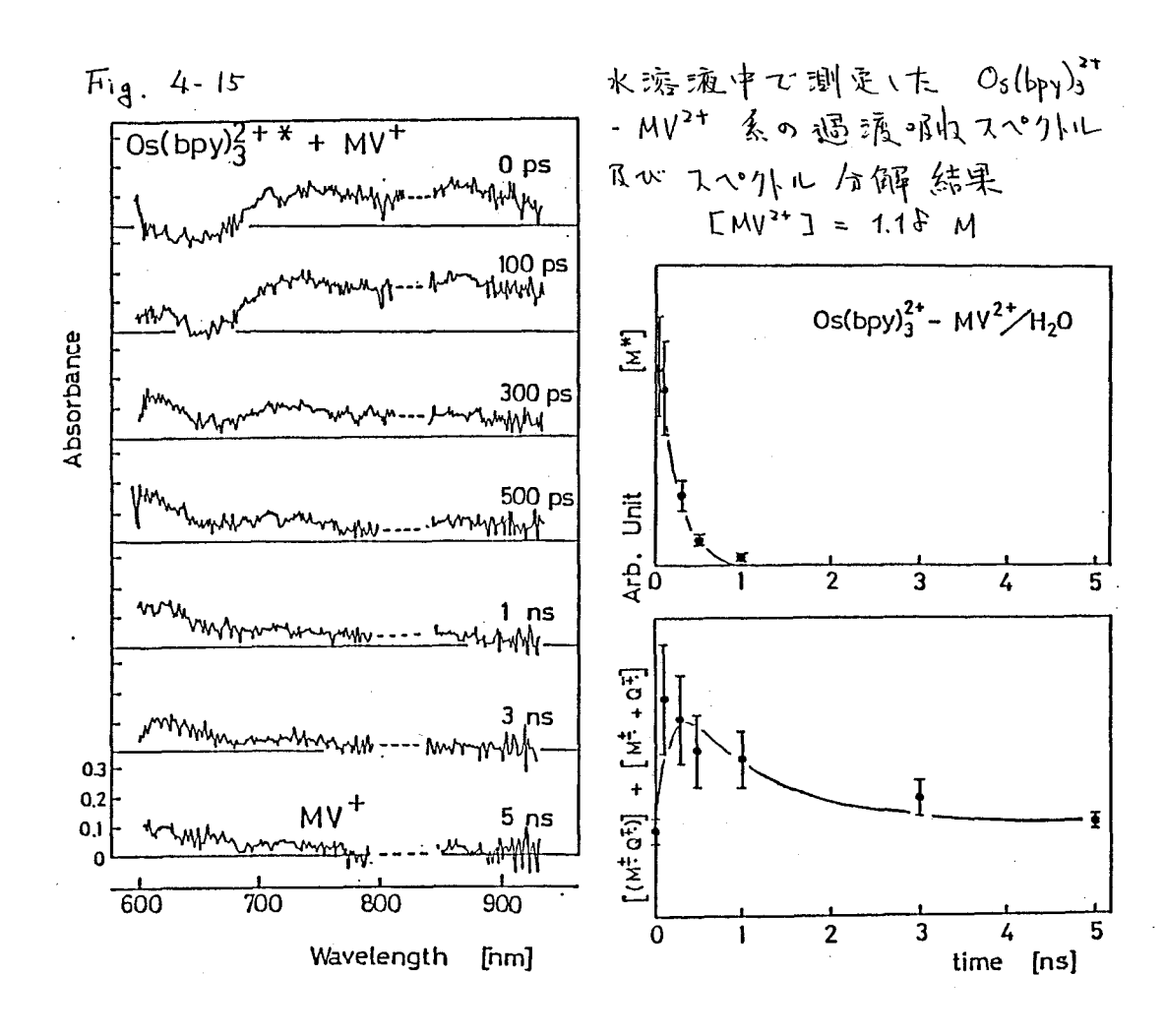
間が経過して十存在するもMB⁺の吸収或分は、ラジが解離して止した ツーなもMB⁺のすのである事がわかる。即ちラジが解解収率が決定される段階を直接観測できた訳である。

消光剤を用いく電子供与性アミンであるもPPDや、電子受容性MVされて変えた場合についても同様の測定を行れ、た。過渡吸収スペ外ル及がスペ外ル分解した各成分の時間依存性 並びにスキーム4-2に基がいて行け、たシミュレーション結果を Fig. 4-14, Fig. 4-15に示す。いずれもDMB 消光剤系の場合と同様にスキーム4-2に基づく取扱いによりうまく説明できる。



得られたろれぞれの糸についての たd, たmの値を表4-4にきとめた。

尚モードロック Nd³+: YAG L-ザーによるホトリシスでは 過渡吸収の遅延時間は励起後かれわまでしか測定できない。そこで Qスイッチ Nd³+: YAG L-ザーを励起光源とするホトリシス実験で、これらの Os(bpy)3+-消光剂系の励起後 20 m 秒 へ 400 m 秒 の時間領域内での消光剂ラジカルの過渡吸収を測定したが、収光度の時間変化は認められなか、た。更に励起後 300 m 秒 外降の遅延

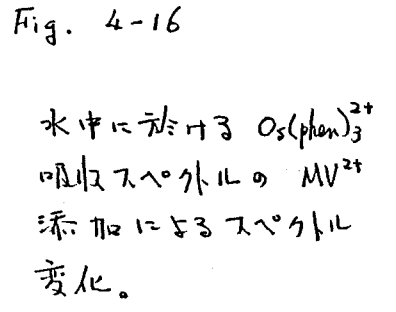


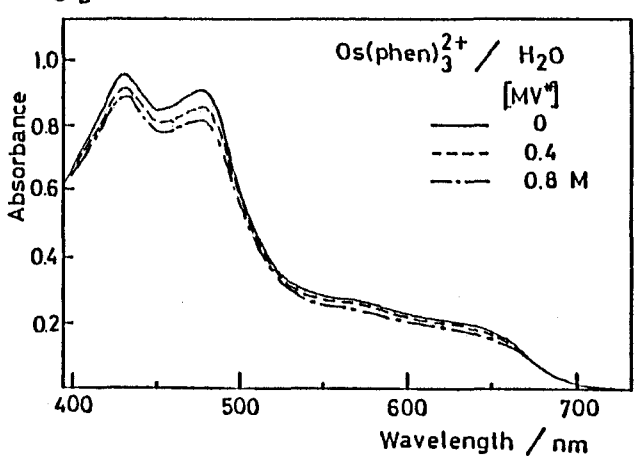
 $Os(bpy)_3^{2+}$ 表 4-4 _k_d /s-1 k_n /s-1 $k_q/M^{-1}s^{-1}$ Quencher 7.7 x 10⁸ 4.1×10^{8} M V # 8.0×10^{8} 8.0×10^{8} 3.4×10^{8} 4.1×10^{8} D M B 3.9×10^8 6.5×10^8 1.2×10^9 DPPD

時間ではラジカル解離収率を測定する際の色素レザーホトリスに於てフリーなラジカルの再結合の過程が観測されただけである。従って以上の結果からラジカル解離収率は励起後かの対以内の過程のみで決定されており、それをり長い遅延時間ではフリーなラジカルの再結合が起こっているだけである事が確認できた。

スペクトル分解をして得られた消光剤ラジカル吸収が励起後の戸利ですでに存在する事から、スキーム4つでは基底状態での錯体形成が存在するとした。この事は下京4・16に示す MV2+添加による Os(phun)3 吸収のスペクトル変化からも 示唆 される。 尚ここでは Os(phun)3 の例を示した。これは 同一測定日に系統的に測定したからであるが、同様の収収スペクトル変化は Os(bpy)3 の場合にも意見められている。

すた Fig. 4-17 には Os(bpy)が、MV2+系で MV2+濃度を吐較的 低くした場合の Os(bpy)がな Rが MV! の名成分の時間依存性を示してある。 MV2+の濃度が低いので、基底状態での錯形成の割合がふせく、從、て励起後 Opわっての MV! 吸収がほとんどない事が理解できる。この事をスキームの平当性を示している。





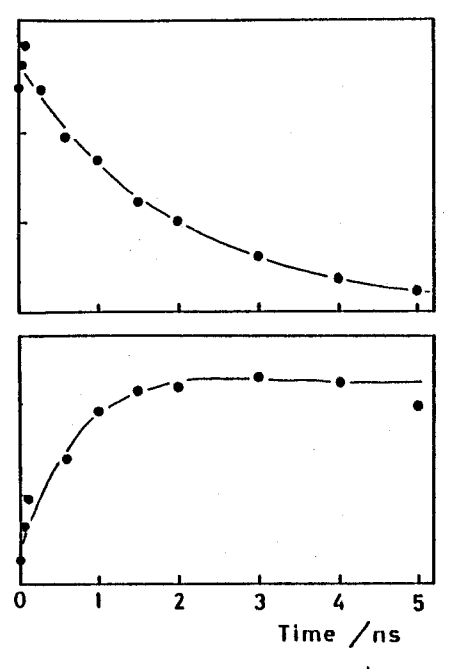


Fig. 4-17

水溶液中で測定に Os(bpy) が - MV^{2†} 系の過渡吸収スペクトルを スペクトル分解して 得られた [Os(bpy) が*] と [M V²⁺] の時間 変化。 添加 MV²⁺ の濃度は 0.50 M である。

尚これらの基底状態での錯体形成はピコ科時間領域のホリンスを行なうために高濃度の消光剤を添加したから起こ、て来た訳であり、通常の長週定や色素レザーホリンス測定を行なう限での消光剤濃度条件ではほとんど表慮しなくてよいと思われる。

Os(bpy)3t t Os(phan)3t に変えて、いつ利時間領域での過渡吸収スペクトルを測定し、同様の処理を施すと、Os(phan)5tの場合に於ても同様の結果が得られた。

一方他の金属錯体の場合については、金属錯体の励起状態の吸収が 600~950 mmの 波展範囲には存在せず、 [M*]の時間依存性を追跡する事ができない。従って [M*]の変化に対応している 消光剤ラジカル吸収の時間依存性を解析ですず、 スキーム 4-2 にもとずく シミュレーションができない。 Os 錯体は こういった 操作 が可能である 税な 金属錯体であった事がわかる。

この様に極性溶媒中にかいて励起金属錯体を消光剤により電子科動消光は際のラジョル解離収率は、用いた金属錯体の種類ごとに異なった傾向を示す事がわかった。 更に励起金属錯体と消光剤とが電子科動相互作用に生いたラジョルペア(Mt Qt)が基底状態へ失活する反応と競争して フリーなラジョルへ解離して中く過程を直接測定する事ができた。

第5章 励起节香族炭化水素の危属イオーノ

5-1 はしめに

商幸では金属を含んだ化合物の最低励起状態と有機消光剤との相互作用により起ころうジカル解離過程について報告した。しかしこれとは逆に金属を含んだ化合物を消光剤として用い励起苦番機化合物との相互作用を調べる事も可能である。特に金属イオンを消光剤として用いた系に関する研究は若干なされてあり、消光を展入オンの種類については発光物質や金属イオンの種類になりのでは、あるにより観測とれる化学種は苦酸化合物の三重項もしくはカイオンである事がミセルを再いた場合等で認められている。かり、60、61、詳に、事はわからない。この様には別になるになり、60、61、詳に、事はわからない。この様に消光剤になるでは別、60、61、詳に、事はわからない。この様に消光剤になるがり、60、61、詳に、事はわからない。この様に消光剤になるがけられていない。

本章ではピレン、1-ピレスルホン酸、コロネン、9,10・ジメイルアトラセン なが N-工化しカルバゲールといった代表的な有機芳香族化合物の励起一重項状態と、Agt TT あるいは Pb2+の様な関類重を属けてとの相互作用について報告する。

5-2 けい光消光の速度定数

1- ピレスルホン酸とイナフタレンスルホン酸のけい光の9種類の開設重金属イオンによる消光速度定数表を水溶液中で測定した。 Stern-Volmer プロットはいずれも直線にかり、そこから得られた結果を表かりに示す。

得られた たらの値は 消光剤である 金属付かの原子番号と 相関関係 が 認められず、 役、て重原子効果による 消光機構では ないと思めれる。 同様に金属イナンは 閉殻であるから 常磁性効果 も 消光機構としては 適当でない。 すたいずれの金属付かの吸収を たいしん スルホン酸 及び たナラクレンスルホン酸の 発光 液長より 長波 長側には 存在しないので エスルギー 初動は 下外 はれる。 更に 消光剤 添加による けい光物質の 吸収スや外ル変化け 認

表 5-1 水溶液中にかける、1-ピレスル大ン酸 みが 1・ナフクレンスル大小酸 - 金属付い系のケイ光消光速度定数

ion	Z	電子配置	Ipa) [ev]	$-E(M^{(n-1)+}/M^{n+})^{D}$ vs. NHE [V]	k _q (Руѕ ^{с)} [H ⁻¹ в ^{т1}]	$k_{q}^{(NapS^{d})}$
zn ²⁺	30	3d ¹⁰	39.70	-1.98	<10 ⁷	∿2×10 ⁶
Ag ⁺	47	4a ¹⁰	21.48	-1.84	7.82×10 ⁹	6.00×10 ⁹
ca ²⁺	48	4a ¹⁰	37.47	-1.80	< 107	∿2×10 ⁶
In ³⁺	49	4a ¹⁰	54.4		< 107	4×10 ⁶
Sn ²⁺	50	4d ¹⁰ 5s ²	30.49		6.68×10 ⁸	1.46×10 ⁹
Cs ⁺	55	5s ² 6p ⁶	23.01		2.4 ×10 ⁷	2.38×10 ⁸
Hg ²⁺	80	5a ¹⁰	24.2		3.60×10 ⁹	2.41×10 ⁹
Tl +	81	5d ¹⁰ 6s ²	20.42	-2.05	5.67×10 ⁹	6.90×10 ⁹
Pb ²⁺	8 2	5d ¹⁰ 6s ²	31.93	-1.06	1.54×10 ⁹	2,24×10 ⁹

a) Kagaku Binran (ed. by Chem. Soc. Japan), Part. II.

b) A. Henglein, Ber. Bunsenges. Phys. Chem., 81 (1977) 556 耳(无格

c) Pys: 1×10⁻⁵ M 1-pyrenesulfonic acid. (并被电极的信息使用)

d) NapS: 1×10⁻⁴ M 1-naphthalenesulfonic acid.

められず、静的消光が起こっているのでしない事がわかる。

消光過程に電子粉動反応

AH* + M^{m+} -> AH* + M^{(m-1)+} JAH: 茶素液化合物(5-1)

を考えると 女応の自由エネルギー変化 aGは

$$\Delta G_{1} = E\left(\frac{AH}{AH^{+}}\right) - E\left(\frac{M^{(m-1)+}}{M^{m+}}\right) - \Delta E_{00} + \frac{(m-1)e^{2}}{E\Gamma} \qquad (5-2)$$

の式で与えられる。こで第一項と第二項はそれぞれ 神神系なが かががれるにかる 標準酸化還元電位 を表わす。また第三項はけい光状態のエネルギーレベルを、更に最後は 7ーロンカに対する 補正項を表わす。もし消光が (5・1) 式に従って起こるならば 消光速度定数 長は 消光剤である 金属の還元電位 E(Mort)/Mort)に依存するはずである。しかし 表 5・1 から 相関関係は認められず、(5・1) 式によって 消光が起こっているのではない事がわかる。

また逆方向の電子秒動反応

$$AH^* + M^{nt} \longrightarrow AH^- + M^{(n+1)+}$$
 (5-3)

の自由エネルギー変化 AGは同様に

$$\Delta G_{0} = E(\frac{M^{m+1}}{M^{(m+1)+}}) - E(\frac{AH}{AH}) - \Delta E_{0-0} - \frac{(m+1)e^{2}}{\epsilon r}$$
 (5-4)

の式で与えられる。ここで My/mm/系の標準酸化還元酸E(My/mm)は知られていないので、代わりに イヤン化までナンシャル(Ip)を用い、 たとの関係を調べて みたが、同様に相関は認められず (5-3)式に 示した 様な 電子秒動消光反応 も否定される。

以上の様に水溶液中での励起共香族分子の金

属付ンによる消光機構は、一般に励起芳香酸化合物・有機消光剤・有機溶媒系の場合によく知られている様な機構とは異なっているすのと思われる。

更に極性有機溶媒である DMF を溶媒として用い,か種類の励起芳香族分子の Agt, TTT RがPb2t による 消光速度定数を測定した。 ここで この3種の金属イオンを 選んだのは,これらが DMF 溶媒に充分溶けるからである。

得られた結果を各種100月1-19と共に表かってにまかめた。これらの結果は表かってに示した水溶液中で得られた結果と同様にいずれの100月1-19を用いてま良い相関関係を見つける事ができなかった。 Fig.5-1 には例として電子粉動反応(かり)の自由エネルギー変化ムG1と最との関係を示したが、全く相関がない事がわかる。

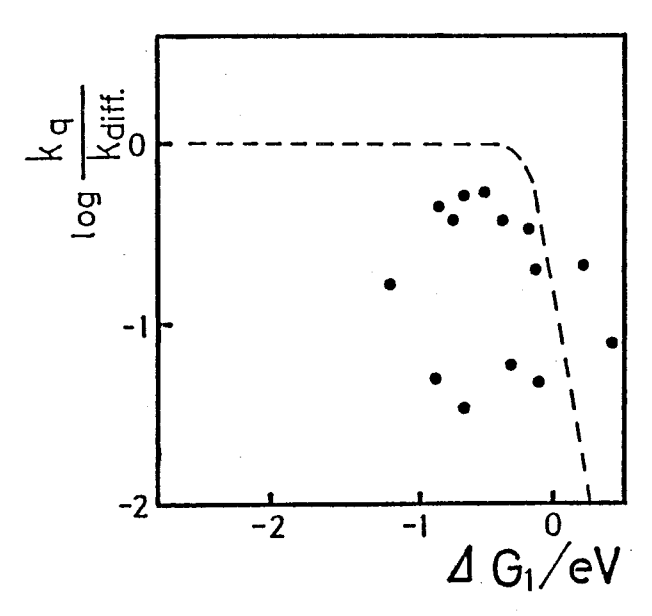


Fig. 5-1

表 5・2 DMF 溶媒中に於ける 励起芸香族化合物・金属付っ 系のけい光消光速度定数。

Aromatic hydrocarbons	Metal ions	ΔE ₀₀ a) [eV]	-E (M ^{(n-1) +} /M ⁿ⁺) b) vs. ИНЕ [V]	ΔG ₁ c) [eV]	k _q [M-1s-1]	$\begin{array}{c} & \text{d)} \\ ^{k} \text{diff} \\ \left[\text{M}^{-1} \text{s}^{-1} \right] \end{array}$
Pyrene	Ag [†]	3.33	-1.93	-0.34	4.0×10 ⁸	- P
	Tl ⁺		-2.12	-0.15	1.4×10 ⁹	
	Pb ⁺⁺		-1.60	-0.67	2.4×10 ⁸	
Pyrenesulfonic	Ag [‡]	3.30	-1.93	-0.40	9.0×10 ⁹	2.5×10 ¹⁰
acid	Tl +		-2.12	-0.21	7.9×10 ⁹	2.5×10 ¹⁰
	Pb ⁺⁺		-1.60	-0.73	1.8×10 ¹⁰	4.9×10 ¹⁰
Coronene	Ag ⁺	2.95	-1.93	0.21	1.4×10 ⁹	
	Tl ⁺		-2.12	.0.40	5.3×10 ⁸	
	Pb ⁺⁺		-1.60	-0.12	3.3×10 ⁸	
9,10-Dimethyl-	Ag ⁺	3.12	-1.93	-0.54	3.6×10 ⁹	
anthracene	Pb ⁺⁺		-1.60	-0.87	3.5×10 ⁸	
N-Ethyl-	Ag [‡]	3.49	-1.93	-0.86	3.0×10 ⁹	
carbazole	T£ +		-2.12	-0.67	3.4×10 ⁹	
	₽b ⁺⁺		-1.60	-1.19	1.1×10 ⁹	

- a) Energy level of the fluorescent state of aromatic hydrocarbons.
- b) These values were corrected for a difference of solvation energy between water and DMF. (半液型化)
- c) See eq. (5-2) (煙準酸化還元電低の値の代わりに半液配位を使用して計算)
- d) The diffusion-controlled bimolecular rate constant. This value for other aromatic hydrocarbon is $7 \times 10^9 \text{ M}^{-1} \text{s}^{-1}$.

5-3 室素レーザー ホトリシス結果

 E^{0} Lつ、 $1-E^{0}$ Lつスルホン酸、コスシ、9,10-EX4ルアようセンスが N-I4Lカルルッグール の名芸香被化合物 に DMF 溶媒中で消光剤として A_g^{\dagger} 、 TI^{\dagger} 並びに $Pb^{2\dagger}$ も添加 (た系に関して、窒素レーサー も 励起光源として ホトリシス も行ない 過

渡吸収スペルルを測定した。この際金属塩を添加する事により、コロネン・Pb2+系では消光度を5%, 9,10-ジメ4ルアントラセン・T7+, Pb2+系で消光度の%, すた更に他の系では90%以上の発光を消光させた条件でホトリシスを行なった。これと同時に比較の為に消光剤を添加せず苦香族分子だけの系についても測定を行なった。

DMF溶液中でピンも ルレザーホリスすると、三重項の週渡吸収スペケルが得られる。 すた同時に二光子吸収による光イン化が原因と思われる ピレンカイナント・トずかに観測された。

ピレンに Agt, TT 村くは Pbt も加えた系では、カイオン吸収の増加は認められず ピレン三重頂吸収の増大が認められた。この事から ピレン・metal 間の相互作用により 三重項が 生成しているのがわかる。

同様の結果が、1-10してにない酸-Agt, TT、Pb2tコロネン-Agt, TT、Pb2t 及が 9.10-ジメ4してようセン・Agtのそれぞれの系の場合にも 認められた。 即ちこれらの励起芳香族化合物 と金属イオンの相互作用により 芳香族カイオンは生成せず、 芳香族 三重頃が 住成している事がわかる。

古木芳香族化合物に N-エ4ルカルドゲールを用いた場合では、 Tit を添加した時は guencher-free の場合と比べ 三重項の住成量が増大している。しかし Agt 添加系では 三重項吸收(極大波長 425mm)と N-エ4ルカルドゲールカイナン吸収(極大波長 780mm)の両着が観測された。そしてPb2tを加えた場合は三重項が観測されず、カイオンのみが生成しているのがわかる。

以上の結果を表かるにすとめた。この表には水溶

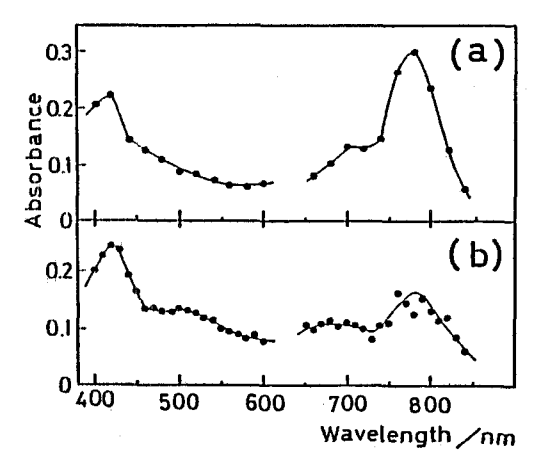
表 5-3

Hain transient species formed by fluorescence quenching as revealed by N_2 gas laser photolysis system.

Transient species	Solvent	Fluorescer	Metal ion		
The triplet state	Water	sodium pyrenesulfonate	Ag Tt Cs Pb Sn+		
	H,H-dimethylformamide	N-ethylcarbazole	Tt [†] , Ag [†]		
		9,10-dimethylanthracene	Ag [†]		
		coronene	Ag ⁺ TL ⁺ Pb ⁺⁺		
		pyrene	Ag ⁺ Tl ⁺ Pb ⁺⁺		
		sodium pyrenesulfonate	Ag [†] TL [†] Pb ^{††}		
	Ethyl alcohol	pyrene	Ag [†]		
		chrysene	Ag [†]		
		coronene	Ag [†]		
		phenanthrene	λg [†]		
		1,2-benzanthracene	Ag [†]		
Cation Radical					
	N, N-dimethylformamide	N-ethylcarbazole	Ag [†] Pb ^{††}		

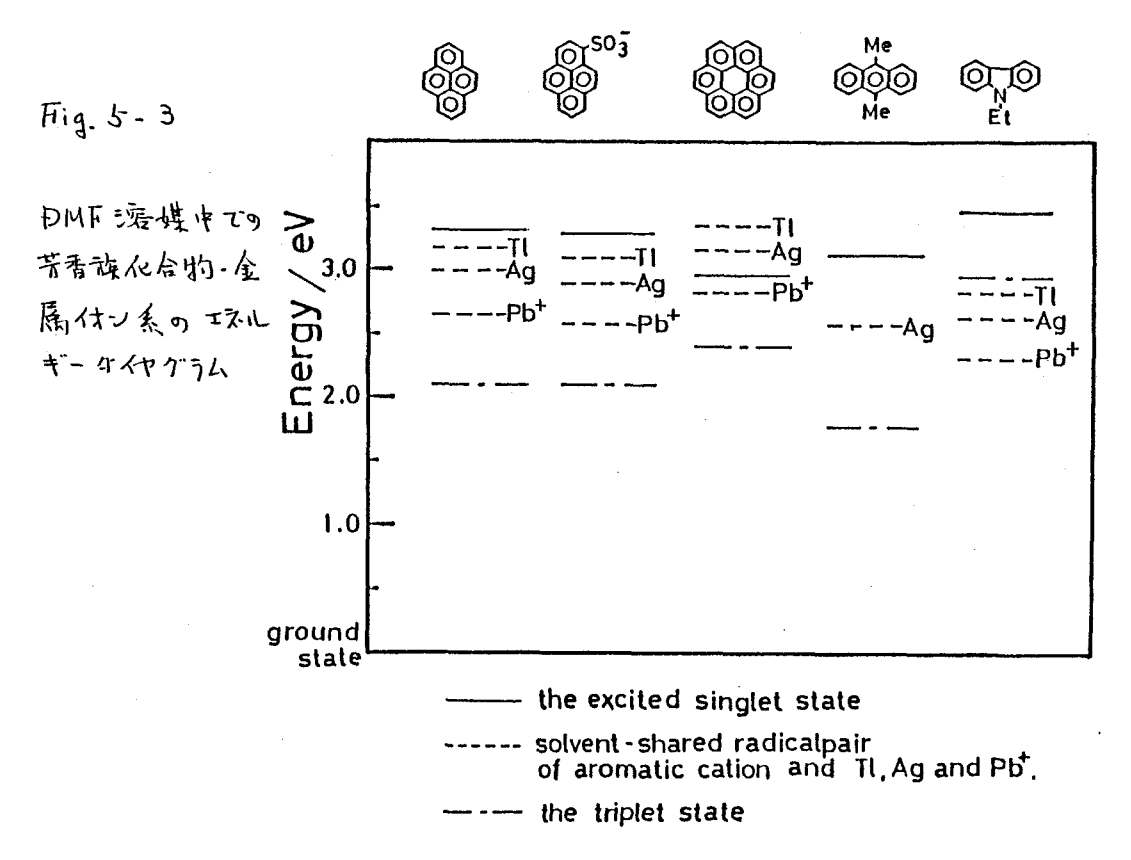
Fig. 5-2 DMF 矮塊中で得られた N-I4ルオルドリール系の過渡 切りスペイル

- (a) Ag 消光剂,励起後 1.4. 科
- (b) 刊"消光剂,励起後350m制



液中ヤエチルアルコール溶媒中で得られた結果もあかせて載せてある。9) 寸た過渡吸収スペルルの例として Fig.5-2には ルエチルカルルリッール・Agt, TIT 系で得られたスペットルを示す。

これらの結果は Fig.かるに示す エヌルギーなんやからんを用いれば、うすく説明する事ができる。即ち、ヒロン、トピレンスルホン酸、コマネンなが、4,10・ジメルアトラセンを励起した



場合は、金属イヤンと相互作用した結果エネルギー的に一番安定な三重項状態が生成する。

しかし N-I4ルカルドグール系の場合は、逆に三重項状態のエネルギーは高く N-I4ルカルドグールカイかと TI, Ag あるいは Pbt で形成される溶媒和された ラジカル対のエネルギーレベルの方が低い。 更に 詳しくみると、このる種の金属のうちで 一番ラジカル対の エネルギーレベル が低い Pbt 添加系では 三重項が 観測されず カイオンのみが 性成し、エネルギーレベルの低い At 系では カイオンと 三重項の あおが 性 成し、 更に ラジカル対の エネルギーレベルの低い At 系では カイオンと 三重項の しべし と ほとんど 同に Tit 添加系では 主に 三重項が 性成して

いる。この様に溶媒和ラジかけのエスルギーレベルが三重頂のレベルに近ずくたつれ、住成種がカイオンから三重項に変め、てくる事がエスルギーレベルの芳え方でよく理解できる。

5-4 ピッフもりレーガーホトリシス結果

Fig. 5.4 には DMF溶媒中で得るれたからしてスルホン酸の過渡吸収スペクトルを示す。このスペクトルは耐起直後からかれ動後すでほとんど変化がなく、また置換基がついたヒーレンの一般的な Sm ← Sn 吸収スペクトルと例でいるので、からレスルホン酸の Sm ← Sn 吸収と判断できる。

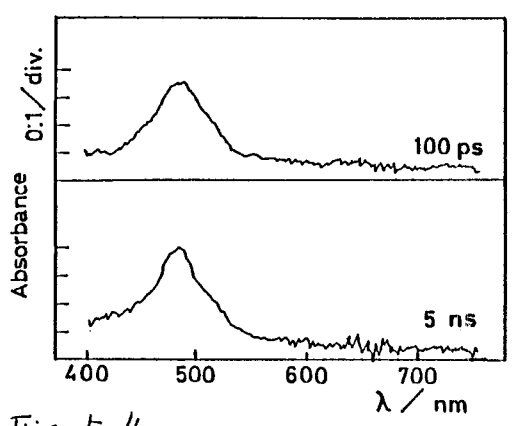
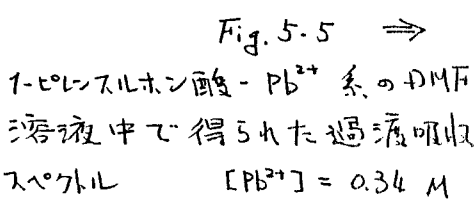
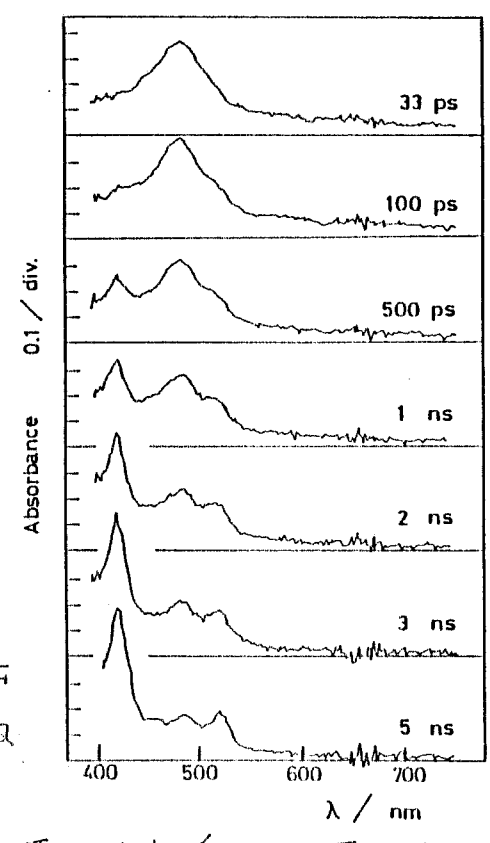


Fig. 5-4

DMF 溶媒中で得られた 1-ピレン
スルホン酸の時間分割 吸収スペ
クルル





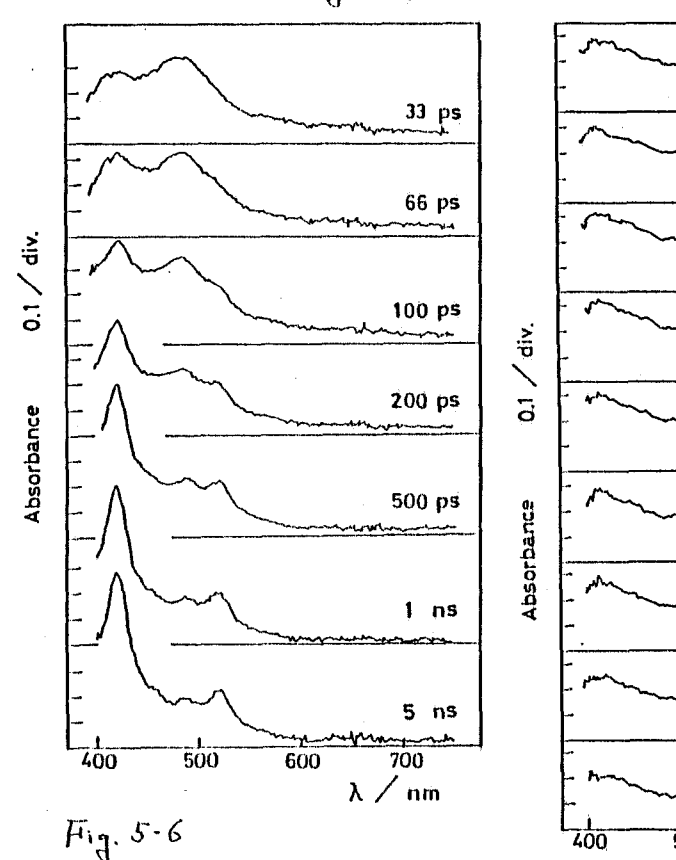
消光剤としてPbtを添加した系ではFigs-かに示す様は過渡吸収入の外にが得られた。励起直後のSn+Sn
吸収入の外にが時間ととはに変化してゆき、励起後かが動後には420 mmに吸収極大のある特徴的なスペルに変めった。この吸収スペルルは Nzレーザーホトリシスで ナン サーマイクに サの遅延時間で 得られた 過渡吸収スペットルと用して、1・ピレンスルホン酸の Tm+ Ta 吸収である事がわかる。

消光剤に Agtを用いた場合, 過渡吸収スペクトルは Fig. 5·6の様になった。 Pbt 添加系の場合と同様に励起されて生した Sm←Sn 吸収スペクルルが時間ととけにTm←Tn 吸収スペクトルに変化してかくのがわかる。

またこれろの ちゃくら 明ススペクル すが 遅延時間が

短い場合の Tm ← Ti 吸収スペかれはいずれま、Fig.5-4に示すguencher freeの場合や Fig.5-5 の Pb2 添加系に吐べて、プロードになっている。 更にこの Tm ← Ti スペクトルは 励起後500 p 秒~ 1m 秒 と時間が経過するにつれ シャーフ になってゆき、最終的には Pb2 で観測なれたのと同じスペクトルに変化した。

一方 Fig. 47には芸香族化合物に N·エ4ルカルドゲール



T・ピレルホン酸・Af系の PMF溶媒中で得られた 週後可収スペクルレ [At] = 0.62 M

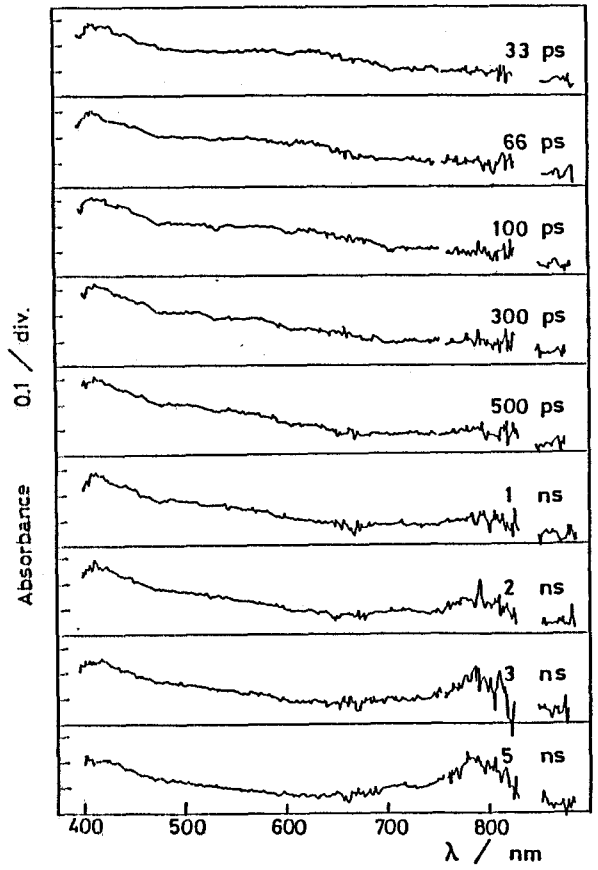


Fig. 5-7

DMF 海媒中で測定した
N-エ4ルカルバリール- Agt 糸の
過渡叫収スペクトル [Agt]=0.61 M

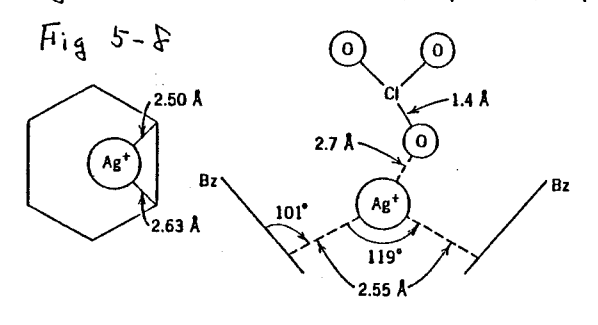
を属けっに Agt をそれぞれ用いた系について 得られたピコ粉 時間分割 吸収スペ外儿をます。 630mm ピークの 5m ← 5m 吸収 から 410 mm 附近に極大のある Tm ← Tm 吸収スペ外ル へ変化して中くのが観測された。この場合し かピレンスルホン酸 - Agt 系の場合と同様に Tm ← Tm 吸収 が消光剤添加のない時 として ブロードになっているのがわかる。 そして 励起後 2m をかから 5m 秒 人と時間の 経過に伴れて Tm ← Tm 吸収が減いするのと 同時に 760 mm ピークの吸収が増大してくるが,これは ルエイルルバゾールの 三重項状態が, それよりエネルギーレベル的に安定な ルエイルカルドゾールカイナン の を放 と 麦んして やく 過程を直接観測する事ができた。 またこの事は ナ) 秒 へてイクロ 時間 領域の 過渡吸収スペクルル 測定により ル・エイルルにゾールカイナンの 存在が 認められたという 実験事実とよく一致している。

5-5 無けい光性錯体形成による消光の機構

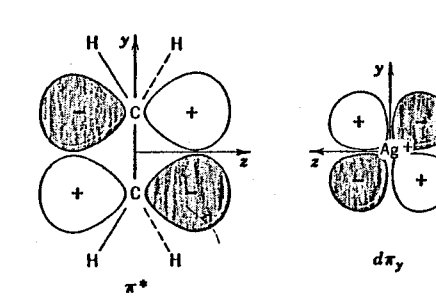
ルよのレーザーホーリス法による時間分割吸収スペリルの測定から、松性溶媒中に於て励起芳香凝化合物を閉設重金属付ンで消光した下際には、スキームかイルます様な機構によって反応が進行する事がわかった。

即ち苦香酸炭化水素の励起一重項状態と相互作用した問題重金属イプロは transient complex 1(AH·MM+)*を経てその complex の三重項状態である 3(AH·MM+)に変化し、更にその後問題としている系に於てエネルギーレベル的に一番安定である芳香酸化合物の三重項状態やカイオンが性或する事がわかった。

ここで transient complex 1(AH·Mmt)*ヤ 3(AH·Mmt)の根拠としては、Fig.5-6 Rが Fig.5-7に示す様に Ag と相互作用させた 芳香族化合物の Sm ← Sq 吸収 や Tm ← Tq 吸収はずでロードニンがも起こしている事実があげられる。この事は芳香族化合物の基底状態と Ag 等の金属インで形成される Two Way Charge Transfer Complex の考え方にまとずいている。ここで Two Way とは Ag の 4d 原子動造から 芳香族化合物の lowest vacant MO に 電荷が 科動 すると、同時に芳香族の T-MO から Ag の 55原子車が道人 back donation が起こる事を指している。この Two Way Charge Transfer は 金属インが Hg で , Tit, Cd 等の 場合でも起こり易いと言われている。従って Sm ← Sq 吸収 で Tm ← Tq 吸収のでロードニンがが Pb に 添加 場合に起こらず、Ag 添加の 場合に 観測された事は、納得できる。



X線解析により得られた Ag·Bz·cloq 結晶の構造



Atとエイレン間の相互作用に関与する電子軌道

(with t ref. 62 5"))

また Fig. 5-7 からわかる様に、苄香族化合物のカ 三重項状態 3(AH·MMT) B至3AH から 住成しているの であって, AH*と M** が、電子物動相互作用により直接形 成生れる transient ion pair (AH+· M(m-1)+) から性成するのでは ない事が明らかとなった。この事から Fig. 5.1に示す しなと 4Gの関係は、電子科動消光反応に対し子根されるわって はなく、相関を持たないという事実が理解できる。

ママ 苦香梅化合物の励起一重項状態からの 頂間支美による 三重項状態の性成は、 金属付ン添加に よって促進されている。この項間を差の促進は、Mullikenら により動告されている様に金属付っ Mmt が 芳香瓶岩化水素 内に隣接する炭素原子の下結合軌道上に存在し(下すからの)。 その結果励起一重項状態と三重項状態との間に働くて じン 軌道 相互作用

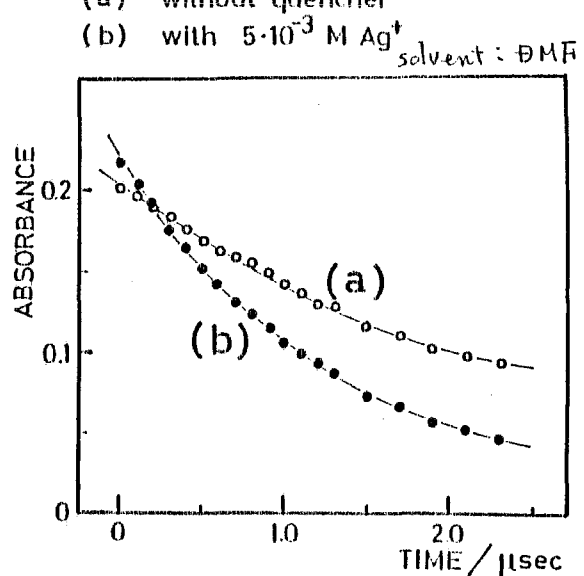
 $< \frac{1}{(AH \cdot M^{M+})^*} | H_{SD}|^3 (AH \cdot M^{M+}) >$

o matrix element が損大 する事から起ふたものと思 われる。

またこの1AH*に定属 付いが作用して BAH 人の頂間 を差す。促進させるという事は、 送に3AHに作用した金属イ オンが基底状能への項間 な差による失活の速度を増 大させているという実験事 実 (Fig.5.9) からも うなず ける。

Fig. 5-9 Decay curves of the triplet N-ethylcarbazole

> (a) without quencher



尚この様は transient complexの形成を経て消光が起こるという機構は、Watkinsにより報告された励起芳香族炭化水素と ハロケンヤニオン、NO3 あるいは CN5 等の無機消光剤とで形成される短寿命中間体を経る消光機構(3),64),66)と類似にいる事を最後に補足してかく。

第6章 モリブデンクラスターの励起状態

6-1 はいめに

金属クラスターとは3個以上の金属が互いに金属ー金属結合により外面体などの骨格を形成している化合物群の総称である。 最近この様な金属クラスターは すぐれた触媒活性や、特異的な物性からよく研究がなされている。

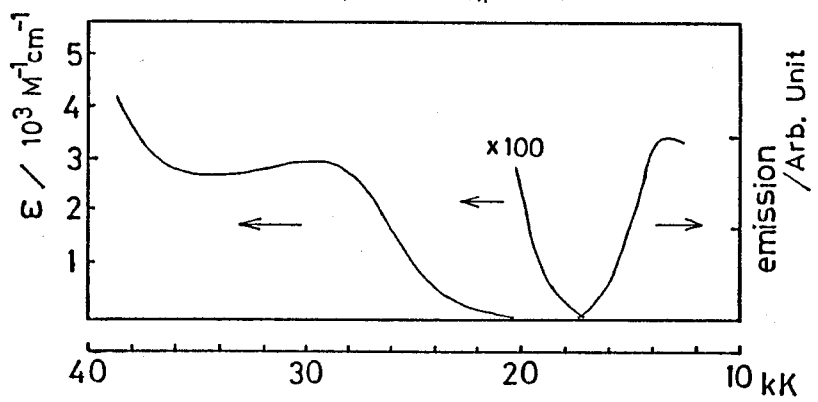
光化学及応初期過程という研究分野から見ても,この金属クラスケー 冷すの励起状態の解明は,有機芳香族化会物の励起状態、更には中心金属を1つ持つ錯塩の励起状態との類似点や相異点を通じて,分子の励起状態の性質を体系がける上で重要であるう。

ところが、これらの金属クラスターは精製がなずかして、また emission を発する励起状態が存在し、光化学的な測定の可能なかるをながす事は 更に困難である。本章では大阪大学基礎工学部 斎藤研究室で合成されたモリブデンクラスターの励起状態について報告するが、このクラスターはこれらの条件を満足する数少ない化合物の一つである。

6-2 Mo6 Cly2-の 最低励起状態

Fig. 6-1 の吸収スペかしと発光スペかしを比較してみると、17.3 kK (~560mm)を対称軸として鏡像関

Fig. 6-1 DMF溶液中 MO6Clipの吸収及び発光スペクトル (発光スペクトルは補正済)



係が成立してかり、20kk(\approx 500nm)附近の吼収($\epsilon\approx$ 30 M^{-1} cm⁻¹)が 発光に対応している様に思える。しかし H.B. Gray らによって ϵ 60 M06 Cl_{14}^{2-} 結晶の 吸収スペクトル測定より、590nm 附近に $\epsilon\approx$ 0.5 M^{-1} cm⁻¹ の弱い 吸収帯が報告されている。この分子吸光係数から予想される 発光寿命と発光寿命 電測値との関係は 発光量子収量を芳慮に入れると ナーゲー的に 一致している。

従って最低励起状態は基低状態より590mmに相当するエネルギー(ペリトK、ペ21eV)だけ高い位置にあり、AEDOはペ21eVである事がわかれた。 F.A. Cotton らの計算によるとの)、 Fig. 6·2 の MO ゲイヤケラムに示される様に、Mo·Cl 反結合性の HOMO と Mo金属原子軌道の寄与が大きい LUMO との間には 約21eVのエネルギー差があるとされている。これらの間の選動が金属クラスター Moo Clainの良い一致が みられた。

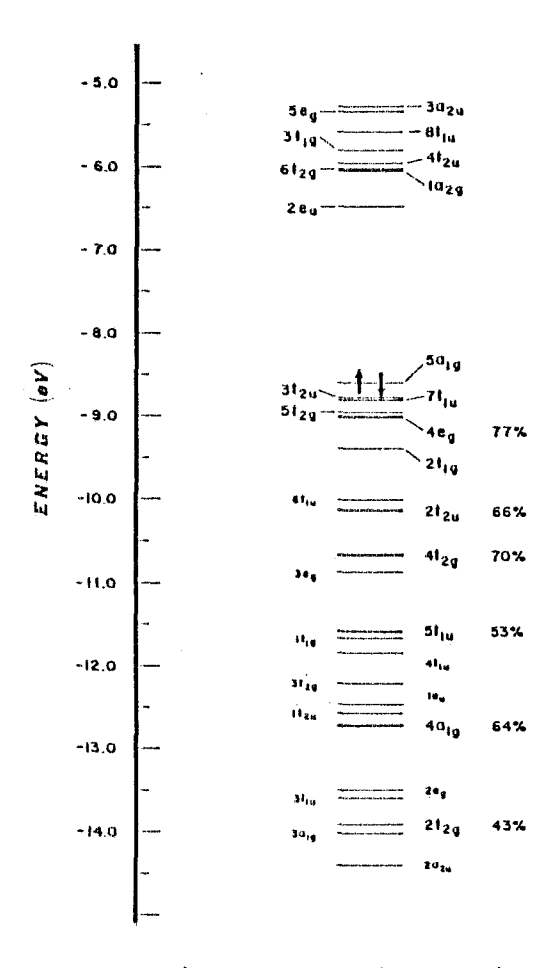
また分子吸光低数の大きなから、これらの間の 遷移は禁制であると考えられる。また発光寿命をDM F溶媒中で測定すると約85月秒と非常に長寿命であ



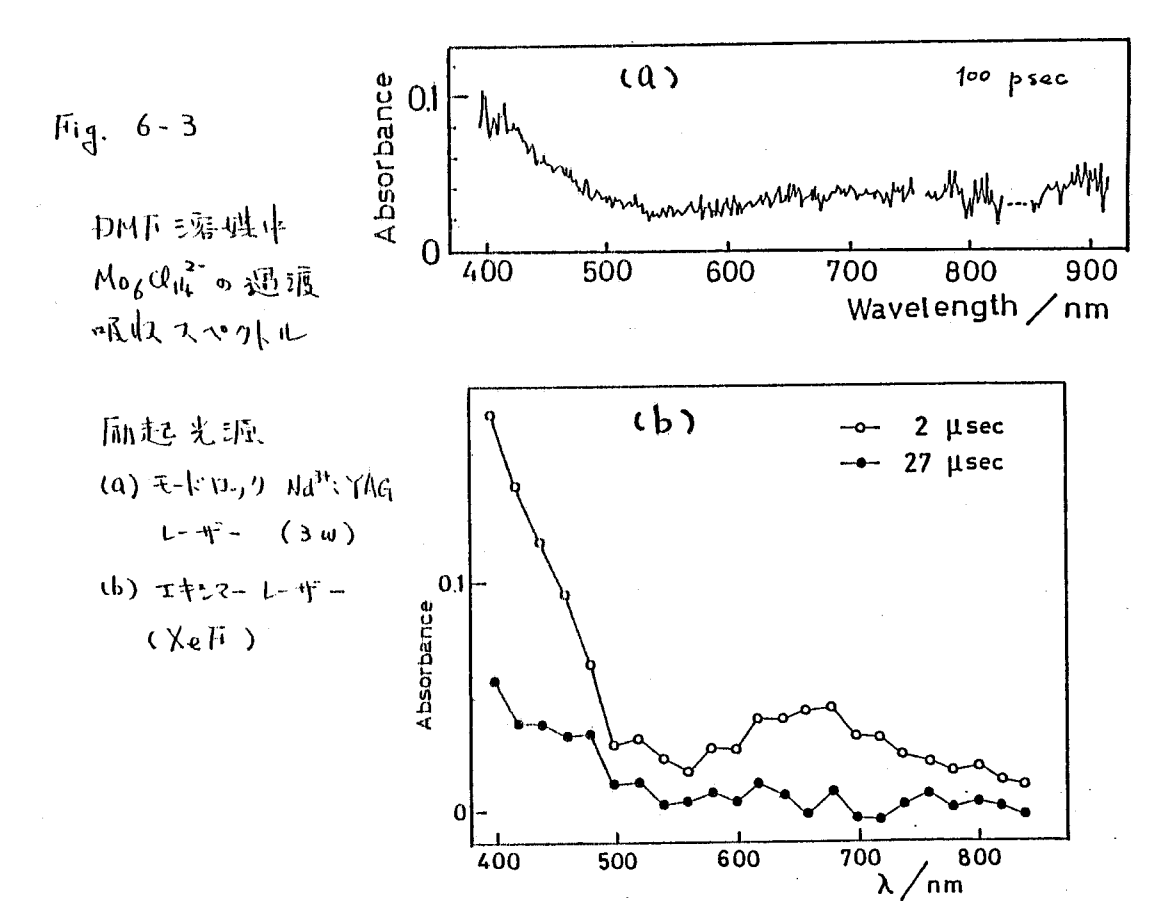
SCF Xa SW MO diagram for Mo $_6$ Cl $_{14}^{24}$ showing uppermost valence region. Percentages are given for the major Mo-Mo bonding orbitals and refer to the molybdenum character in that level. The highest occupied orbital is marked by arrows. The $2t_{1g}$, $1t_{1g}$, $4t_{1u}$ and $3t_{2g}$ orbitals are primarily chlorine lone pair character with less than 10% Mo contributions. The rest of the orbitals have Mo characters ranging from 15% to 35%.

る事がわかれ、従ってこの選 物が禁制である事はほぼすちがいのない事と思われる。

励起状態の過渡吸収スペクルを測定する為に, フラッシュランプ 励起色素レーザー を用い 423 mm のレーザー光を発振させ ホトリシスを行なったが, 過渡吸収は翻測できなかた。



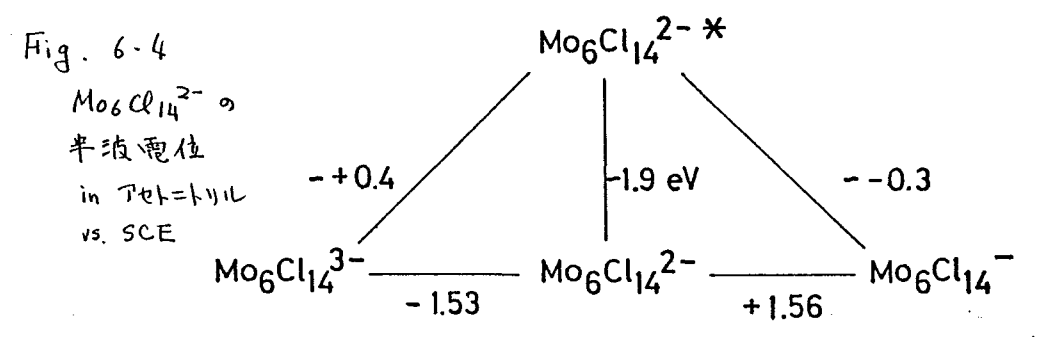
更にエキシマーレザー励起によりこの過渡吸収の減衰を測定すると、寿命がもMF溶液中で42.4川利、でいニトツル溶液中で34.2川村の準一指数関数で減衰する事がわかった。これるの寿命は、発光寿命を5川村(もMF)



と比べると短い。後、てこの明収は発光状態のものではなく、光励起によって起こるクラスター分子からの電子放出によって生したMoc Clu のものであるうと予想せれる。この事はHOMOが反結合性であり、電子放出が起こると分子軌道的に安定するというCotton らの計算結果のからも支持される。

6-3 電子粉動消光

金属 1ラスター Moo Cly 4 名の 半波電位は H.B. Gray らにより 報告されている 660。 数値は Fig. 4-6 に まとめてある。これらの数値から、この金属 1ラスターの発光は 電子受容性 及



が供与性いずれの消光剤によっても電子物動消光される事が予想される。事実 H.B. Grayらは、電子受容性消光剤である TCNE と MV²⁺ 誘道体での消光を報告している。⁶⁶⁾しかしこれら電子受容性消光剤は 種類もかなく, 系統的な研究には 向かない。 本物では 種類の 豊富な 電子伐与性消光剤で 消光させて 発光消光の速度定数 たる を測定した。

海媒に DMFを用い,各消光剂による消光速度定数を,消光剂を添加した場合としない場合の発光強度に Iof を測定する事により 我的た。得られた Stern-Volmer ついい、の例を Fig. 6-5 及び Fig. 6-6 に示す。他の消光剂の場合も、これらの例と同様に良い直線性を示す。

得られた結果を表もしてまとめた。またそれらの総

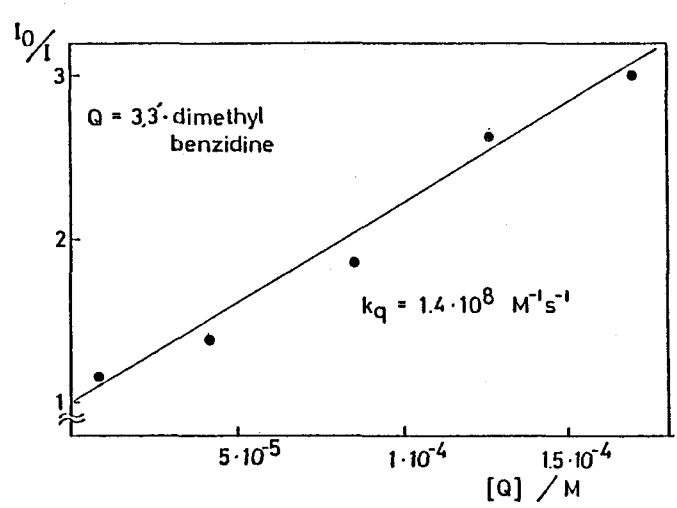


Fig. 6-5
「励起 Moodly - 3,3'-ジメ4ル
ベンジジン系の PMF溶媒
中に於て得られた SternVolmer 70ロット

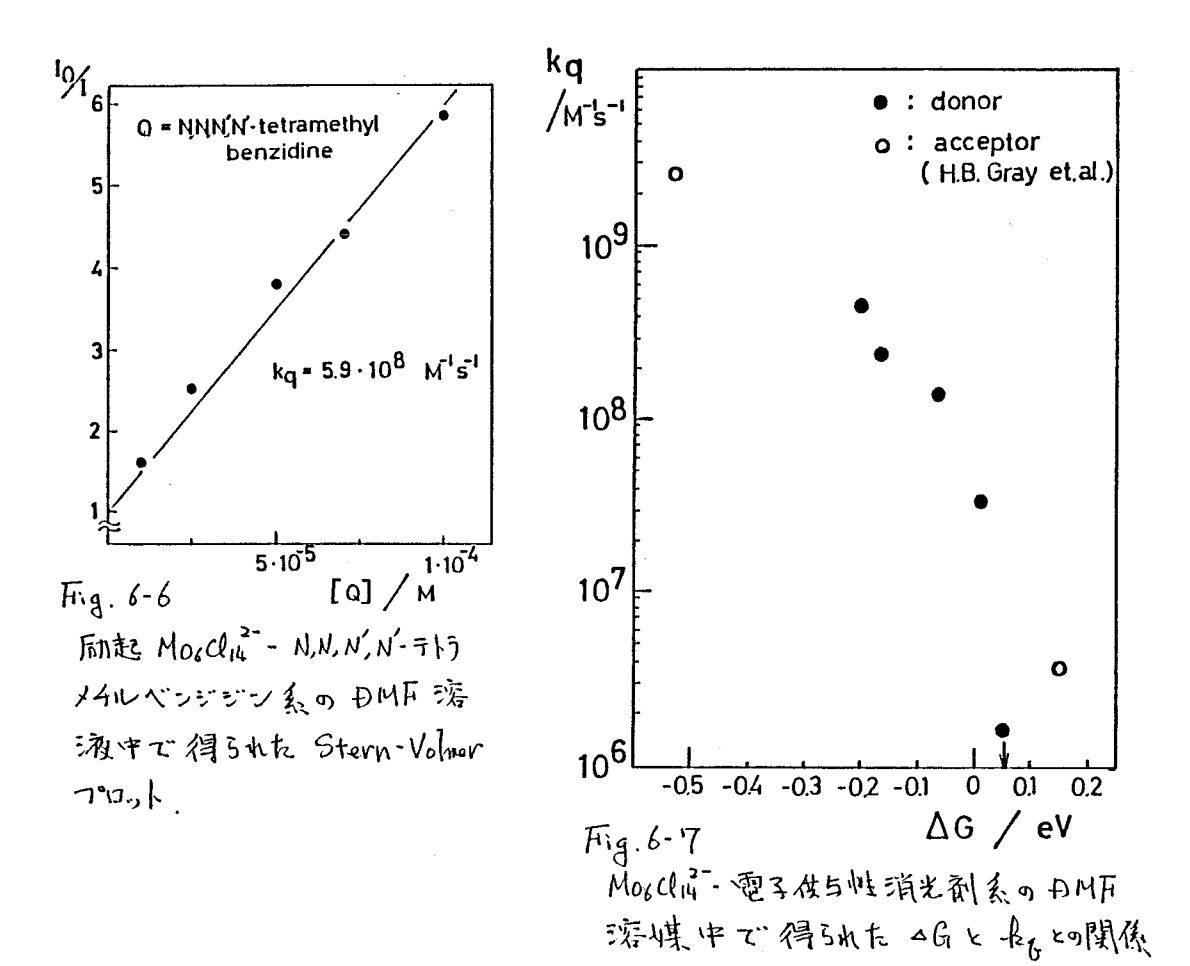


表 6-1 Mo6 Clist - 電子使与性消光剂系の DMF 溶媒中で得5小た 光光消光速度 定数 七 (EY 値の Per)

Quencher (D)	E _v (^D / _D +) eV	kq M ⁻¹ s-1
N,N,N,N' - tetramethyl benzidine	0.32	5.9 · 10 ⁸
N,N' - diphenyl - p - phenylenediamine	0.35	2.4 · 10 ⁸
3,3'- dimethyl benzidine	0.46	1.4 · 10 ⁸
phenothiadine	0.53	3.4 · 10 ⁷
1,4 -diazabicyclo [2,2,2] octane	0.57	< 1 · 10 ⁶

果を電子物動消光を応の自由エネルギー変化 4G に関して 7°ロットすると Fig. 6-7の様になった。尚モリブデンクラスター M2つの励起状態と消光剤 Q との間で起こる消光及応

$$M^{2-*} + Q \longrightarrow M^{3-} + Q^{\dagger} \qquad (6-1)$$

の自由エネルギー変化 AGは、

$$\Delta G = E(Q/Q^{+}) - E(M^{3}/M^{2}) - \Delta E_{00}(M^{2-*}) - \frac{3e^{2}}{Eq}$$
 (6-2)

の式を使い、Fig.6-4に示した数値を用いて求める事ができる。ここで E(P/a+) Rが E(M³/A²) は それぞれ の分、M³/A²の系の標準酸化還元電位(特電位の値を使用)を、寸た △E_{ao}(N²⁻⁴)は M²⁻の 発光状態と基底状態のエネルギー差を表わす。 すた 最後の項は クーロンカに関する補正項である。

得られた。おなと AGの関係は 有機芸香瓶化台物の 励起一重項状態と 有機化合物の消光剤との間で一般に知られている関係33)と同じであった。

しかしより厳密に観察すると、2Gの増加に伴なう。根の減少は、2df、33に示すれる様な励起一重現状態の場合とは異なっている。例えば励起一重現状態の場合では 2G=0に於ける長値は振散律速速度定数に比べ 1 桁小せいのに対し、Fig. 7-6 は 2 桁小せくり、ている。 また 2G 20 附近での 2Gの変化に対する長値の減少量は励起一重項状態と比べゆるやかである。

これらの傾向は色素三重項-消光剂系33)や本論文第4章で得られた金属錯体-消光剂系とよく類似している。 色素の系に於ける 水gと 4Gとの関係は、三重項消光の場合に得られたものであるし、金属錯体の発光状態も三重項であった。 きた 今回測定した モリブデンクラスターも、

6-2 節に述べた様に発光は恐らくスピン禁制である。後、て長と4Gとの関係は、消光を受ける状態と基底状態との間の遷移が許容か禁制かによって規定されるのではないかと思われる。

しかしいずれにせる、複雑な構造を持つりラスター69) ト 吸収と発光に鏡像関係が成立する事や、強い紫外部のレーザー光を照射する事により光付これが起こる事、電子供与体及が受容体によって電子移動消光する事などを考えると、有機芳香族や金属錯イオン等の小さな分子の場合とあまり変わらない挙動をとる事がわかった。

第7章. Fu(fod)。 彩光的 消光機構

7-1 HUBIC

有機芳香酸化合物の光化学及忘初期過程では励起分子が消光剤分子と相互作用してエキサイプ・レックスを形成し、エキサイプ・レックスけい光を発する場合がある事がよく知られている。

一方無機化合物の場合,本論又第4章及が第5章では,大又ミウム錯体一消光制系及が有機共香機化合物一開設重金属イナン系のピコ み時間領域での過渡吸収スペクトルの解析を試るみ,金属原子を含む場合に放てして、る事を明らかにした。しかしこれらの系では エキサイでしゅう及 発光 は 観測できなかれた。 きた 金属錯体全般なみてす エキサイでしゅり及 発光 の 報告例 は 非常に かなく,わずかに Balzani らが Ir(phan)2 CD で ナフタレン系で DMF溶液中に かける エキサイでしゅり及 変光を short-communicationで 報告しているに すぎないで しかし 同じ ケループ による 続報 がない事や, 著者の 追試では エキサイでしゅうス 発光 観測できなから、

本章では希生類金属であるユーロピラムの1.1.1, 2.2.3.3-ヘプタフルオロ・ア、ア・ジメイル・4.6・オクタンジオナト錯体 Fu(fod)。の励起状態が消光剤かると相互作用して生ずるエキサイプレックス発光について報告する。

<u>7-2</u> 励起 Fu(fod)3 と消光剤との相互作用

Eu(fod), 錯体は,中心金属と配位子との間の分子軌道の寄与により。吸収のすそが 450 mm 位まで 広がってかり,黄色く着色している。 この吸収帯のすその部分で Eu(fod) 3 錯体を光励起すると,中心金属 Eu^{3t} \wedge エネルギー 移動 が起こり, Eu^{3t} の 50 から $9F_{J}$ ($J=0\sim4$) への 発光が観測される97,97 特に 50 $\rightarrow 9F_{2}$ 選拗である 612 mm 極大の 発光は発度が強く,測定が容易である。

この Eu(fod)。のアセトニトリル溶媒中での発光を各種の電子供与性消光剤を用いて消光させ、Stern-Volmerフロットをした。結果をFig.7-1~Fig.7-5に示す。

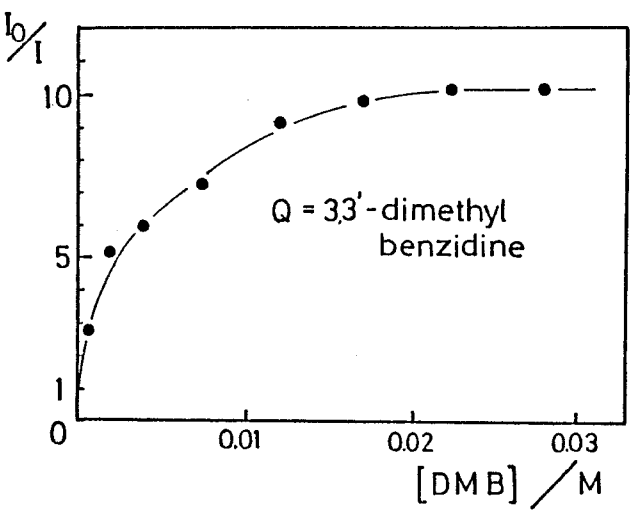


Fig. 7-1

アセトニトリル溶媒中に あける Eu(fod)3 発光の 3.3-ジメ4ルベンジジン による 消光の Stern・ Volumer プロット

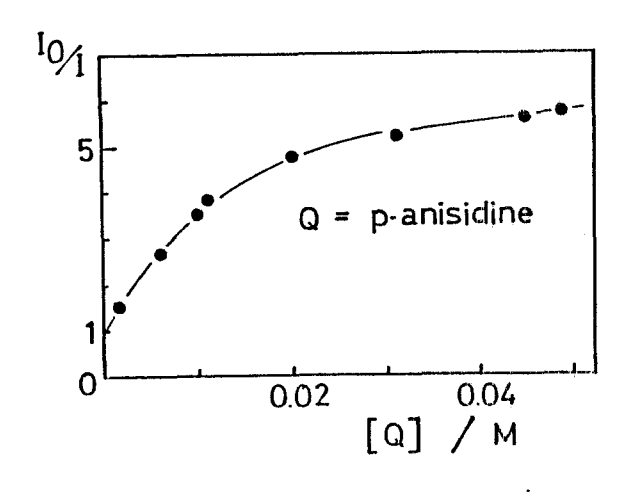


Fig. 7-2
アセトニトリル:電性中にかける Eu(fod)3 寒光のP-アニシシンによる消光の Stern-Volmer 701小

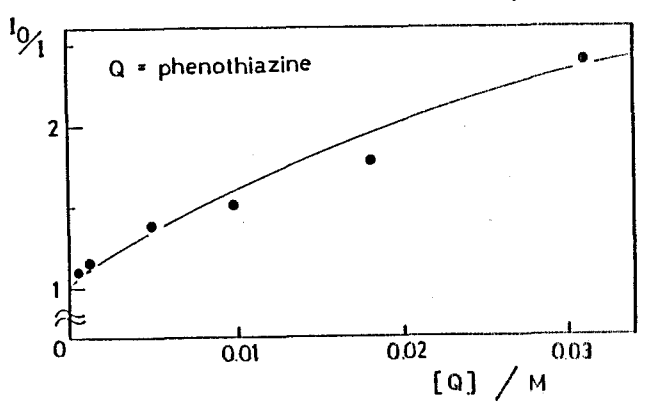


Fig.7-3
アセトートリル 演棋中における Fu(fod)、姿光のフェ14アジンによる消光の Stern-Volmer 700mk

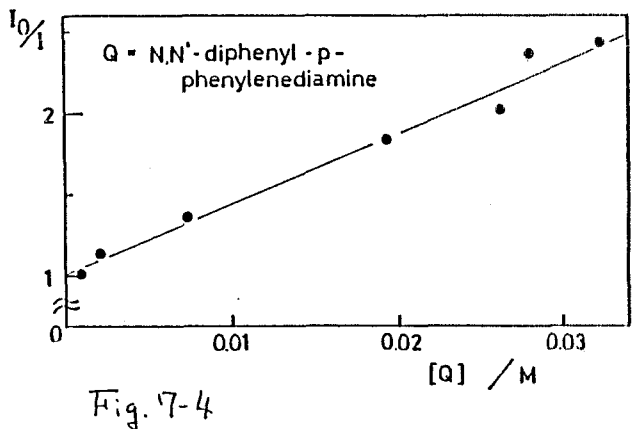
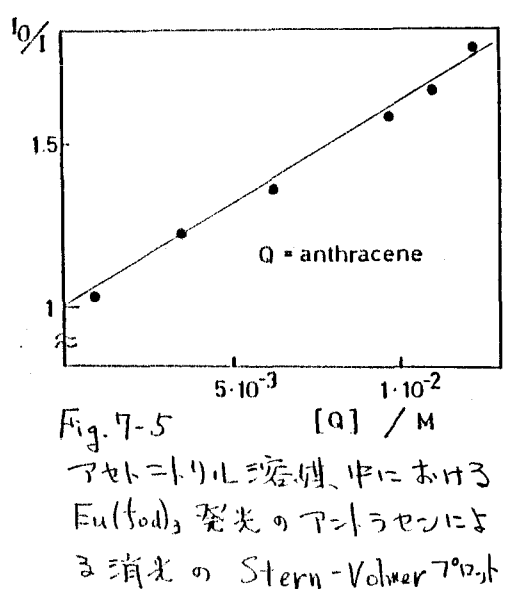


fig. 1-4
アセトリル海媒中にあける En(fod)3
発光の ルルージフェール・P-フェーレジアミンによる 消光の Stern-Volamer 7012ット



光剂分との間で静的消光が動的消光と同時に起こっている場合は,通常Stern-Volmerでいたの直線性からのずれは,消光剂濃度が増加した場合,Tofo 増加の割合が大きくなってゆき,今回認められた飽和とは逆の傾向を示す。 後って今回観測された現象は,これらとは異なった原因で起こっていると思われる。

寸たフェノイアジン消光剤系の場合は、Fig. 7-3に示した様に飽和の前非が表われている。しかしもPPDやフェトラセンを消光剤に用いた場合では、Stern-Volwerプロットが直線なのかそれともこれに示した消光剤濃度範囲が飽和曲線の低濃度部分に相当し見かけ上直線に見えるのか区別がつかない。

Fig. 7-6 アセトニトリル溶媒中, Fu(fod)3 契光の減衰曲紙。
[Fu(fod)3] = R.5×10⁻³M , 消光剂 (3,3'-ジメ4ルベンジジン)
濃茂は国中に表示した。 尚実紙は スキーム アイ
に 基づま シミュレション した結果

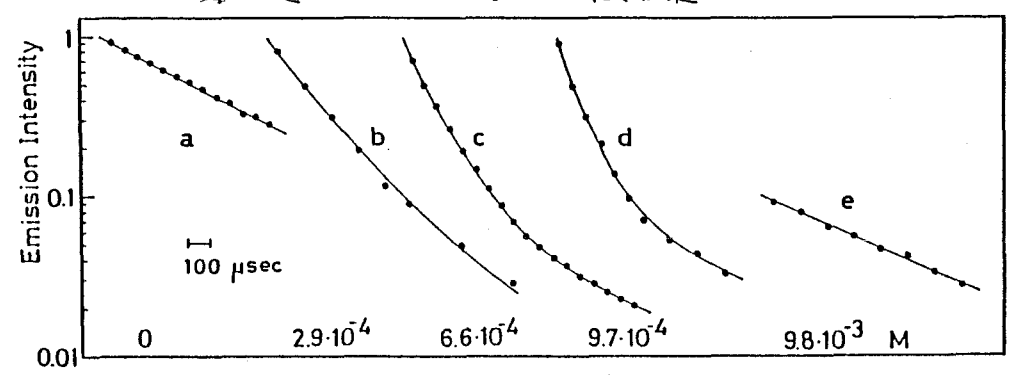
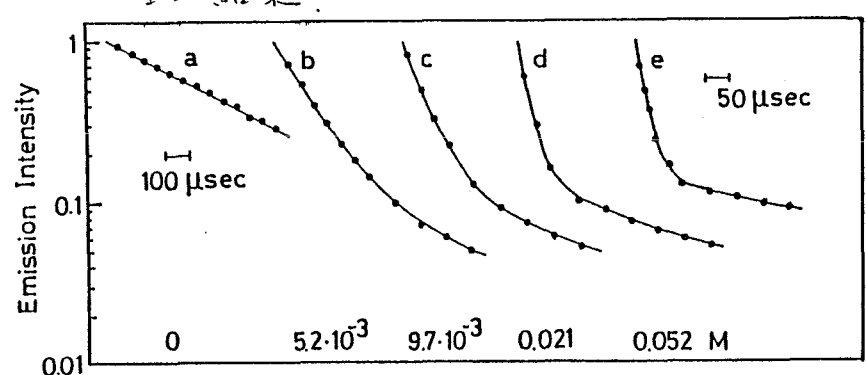


Fig. 7-7 アセトニトリル溶媒中, Eu(fod)。 ぞ光の減衰曲線。 [Eu(fod)。]= 8.5×10³H, 消光剂 (トマニション) 濃度 は国中に表示。 実線は スキームワイによる シミュレーション 結果

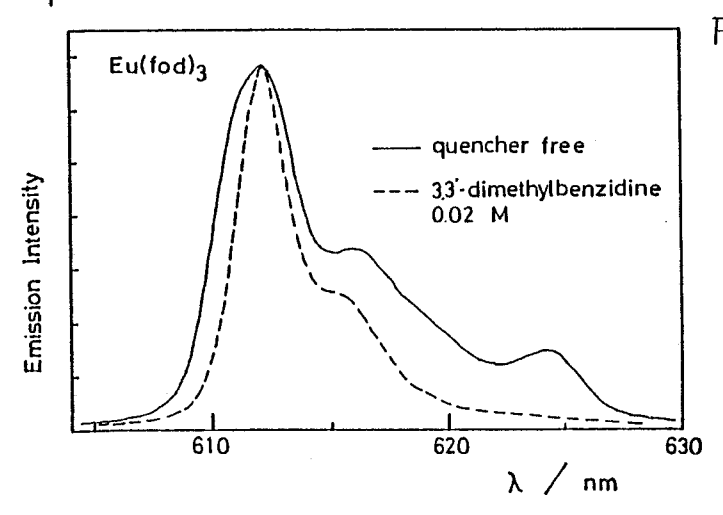


たは750 N利であった。

すた消光剤に フェノイアジン, DPPA おいす アントラセンを用いた系についても 発光強度の時間変化を観測すると, いずれの場合も 消光されるはやい成分とおそい成分の 2成分で 減衰している事が 認められた。

残危な事に消光剤濃度をかえい成分をはっきり分離し、 寿命を測定できる程度すで上げる事ができないが、これらの系の場合も 3.3~ジメイルベンジシンや p-アニシジンの場合と同様の過程で失活していると子想される。

更に Eu(fod)。 発光のスペかれを か光け、光光度計の 液長分解能を上げて 測定してみると, Fig. アトに 示す 様な 結果 が得られた。 即ち 消光剤 を添加した 場合は 無添加の場合と比べ, 発光 極大の 液長は シートしていないが, スペクル 形状 が より シャープ に変化している事がわかった。



17-3 エキサイプ・Lックスを経る消光過程

以上の結果を考え合わせると、スキームワイに示した様に励起 Eu(fod)。(M*と略記)が消光剤Qとの相互作用によって失話している事が予想される。ここで(M·Q)*はエキサイプと、クスを、また長、よ、はそれぞれ

$$M^{*} + Q = \frac{k_{1}}{k_{2}} (M \cdot Q)^{*}$$

$$k_{1} \qquad k_{1} \qquad k_{1}' \qquad k_{1}'$$

$$A^{\dagger} - L \qquad 7-1.$$

$$M + Q$$

$$\frac{1}{T} = k_{1}' + k_{1}'$$

$$\frac{1}{T'} = k_{1}' + k_{1}'$$

M* からの発光及が無輻射過程の達度定数を、すたもか、 も、は エキサイプレックス状態からの名々の速度定数を示す。 ここで エキサイプレックス 発光の スペリルは Fig. 7~4 に破線で示す 消光剤 添加した場合のスペッルしである。 た Fig. 7~1 ~ 7~3 に 示す Stern-Volmer プロットの 触和は モノマー 発光が エキサイプレックス 発光に 置き換わる事により生 したものと 茎 えられる。 更に Fig. 7~6 、7~7 に 示す 消光剤 添加した場合の 発光 減衰に みられる かそい 成分は いずれも エキサイプレックス 発光の 減衰過程に 対応していると 菜 えると

すた簡単化のために た、がかせく た、ヤルインにはか無視できるとすると、 M* Bが (M·Q)*の濃度の時間変化は それぞれ、

$$\left[M^*\right]_0 \exp\left\{-\left(\frac{1}{T} + k_1[Q]\right)t\right\} \tag{7-1}$$

及び

うまく説明できる。

$$\frac{k_1 \left[M^*\right]_0 \left[Q\right]}{\frac{1}{T'} - \frac{1}{T} - k_1 \left[Q\right]} \left[exp \left(-\left(\frac{1}{T} + k_1 \left[Q\right]\right)t\right) - exp \left(-\frac{1}{T'}t\right) \right] \qquad (7-2)$$

で与えられる。こで [M*]。は 励起 Eu(fod)3 の初期濃度を示す。 そして 発光強度の 時間変化は M*と (M·Q)*との 発光 強度 吐も Qとすると、

$$\left[M^* \right]_0 \exp \left\{ -\left(\frac{1}{T} + k_1[Q] \right) t \right\}$$

$$+ a \frac{k_1 \left[M^* \right]_0 [Q]}{\frac{1}{T'} - \frac{1}{T} - k_1[Q]} \left[\exp \left(-\left(\frac{1}{T} + k_1[Q] \right) t \right) - \exp \left(-\frac{1}{T'} t \right) \right]$$
 (7-3)

で与えられる。ここで Qの値は 消光剤が 3.3、ジメリルベンジンの場合 1/10, P-アニシジンの場合 1/6~1/7である事が Stern-Volmer つの小に 於ける飽和 Io/z値から予想できる。 すたては 500 M 新であり、での値を名消光剤を充分添加した場合に得られる 減衰曲線でのかその失活或分の寿命を用いるのが 妥当である。

さて (17-3) ずにこれらの a, T, T 値を定数に用いて, それぞれの 消光剂 濃度の条件で , 発光減衰の実測値に 最も良い カーブフィッティンか が 得られる様に ショレーションを行な, た。 実測 結果と最も良い スッティンケを与える ハ・ラナークーの 足, 値は 3,3'-ジメルルベンジシン 消光剤の場合 1×10' M's' という値が それぞれ 得られた。 すた その際の シェュレーション 結果は Fig. 7-6 , アーク に実線で デした。

ただりつの10ラナタ 長でいずれの消光剂濃度条件での発光減衰曲線をこの様に良く一致させる事ができるので、スキームワークは妥当であるうと思われる。言い探えると、金属錯体系では今までは今までは火んと、報告された例のないエキサイプレックスけい光を見い出す事ができた。

一般にピレン・ÐMA系の様に芳香神炭化水素の励起一重項状態が形成するエキサイプレックスの発光は、モーマー発光と比べ消長が長波長側にシフトしている。

しかし本章で述べた Eu(fod)3のエキサイプレックス発光は、スペクトル形状なが強度の変化は意思められるものの 該長シフトはない。

この違いは Eu(fod)3のモリマー発光及がエキサイプしゅり及そのいずれも、芳香族系のエキサイプしゅりなり、 Bu 金属内の fof 運物に帰属される事が原因だと思われる。 即ち 3つの fod 配位子のみが配位した状態の Eu 金属の fof 運物に帰属される発光がモノマー 発光に相当し、更にこの Eu(fod)3が消光剤分子と相互作用した場合に性ずる Eu 金属の fof 選物がエキサイプしゅり入発光である。従ってモリマー発光とエキサイプしゅり入発光とでは 発光液長の変化は設められず、また Eu 原子の 環境のちがいに応して両者の発光スペクトルの形状や強度の変化 並びに寿命の変化が 現われたと巻える事ができる。

第日年 Ru(bpy)が・カイナン性消光剂系の 分子集合体中にかける電子物動消光

8-1 131.1512

以前から 附謂 けい光プローでとしては イオン性の色素がよく知られてかり、 自身とは逆の電荷を持つ分子集合体の表面に クーロン引力で 吸着させて用いられていた。しかしこういった 色素は ダイマー を作り易いといった様に 偏平な 芳香族化合物 特有の性質から プローでとしての 使用に非 限定された 中のがある。 従って色素とは異けった 分子構造を 持つ 金属錯体を つのローでに用いると、か子集合体の違った側面を観測 できる可能性がある。 本幸では Ru(bpy) で なが その変光の消光剤である MVされ で Cu² は いずれき カイナン である事を利用して、アニオン性の分子集合体(ミセル、ベシケル、高分子電解質)と 水溶液との界面の 性質について 調べた 結果を述べ それぞれの違いを明らかにしたい。

<u>8-2</u> PVSK添加水溶液中におけるRu(bpy)さる光のMV2tによる消光

Fig. 6-1 に かりじこし硫酸TU)らん (PVSK)を添加した水溶液中での, 励起 Ru(bpy)さかの発光を電子受溶性消光剤 MVされて消光に大場合に得られる Stern-Volmer プ

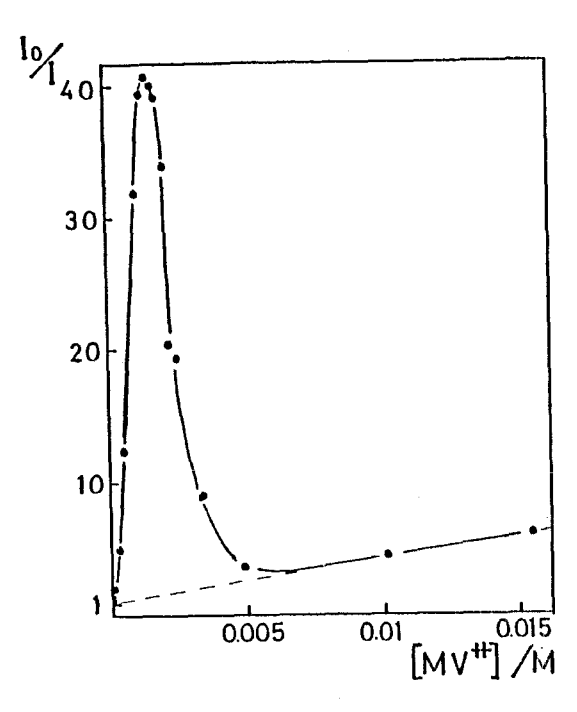


Fig. 8-1.

PVSKも添加(た水溶液けで) 得られる Ru(bpy)が-MVがなの Stern-Volomerつかか。 [Ru(bpy)が]=6×10か M [PVSK]=0.01M (monomer unit) ---- 通常の水溶液中で得 られる Stern-Volomerつのか

口小を示す。通常の水溶液中の場合Stern-Volmerつのからは直線になり、消光速度定数は ミケメ to Masil でで、 電子物動消光する事が知られている。しかし PVSKを のの1 M 添加した場合は、 Fig. 6-1 に示す様に MV2+ 濃度がたメ10-3 M の時 Iof 値が 極大値(240)をとり、更に MV2+を添加すると Tof 値は減分する。 すた MV2+濃度がケメ10-3 M 以上に Ti3と、 通常の水溶液中の場合に見られる 関係と同様になった。

この挙動はアニオン性分子集合体に吸着する事のできるカイオン分子の量に限度があると苦える事により理解できる。消光剤を添加しない条件では、カイオン性分子Ru(bpy)ずは日とんどアニオン性高分子電解なアンストできる。マニヘカイオン性消光剤である MV2tを加えてゆくと、同じくアンスト 吸着すれ、励起 Ru(bpy)ず ぞその消光は PVSK 近傍にかける 濃縮 効果のため大変効率よく起こると

思われる。しかしMV2+を加え続けるとPV5Kに吸着する余地がなくなり、余分な力イナン種は水中に存在しなければならなくなる。兄の際添加MV2+の量に応じてRu(bpy)計ト水中に放出すれ、励起Ru(bpy)計の発光の量が回復する。更にMV2+の濃度を上げるとほとんどのRu(bpy)計は水中に存在する様になる。またこの状態からの発光は同じく水中に存在するMV2+によって消光されるので、通常の水溶液中のStern-Volmerでから、目標になる訳である。

こういった考え方はアニオン性錯体の発光をアニオン性ミセルの存在下でMV2+により消光する場合、アニオン性ミセルに添加したMV2+が吸着しつくすまで発光の消光は起こらないという D.G. Whitten らの報告(3)、74)と東を一にしている。

同様の測定を高分子電解質の濃度を変えた条件で行ってみた。結果を表かったすとめ、すた Stern-Volmerついいたの一例を Fig. f. 2 に示した。これらの結果から、Stern-Volmer ついいたの"瘤"はいずれの場合にも見られ、このTo/T 極大値を与える MV2+濃度は PVSK 濃度に比例する

Peak value $(I_0/I)_{peak}$ of the lump in I_0/I vs $[MV^{2+}]$ relation as a function of added PVSK concentration.

[PVSK] M	[Ru (bpy) 3]	$[MV^{2+}]$ which gives $(I_0/I)_{peak}$ M	(I ₀ /I) _{peak}
1×10 ⁻³	6×10 ⁻⁵	1.5×10 ⁻⁴	∿40
5×10 ⁻³	**	7×10 ⁻⁴	∿50
1×10 ⁻²	'n	1.5×10 ⁻³	∿40
**	3×10 ⁻⁵	1.5×10 ⁻³	∿55

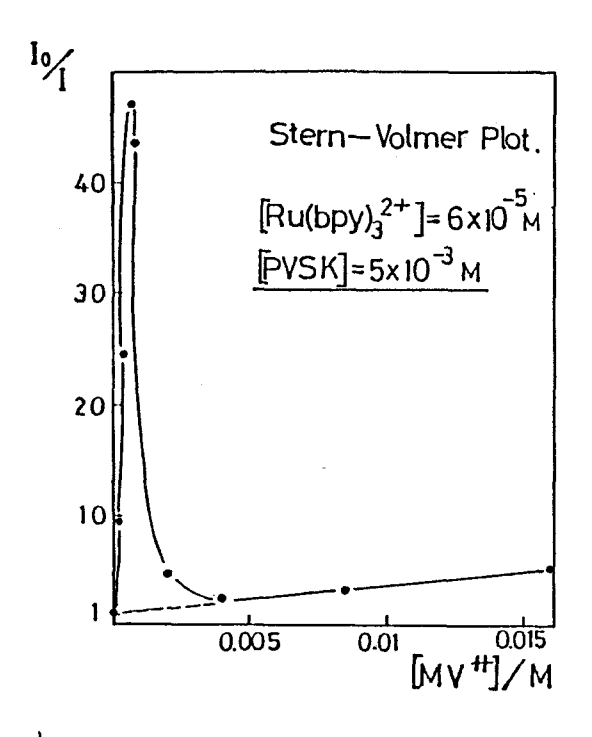


Fig. 8-2

PVSKを添加した水溶液中で得られる Ru(bpy)が-MVが糸の Stern-Volmer 7°ロット

$$[Ru(bpy)_3^{2+}] = 6 \times 10^{-1} M$$

$$[PVSK] = 0.005 M$$
(monomer unit)

事がわかった。この比例定数から判断すると、PVSK 6.7 モリマーユニットに対し MV²⁺が 1つ 吸着した状態が 勉和状態と老える事ができる。そして これ以上の MV²⁺が吸着した状態は、 MV²⁺ どうしの友発のため かえってクーレン エネルギー的に 不利となり 余分のカイオンは水中へ放出 されるものと予想される。

F-3 その他の系にかける Ru(bpy)3 発光の消光

消光剤を同じてカイン性のCutや中性のPVS。及びベングキノンに変えた場合や、分子集合体を異れた種類のアニオン性高分子電解質であるなりメタクリル酸ナトリウムや中性高分子の大りピニルアルコール、更にはアニオン性地ルSLS あるいはアニオン性べらかれるDHPに変えた場合についても同様の測定を行なった。結果を表も2に示す。

表 8-2 Results for various molecular assembly-quencher systems.

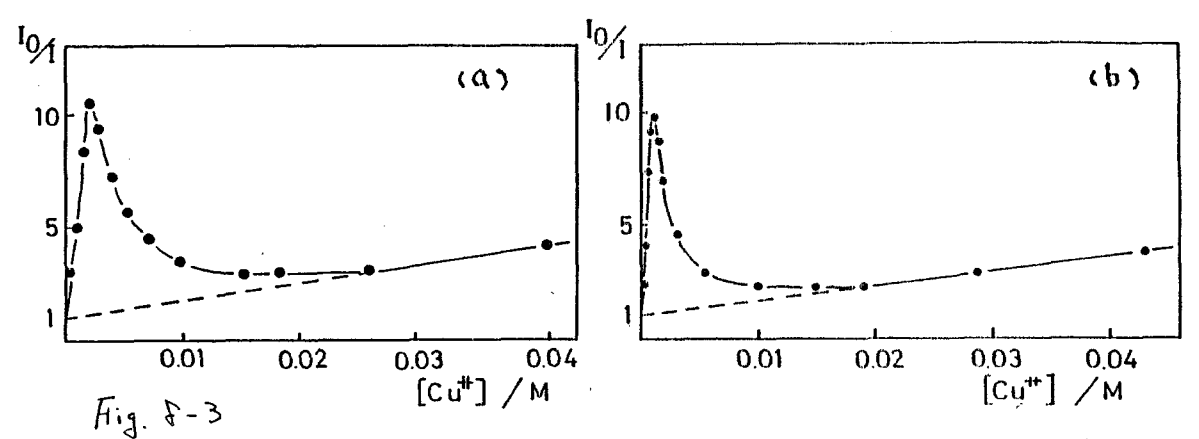
molecular assembly	[molecular assembly] ^{a)} M	quencher	[quencher] which gives (I ₀ /I) peak	(1 ₀ /1) _{peak}
PVSK	1×10 ⁻²	мv ²⁺	1.5×10 ⁻³	∿ 40
	н	Cu ²⁺	2.2×10 ⁻³	∿ 10
н	n .	во	– b)	-
u	и	PVS°	- b)	-
PVA	n	MV ²⁺	- b)	-
PMAS	2×10 ⁻³	#	2.5×10 ⁻⁵	∿ 1.4
SLS	8×10 ⁻²	н	- b)	-
NaDHP	2.6×10 ⁻⁴	н	3.4×10 ⁻⁵	∿ 3
	1.3×10 ⁻³	• .	4.1 10-4	∿ 5

- a) concentrations are given in monomer unit.
- b) no lump was observed in In/I vs [quencher] plot.

分子集合体にPVSKを用いた場合,消光剤にMV**に置換基 50分を2つつけて中性にしたPV50や同じく中性の電子设容性消光剤 ベングキリン(BQ)を使うと、Stern-Volmer 7°ロットに"瘤"は観測されなかった。またPVSKの代かりにPVAを使用した場合もStern-Volmer 7°ロットは水溶液中の場合と同じて、あった。以上の事から分子集合体中で見られる特異な消光現象はクーロン引力が重要である事が確認できる。

更に細かい点に注目すると Ru(bpy)ます。カチオン性消光剂・アニオン性分子集合体の場合です それぞれ異なった結果が得られた。

例えば、PVSK添加条件で Cut を消光剤に用いた場合, Fig. f.3 に示す様に MV2+ と類似の Stern-Volmer Toロ, k が得られるが、 To/I 極大値の大きさや その際の消光剂濃度 更には"瘤"の形がいずれも MV2+消光剤系



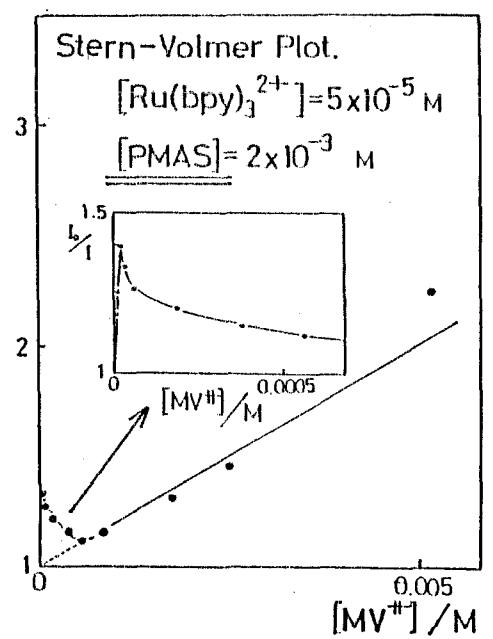
PVSKを添加にた水溶液中で得5州3 Ru(bpy)す-Cu² 系の Stern-Volmer つのか。 [Ru(lpy)す]=6×10⁻⁵ M (a) [PVSK]=0,01 M (b) [PVSK]=0,005M (monomer unit) ----- 通常の水溶液中で得5州3 Stern-Volmer フ・ロット

で得られる結果と異なっている。

尚この Ru(bpy)3 - Cui - PVSKの系に関いては、 Meiselらにより報告された結果なりと全く同様の結果であった。

また Fig. 8-4 と Fig. 8-5 として アニヤル性 分子集合体として かりメタケリル酸ナトリウムヤ Na DHP ベンクルを用いた 場合に得られる Stern-Voloner フロットの結果を

Fig. 8-4
Ru(bpy)3+-MV+系の Stern-Volmer つのにから、高分子電解ないは ホットクリル画をすりかんのの2M(monomer unit)を使用
[Ru(bpy)3+] = 5×10-5M



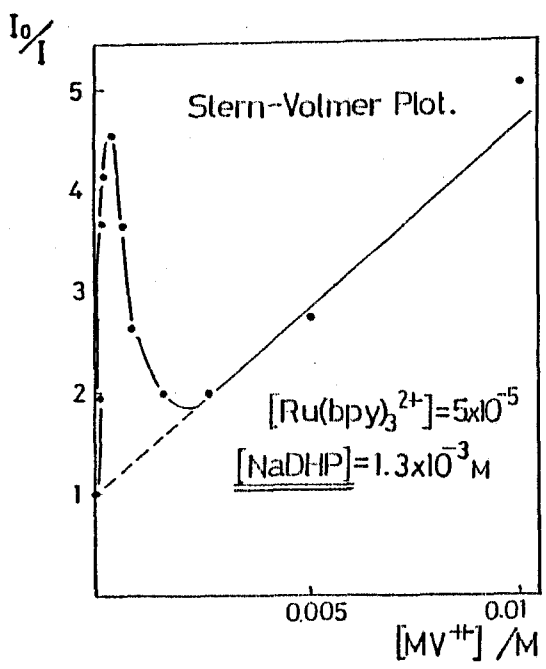


Fig. 8-5
アニオン性 ベミクル中で得るれた Ru(bpy)3-MVで系の
Stern-Volmer 701311ト
[NaDHP] = 1.3×10-3 M
[Ru(bpy)3+] = 5×10-5 M

示す。いずれもMV**を消光剤に用いた場合のデータであるが、これらトPVSKの時とはかし異なったStern-Volmerフロットが得られた。

これらのちがいは、名アニオン性分子集合体へのカイオン性消光剤の吸着のしかたが異なっているのが原因であるうと思われる。例えば、MV2+と Cu2+を比べてみると、前着は比較的大きな苦香酸化合物であるのに対し、後者は水さは金属付ンと、同い Q価のカイナンであって、性質が異なり、PVSK上への吸着のしかたが異なる事が表分差えられる。 つまり MV2+は 有機化合物であるので、金属付いて2+に 比べて PVSKの炭素鎖へのより接近した吸着が予想される。 その他 イナンの大きさのちがいた 吸着のしかたが異なる原因となるだろう。この様 は差異が 重なった結果、PVSK への明着は 6.7 もフィーユニットに対し イケ子のMV2+しか 吸着できないのに対し、 Cu2+の場合 PVSK 4かもフィーユニットに対し イケンとより例く吸着できる事がわかた。

また同じMV2+にかて考えてもPMASやNaDHP等の各分子集合体人の吸着の様子上、それぞれ分子集合体に応いて異なると子想される。 更にSLSミセルの場合はこの様は"瘤"は超測されず、通常の水溶液中で得られる Stern-Volmer つのかと同い関係が得られた。しかしたu(bpy)3+分子のミセル人の吸着は、発光スペルルの発光を加大が水溶液中では670mmであるのに対しミセル溶媒の場合630mmと長液長をつかしている事から確認できる。またMV2+を添加しても消光は起こるが発光極大は630mmから変化しない。結論とには SLSミセルはカイヤンを吸着てきるスペースが他の分子集合体に比べ大変大きく Ru(bpy)3+をMV2+を比較的自由に名のスペース中を動く事ができるので、あたかと水溶液中で起こるのと同様の結果が得られたのであるかと予想される。

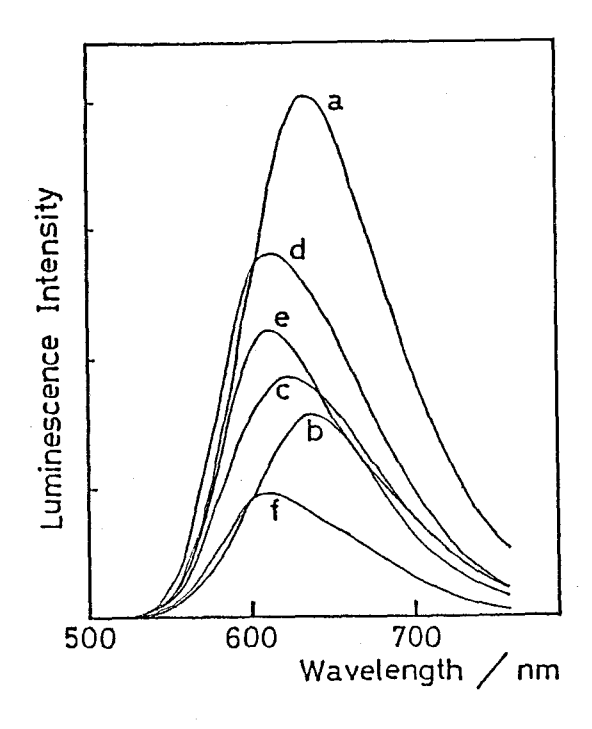


Fig. 5-6

Na-DHPも加えた水溶液中で得られる、Ru(bpy)が発光のMV²⁺添加による変化。

[NaPHP] = 2.6 × 104 M [NV=]: (a) 0

- 1b) 1.0 × 10-5
- (c) 6.1 x 10-5
- (d) 1.3 × 10-4
- (e) 5.4 x 10-3
- d) 1.1 x 10-2 M

8.4 分子集合体中でのRulbpy)3 発光の減衰曲線

Fig 8-7にモードロック Nd3+: YAG レーザーの第2高調液で励起に得るれた、Ru(bpy)3+-MV2+系の発光減衰曲線を示す。分子集合体には PVSKを用いた。(A),(B) はいずれも、添加 MV2+のために PVSK 近傍から Ru(bpy)3+の一部が 水中に 放出された 条件で 得られたものであるが、(A) は PVSK 近傍より 水中に知くの Ru(bpy)3+が存在し、逆に(B) はより 例くの Ru(bpy)3+が 存在し、逆に(B) はより 例くの Ru(bpy)3+が PVSK 近傍に存在する事が MV2+の濃度値からわかる。

老光の減衰曲線にみられる早い失活はPVSK近傍に明着されたRu(bpy)ずの発光が、同じく明着された MV2かによってなされる刻率の良い消光に対応し、から、成分は水中に存在するRu(bpy)ずの発光の減衰に対応する。 井に(A)では 発光のか名い減衰成分が例く、

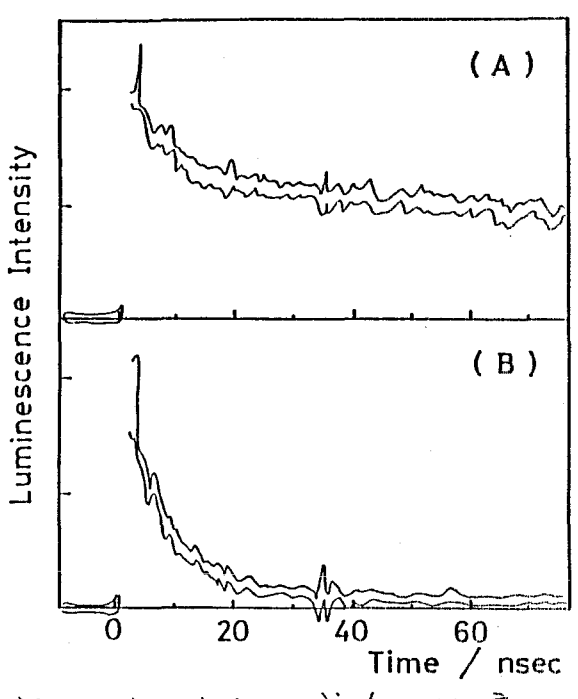


Fig. 8-17

PVSKも添加(た水溶液中で得5小た Ru(bpy)計 発光の減衰曲線

 $[R_{1}(|py)]^{2t}] = 6 \times 10^{-5} M$ $[PVSK] = 1.0 \times 10^{-2} M$ $(\Xi 1 = \Xi - 1.)$

 $[MV^{2+}]: (A) = 4 \times 10^{-3}$ (B) 9×10^{-3} M

(B) では はやい成分の比率が高いのは、いずれト PVSKに吸着されている Ru(bpy)3 と水中へ放出されて右左する Ru(bpy)3 の量に 依存しているとすれば、うまく理解できる。

すた同様のRullppy3t発光の減衰曲線はアニオン性ヤミクル MaDHPを媒体に用いた場合にも得る事ができた。

お・5 色素レーザーホトリシス結果

高台子電解質 PVSK を 0.01 M 含む 水溶液中での Ru(bpy)3+-MV2+系の 色素レザーホリンス を行ない, 分子集合体を 加えない 水溶液中の場合と比較(た。得られた 结果を 表 8-3 に きとめた。 尚いずれの場合ト過渡吸収は, Ru(bpy)3+の励起状態から MV2+人電子物動(てはした

Transient absorbance of MV⁺ generated by a electron transfer from excited Ru(bpy)₃²⁺ to MV²⁺.

solvent	[MV ²⁺] M	degree of quenching	transient absorbance of MV [†] observed at 603 nm
н ₂ о	0.0015	22	0.064
))	0.007	66	0.177
н	0.012	78	0.216
H ₂ O with 0.01M PVSK	0.0015	98	0.026
n	0.007	71	0.076
н	0.012	80	0.150

MV:の特徴的なスや外ルであった。

このMV:吸収スペ外ルのピーク語長 603 mmの吸光度にすとずる,解離(て生いたフリーのMV:の量を苦察した。水溶液中の場合は,生いた MV:の濃度が Ru(bpy)3・発光の消光ルーセントに比例する事から,本論又第4章です述べた様に収率の42 でラジカル解離し,生成したMV:を観測しているのがわかる。

一方 PVSKを 0.01 M 添加(た場合, MV24濃度が0.0015 Mの条件では 発光の9よのが消光されているにもかかりらず、観測された MV^tの量は大変少ない。これは電子移動により仕じた Ru(bpy)³⁺ k MV^t はいすれも PVS K 近傍に存在する為に逆電子移動も同様に効率良く起こり、ラジカル解離がほとんど起こらない為と解釈できる。

また MV²⁺ 濃度が 0.0/2 Mの場合, ほとんど全ての消光は PVSK 近傍ではなく水中で起こ,ている事が, 8-2 節にふた Stern-Volmer 7°ロットより子根できるが, MV[†]の過渡 吸光度より判断すると, PVSK 添加によ場

合は添加のない場合に吐べてラジョル解離して生いたMV^tの量は約4分の3に減少している。この事から、アニオン性分子集合体近傍から水中へ放出されたカイナン種にも、分子集合体との相互作用がわずかに存在する事が示唆され興味深い。

<u>8-6</u> PVSK 添加系に於ける Ru(bp)3 消光の塩効果

PVSKをのの「M添加した水溶液中で得られる,Ru(bpy)」でMV2か系のStern-Volmer つの小の塩効果を調べる実践を行なった。イヤン強度の調整はNaclを用い,消光剤である MV Claと Nacl の付し強度の和が一定になる様な条件で発光の消光実験を行けった。付し強度を4種類変化させた場合についての実験結果を表を4に示す。この表から付し強度が増加するに従い

Example of $(I_0/I)_{peak}$ value and $[MV^{2+}]$ which gives $(I_0/I)_{peak}$ depending upon the ionic strength of solution.

ionic strength	(I ₀ /I) _{peak}	[MV ²⁺] which gives (I ₀ /I) peak M
0.0045	40	0.0015
0.01	25	0.0013
0.023	9.5	0.0010
0.045	4.5	0.0009

a) in each measurement of $(I_0/I)_{peak}$, the ionic strength was kept constant by adjusting the NaCl concentration.

 I_0/I 極大値が小さくなってゆき、 また I_0/I 極大値を与える MV^{2+} 濃度もわずかに減少している事がわかる。

これらの結果から、添加した Nat は 14 たかに 16 あるから 7= たい性 PVSK に 収着され、その事によって $R_{L}(b_{P})$ なが MV^{2+} の 収着を 17 、る動きを 17 、る事が 容易に 老えられる。

きとめ

本論文の第3章か3 第5章までで得られた主な研究成果をまとめる。

0 第3章

- 1. PMDA ピレン系の様な強いCT 錯体は極性溶性 中に対け、光付ン解離が起こらない。
- 9. 溶媒の極性が高くなる程 PNDA-ピレ系の励起 CT状態の寿命は短くなる。
- 3. 以上の2点は, Energy gap lawにあて決定される励起CT状態から基底状態への失活の速度定数と、イオン解解的速度定数との相互の関係によって理解できる。

0 第4章

- 1. 極性溶媒中にかける励起金属錯体・消光剂系のラジカル解離収率を測定してみると、収率は用いた金属錯体の種類ごとに異け、た傾向を示す事がわか、た。
- 2. 更に 励起金属錯体と消光剂が 電子粉動相互作用して 生した ラジカルペア (M*Q*)が 基底状態へ失活 する 反応 と 競争 にて フリーな ラジカル 人解離 につり く過程を 直接 測定する事ができた。

• 第 5 章

極性有機溶媒中に於て,有機芳香凝化台物の励起一重項状態を Af, TIT, PbTの模な開設重定属付して消光させた場合,消光のメカニズムは無けい光性錯体の形成とそれに続くはやい三重項の生成過程である。

• 第6章

金属クラスター Moo Cla は複雑な構造を持っているが、その光励起状態から emissionを発する。この発光を電子粉動消光させた場合、消光反応にかける自由エスルギー変化 AGと消光速度定数 是g との関係は有機苦香酸化合物に於てみられるものと同じである。

0第7章

アセトニトリル溶媒中で, Eu(fod)3 錯体の励起状態を電子供与性消光剤と相互作用させると, エキサイプレックスを形成して失活する事がわか、た。尚この系の様にエキサイプレックス発光を与える金属錯体の例は非常に小ない。

0第5章

- 1. アニオン性分子集合体(ミセル, ベシケル 及び高分子電解質)は 吸着できる カイオン分子の量に限りがある ため, この媒体中でカチオンである Ru(bpy)まずの発光を同じくカイオン性消光剤 (MV2+, Cu2+)で消光させた場合, 通常の溶媒中ではみられない 特異な現象が観測された。
- 2. すたその際、分子集合体には種類に応じて微妙な性質のちがいがある事がわかった。

参考文献

- I.Fujita and H.Kobayashi, Ber. bunsenges. Phys. Chem., 76, 115 (1972).
- G.A.Garbieri, Atti Acad. Nazl. Lincei Rend. Classe Sci. Fis. Mat. Nat., 4, 561 (1948).
- 3) J.N.Demas and G.A.Crosby, J. Am. Chem. Soc., 93, 2841 (1971).
- F.P.Dwyer, N.A.Gibson and E.C.Gyarfas, J. Proc. Roy. Soc. N. S. Wales, <u>84</u>, 68 (1950).
- 5) D.G.Holah and J.P.Fackler, Jr., Inorg. Syn., 7, 26 (1965).
- 6) N.Serpone, M.A.Jamieson, M.S.Henry, M.Z.Hoffman, F.Bolletta and M.Maestri, J. Am. Chem. Soc., 101, 2907 (1979).
- 7) R.J.Watts, G.A.Crosby and J.L.Sansregret, Inorg. Chem., <u>11</u>, 1474 (1972).
- 8) R.Ballardini, G.Varani, L.Moggi and V.Balzani, J. Am. Chem. Soc., 99, 6881 (1977).
- 9) R.Ballardini, G.Varani, L.Moggi, V.Balzani, K.R.Olson, F.Scandola and M.Z.Hoffman, J. Am. Chem. Soc., 97, 728 (1975).
- 10) J.C.Sheldon, J. Chem. Soc., 1960, 1007.
- 11) E.Tietze and O.Bayer, Ann., <u>540</u>, 189 (1939).
- 12) H. Vollman, Ann., 531, 1 (1937).
- 13) T.Kunitake and Y.Okahata, Bull.Chem. Soc. Jpn., <u>51</u>, 1877 (1978).
- 14) 增原法,池田遗昭,宝坂博,又蟹属 分光研究 31,19 (1982)
- 15) 八十島清吉 增原宏 又贤遇 復崎貴則,内田照雄,南茂未 分光研究 30,93 (1981).
- 16) R.S.Mulliken, J. Am. Chem. Soc., 74, 811 (1952).
- 17) R.Foster "Organic Charge Transfer Complexes" Academic Press, London (1969).
- 18) J.Hinatu, F.Yoshida, H.Masuhara and N.Mataga, Chem. Phys. Letters, <u>59</u>, 80 (1978).
- 19) 官顷博 修士信位論王 大阪大学基础工学部 1982年
- 20) J. Van Houten and R.J. Watts, J. Am. Chem. Soc., <u>98</u>, 4853 (1976).
- 21) L.N.Weinberg and H.R.Weinberg, Chem. Rev., <u>68</u>, 449 (1968).

- 22) M.E.Meover, Trans. Farad. Soc., 58, 2370 (1962).
- 23) H. Masuhara and N. Mataga, Acc. Chem. Res., 14, 312 (1981).
- 24) 柜本久往 修士活住論王 大阪松莲菇班工学部 1985年
- 25) U.Steiner, G.Winter and H.E.A.Kramer, J. Phys. Chem., <u>81</u>, 1104 (1977).
- 26) U.Steiner and G.Winter, Chem. Phys. Letters, 55, 364 (1978).
- 27) G.Winter, H.Shioyama and U.Steiner, Chem. Phys. Letters, 81, 547 (1981).
- 28) P.Iwa, U.E.Steiner, E.Vogelmann and H.E.A.Kramer, J. Phys. Chem., <u>86</u>, 1277 (1982).
- 29) 例えず M.Graetzel, Acc. Chem. Res., 14, 376 (1981).
- 30) F.E.Lytle and D.M.Hercules, J. Am. Chem. Soc., 91, 253 (1969).
- 31) J.N.Demas and D.G.Taylor, Inorg. Chem., 18, 3177 (1979).
- 32) M.Wrighton and J.Markham, J. Phys. Chem., 77, 3042 (1973).
- 33) D.Rehm and A.Weller, Ber. Bunsenges. Phys. Chem., <u>73</u>, 834 (1969).
- 34) R.Ballardini, G.Varani, M.T.Indelli, F.Scandola and V.Balzani, J. Am. Chem. Soc., 100, 7219 (1978).
- E. Vogelmann, S. Schreiner, W. Rauscher and H. E. A. Kramer,Physik. Chem. Neue Folge, 101, 321 (1976).
- 36) N.Sutin and C.Creutz, Advances in Chemistry Series <u>168</u>, 1 (1978).
- 37) U.Lachish, P.P.Infelta and M.Graetzel, Chem. Phys. Letters, 62, 317 (1979).
- 38) C.Creutz and N.Sutin, J. Am. Chem. Soc., 98, 6384 (1976).
- 39) J.H.Baxendale and M.Fiti, J. Chem. Soc., Dalton Trans., <u>18</u>, 1995 (1972).
- 40) P.A. Trudinger, Anal. Biochem., 36, 222 (1970).
- 41) J.R.Darwent and K.Kalyanasundaram, J. Chem. Soc., Farad. Trans. II, <u>77</u>, 373 (1981).
- 42) v.Balzani et.al. Topics in Current Chemistry 75, 4 (1978).
- 43) J.N.Demas, E.W.Harris, C.M.Flynn, Jr. and D.Diemente, J. Am. Chem. Soc., <u>97</u>, 3838 (1975).
- 44) C.R.Bock, J.A.Connor, A.R.Gutierrez, T.J.Meyer, D.G.Whitten, B.P.Sullivan and J.K.Nagle, J. Am. Chem. Soc., 101, 4815 (1979).

- 45) N.E.T-Takvoryan, R.E.Hemingway and A.J.Bard, J. Am. Chem. Soc., <u>95</u>, 6582 (1973).
- 46) T.Matsumura-Inoue and T.Tominaga-Morimoto, J. Electroanal. Chem. Interfacial Electrochem., 93, 127 (1978).
- 47) Gmelin Ir Erg.-Bd.2 p-93.
- 48) F.Bolletta, M.Maestri, L.Moggi and V.Balzani, J. Chem. Soc., Chem. Comm., 1975, 901.
- 49) 柏木久往 卒集論之 卡段卡答基礎工管部 1983年
- 50) K.Kalyanasundaram and M.Neumann-Spallart, Chem. Phys. Letters, 88, 7 (1982).
- 51) T.Ohno and S.Kato, Bull. Chem. Soc. Jpn., 57, 1528 (1984).
- 52) K.Miedlar and P.K.Das, J. Am. Chem. Soc., 104, 7462 (1982).
- 53) M.A.Hoselton, C-T.Lin, H.A.Schwarz and N.Sutin, J. Am. Chem. Soc., <u>100</u>, 2383 (1978).
- 54) T.Hino, H.Akazawa, H.Masuhara and N.Mataga, J. Phys. Chem., <u>80</u>, 33 (1976).
- 55) T.Ohno and N.N.Lichtin, J. Phys. Chem., <u>86</u>, 354 (1982).
- 56) L.K.Patterson and S.J.Rzad, Chem. Phys. Letters, 31, 254 (1975).
- 57) A.W. Varnes, R.B. Dodson and E.L. Wehry, J. Am. Chem. Soc., <u>94</u>, 946 (1972).
- 58) R.W.Ricci and K.B.Kilichowski, J. Phys. Chem., <u>78</u>, 1953 (1974).
- 59) T.Saito, S.Yasoshima, H.Masuhara and N.Mataga, Chem. Phys. Letters, <u>59</u>, 193 (1978).
- 60) Y.Nosaka, A.Kira and M.Imamura, J. Phys. Chem., <u>85</u>, 1353 (1981).
- 61) T.Nakamura, A.Kira and M.Imamura, J. Phys. Chem., <u>86</u>, 3359 (1982).
- 62) R.S.Mulliken and W.B.Person, Molecular Complexes: A Lecture and Reprint Volume, Wiley-Interscience New York 1969.
- 63) A.R. Watkins, J. Phys. Chem., 77, 1207 (1973).
- 64) A.R. Watkins, J. Phys. Chem., 78, 1885 (1974).
- 65) A.R. Watkins, J. Phys. Chem., 78, 2555 (1974).
- 66) A.W.Maverick, J.S.Najdzionek, D.MacKenzie, D.G.Nocera and H.B.Gray, J. Am. Chem. Soc., 105, 1878 (1983).

- 67) F.A.Cotton and G.G.Stanley, Chem. Phys. Letters, <u>58</u>, 450 (1978).
- 68) D.G.Nocera and H.B.Gray, J. Am. Chem. Soc., 106, 824 (1984).
- 69) H.Okumura, T.Taga, K.Osaki and I.Tsujikawa, Bull. Chem. Soc. Jpn., <u>55</u>, 307 (1982).
- 70) R.Ballardini, G.Varani, L.Moggi and V.Balzani, J. Am. Chem. Soc., 96, 7123 (1974).
- 71) 田中富士雄,山下茂 日本化学会第47 春年会 2R41 (1983)。
- 72) D.Levy, R.Leisfeld and D.Avnir, Chem. Phys. Letters, 109, 593 (1984).
- 73) T.K.Foreman, W.M.Sobol and D.G.Whitten, J. Am. Chem. Soc., 103, 5333 (1981).
- 74) J.B.S.Bonilha, T.K.Foreman and D.G.Whitten, J. Am. Chem. Soc., 104, 4215 (1982).
- 75) D.Meisel and M.S.Matheson, J. Am. Chem. Soc., 99, 6577 (1977).

务芳論文

- Electron Transfer Quenching of Dye Triplets by NO_2^- and N_3^- .

 A Spin-Orbit Coupling Effect on the Radical Yield.

 Chem. Phys. Letters 81 (1981) 547.
- Laser Photochemistry of Polymers Having 1,2-trans-Dicarbazolylcyclobutane Groups in Solution. Macromolecules 14 (1981) 1738.
- Radical Yield in Electron Transfer Quenching of the Excited tris(2,2'-bipyridine)ruthenium (II) Complex.

 Chem. Phys. Letters 88 (1982) 161.
- Fluorescence Quenching Mechanism of Aromatic Hydrocarbon by Closed-Shell Heavy Metal Ion in Aqueous and Organic Solutions.
 - J. Phys. Chem. 88 (1984) 5868.
- comparative Studies of Anionic Molecular Assemblies as Mediums for Electron Transfer Quenching of Excited Ru(bpy) $_3^{2+}$ by Cationic Quenchers.

Bull. Chem. Soc. Jpn. in press.

謝辞

本研究を行なうにあたって終始暖かい御指導をいたけます。

日々の実験において常に助言して下され京都工芸繊維大学増原宏教授に深く感謝します。

試料をいただきました、大阪大学理学部古江正興博士,東京工業大学資源研田附重未教授,大阪大学基礎工学部斎藤太郎教授・西田雅一氏,大阪大学工学部野上隆博士にお礼を申し上げます。

また各種測定でいるいる便宣をはかって下すった。 大阪大学教養部大野健博士、京都大学理学部 志田忠正教授にお礼を申し上げます。

標準酸化還元電位についているいる教えていただももした坪村宏教授に感謝します

共同研究者として一緒に実験して下さった。相木久往、高見明宏の名氏に心から感動します。

最後ではありますが、日々の実験にかいているいろとか世話になりました又質研究室の皆様にかえたもり上げます。

1985年 2月.

塩 山 洋